

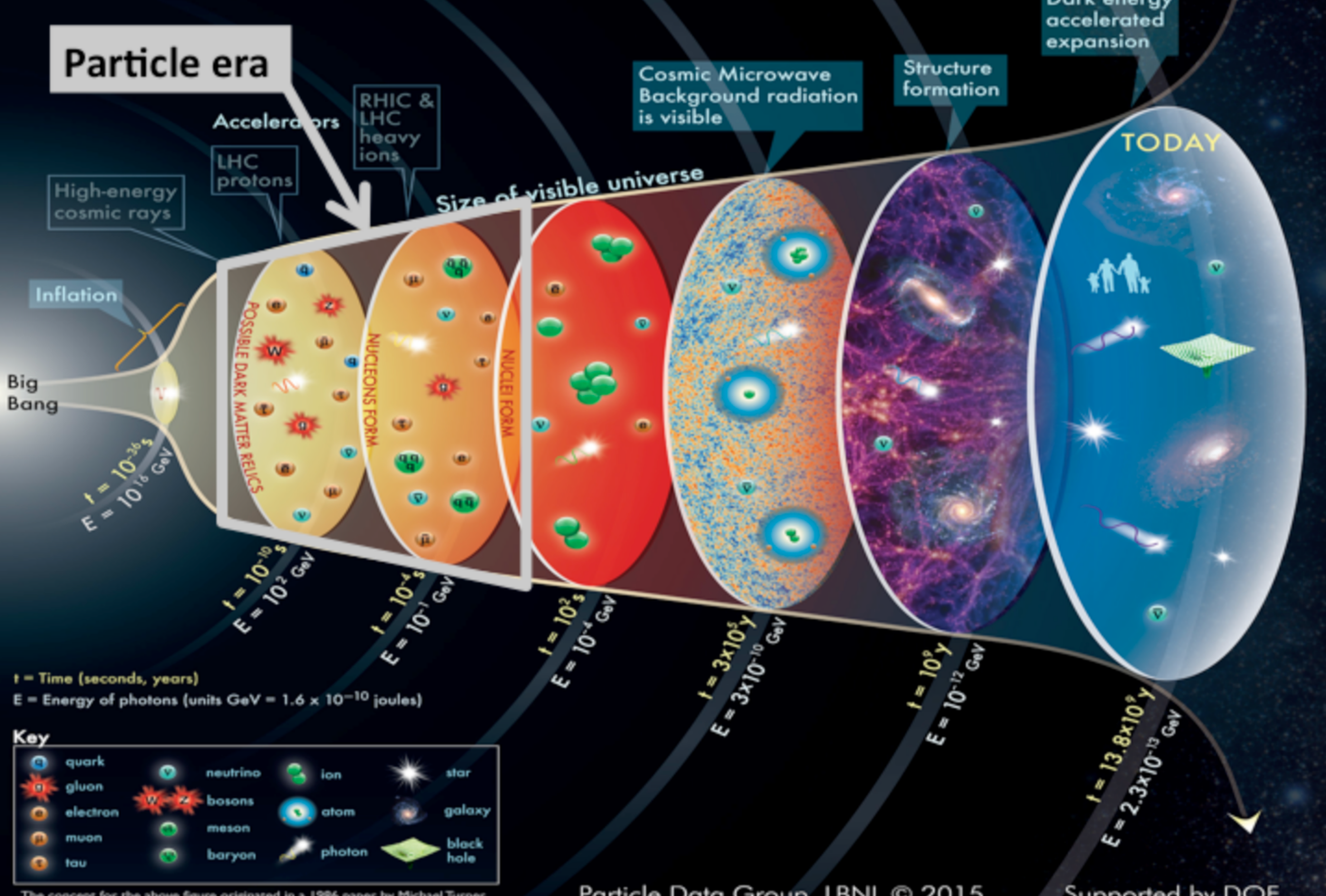
トポロジカル輸送現象： 素粒子・原子核から 物性・宇宙物理まで

山本 直希 (慶應義塾大学)

2019年8月9日 @ 原子核三者若手夏の学校

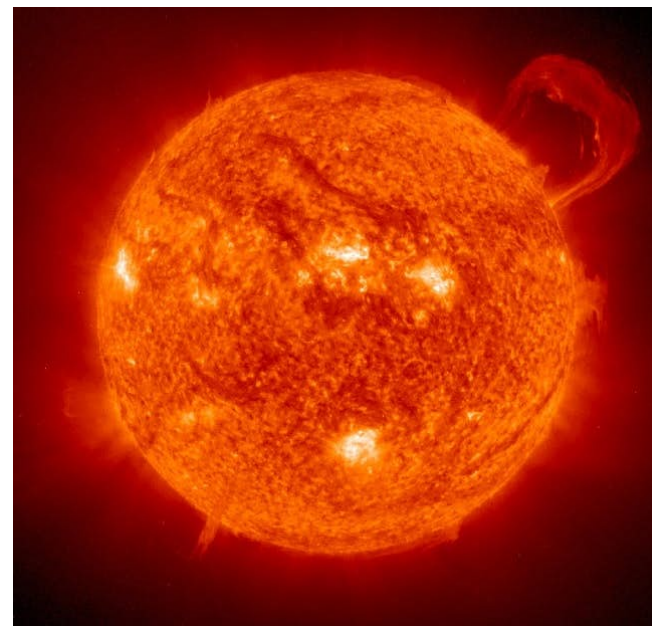
なぜ輸送現象は重要か？

HISTORY OF THE UNIVERSE

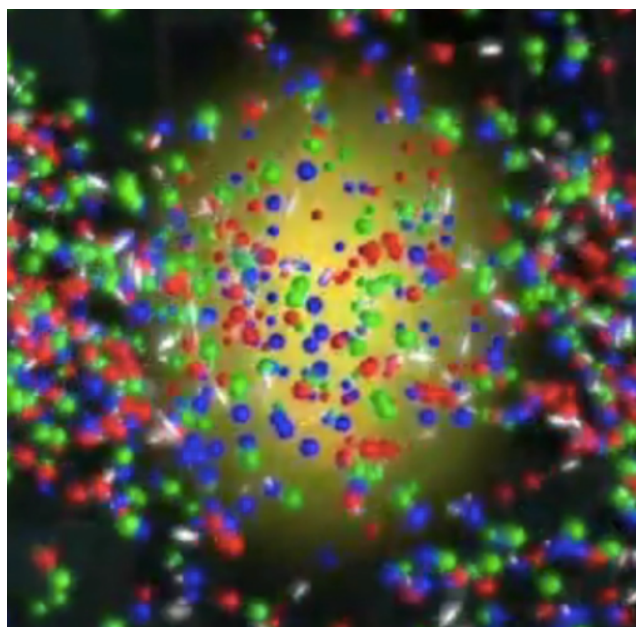




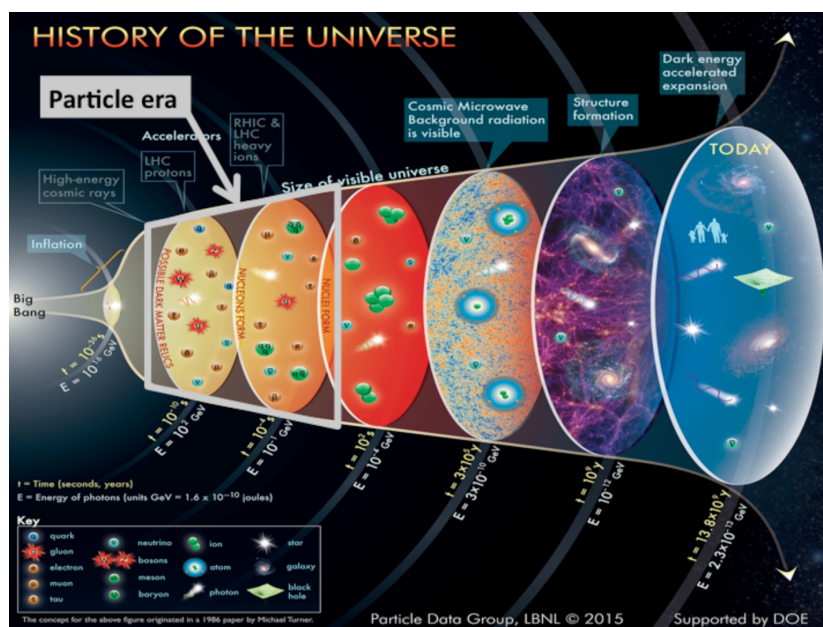
大気の運動 (天気予報)
流体力学



太陽の活動
磁気流体力学



Quark-Gluon Plasma
相対論的流体力学



初期宇宙の進化
カイラル磁気流体力学



超新星爆発
カイラル運動論

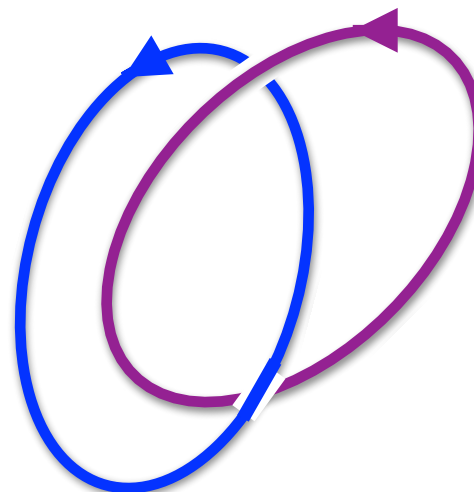
いくつかの例

- 宇宙の進化（物質・反物質の非対称性、熱平衡化...）
- 天体の進化（超新星爆発の機構...）
- 物質科学の応用（超伝導、スピントロニクス...）

量子多体系の非平衡時間発展

物理学とトポロジー

- 素粒子・原子核物理 : 量子異常、ソリトン、...
- 物性物理 : 量子ホール効果、トポロジカル物質、...
- 流体力学 : 磁場や流速の絡み目
- 高分子 : 高分子の絡み合い
- ...



問いたい問題

高エネルギー物理学の非平衡・量子多体問題における
トポロジーの役割？

- 初期宇宙
- 中性子星・超新星爆発
- 相対論的重イオン衝突実験

対称性（とその破れ）とは異なるパラダイム

内容：基礎編

- ・ カイラル量子異常
- ・ カイラル輸送現象
- ・ カイラリティとトポロジー
- ・ カイラル運動論とカイラル流体力学
- ・ カイラル波とカイラル不安定性

内容：応用編

- 物性物理 : Weyl半金属
- 宇宙物理 : ニュートリノと超新星爆発
- 宇宙論 : 重力レンズ効果の量子補正
- 原子核物理 : Quark-Gluon Plasma (QGP)

自然単位系 : $\hbar = c = k_B = e = 1$

目標

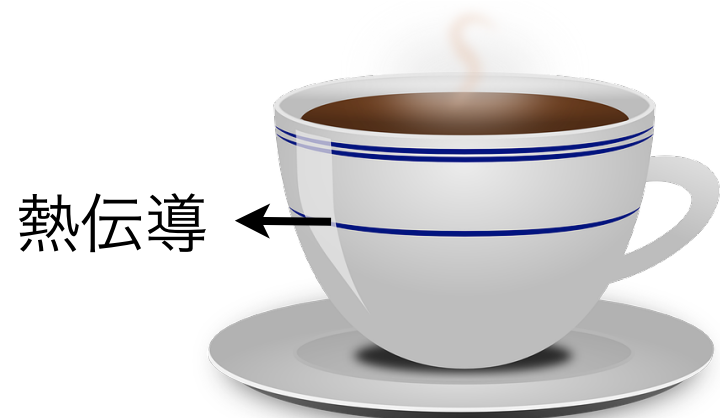
- カイラル量子異常を理解する
- カイラル輸送現象を導出できるようになる
- 様々な分野に応用できることを理解する
- Weyl半金属の論文が書けるようになる

前提：力学、電磁気学、量子力学、熱統計力学、特殊相対論

輸送現象

輸送現象

- 古典的で身近な例:
 - Ohmの法則: $j_e = \sigma E$
 - Fourierの法則: $j_Q = \kappa(-\nabla T)$

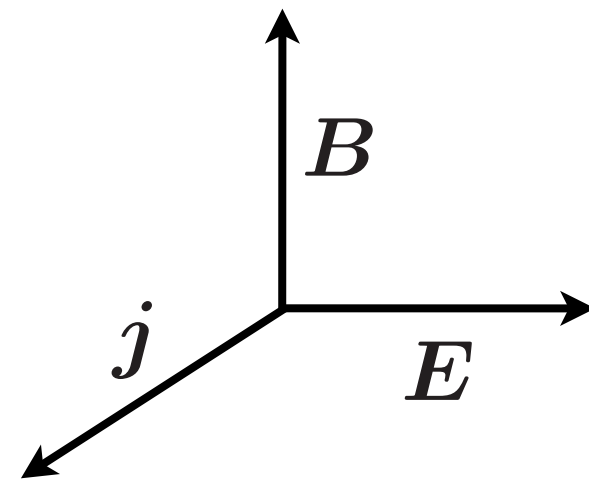


色々な輸送現象

- 19世紀に既に分かったもの

電流	1826 Ohm	1879 Hall	1821 Seebeck	1886 Nernst
$j_e = \sigma E + RE \times B + \alpha(-\nabla T) + N(-\nabla T) \times B$				
熱流	Peltier 1834	Ettingshausen 1886	Fourier 1807	Leduc-Righi 1887

- $E \rightarrow -\nabla \mu$ もOK.
- これで全て？



$j_e \sim B$?

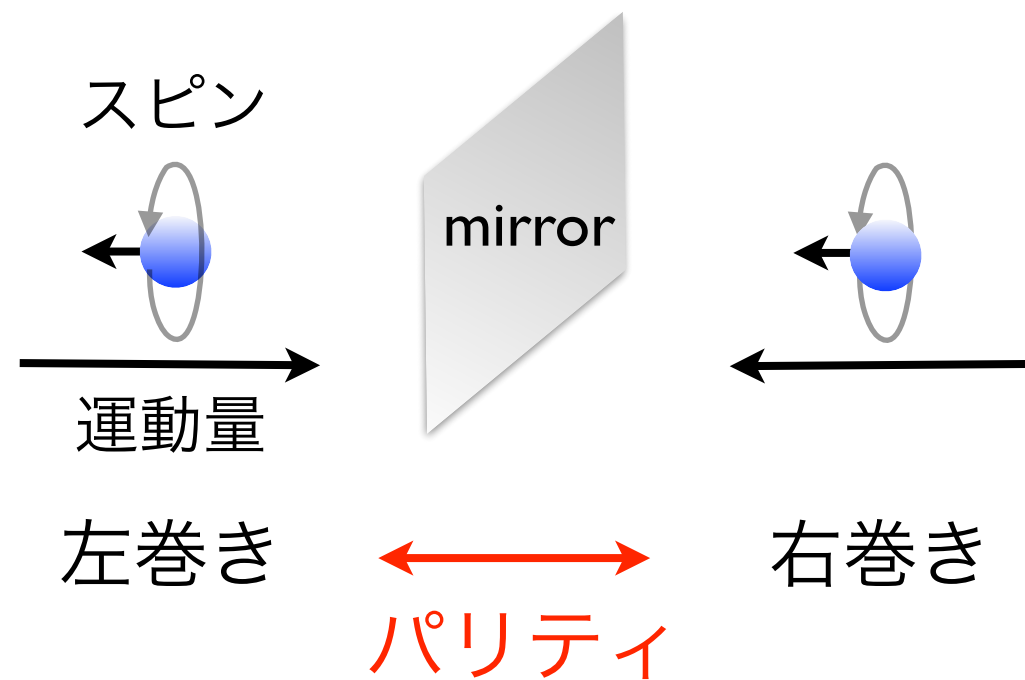
パリティ

$$j_e = \kappa B$$

- パリティ変換のもとで $-j_e = \kappa B$ ($B = \nabla \times A$)
- パリティに矛盾しない唯一の可能性 : $\kappa = 0$
- 「普通の」金属では起きない

(注) $j_e = \sigma E$ ($\sigma \neq 0$) はパリティと矛盾しない

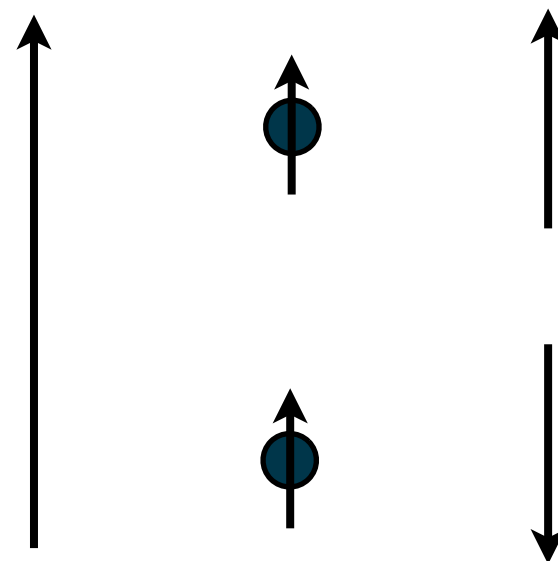
カイラリティ



$j_e \sim (\mu_R - \mu_L)B$ はパリティと矛盾しない

Chiral magnetic effect

B スピン 運動量



右巻き

$$j_R = \frac{\mu_R}{4\pi^2} B$$

左巻き

$$j_L = -\frac{\mu_L}{4\pi^2} B$$

極性ベクトル

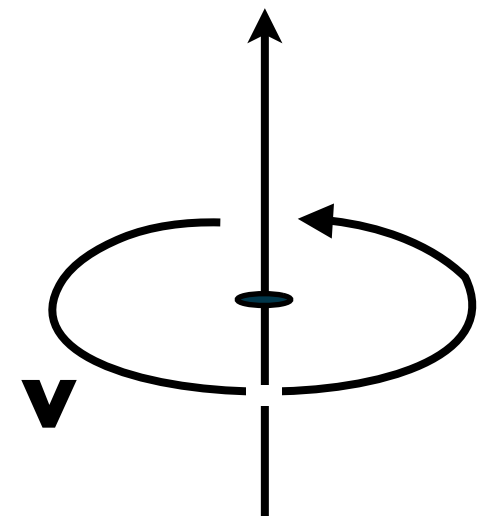
$$\dot{j}_e = \frac{\mu_R - \mu_L}{4\pi^2} B, \quad \text{軸性ベクトル} \quad \dot{j}_5 = \frac{\mu_R + \mu_L}{4\pi^2} B$$

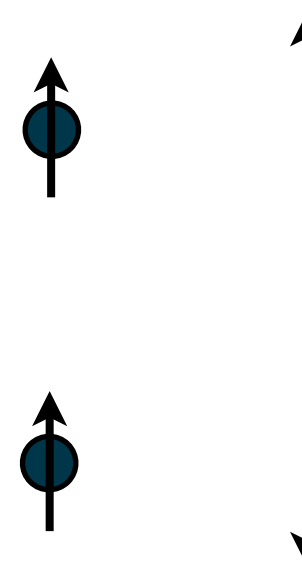
厳密な輸送係数：カイラル量子異常と密接に関係

Vilenkin (1980); Nielsen, Ninomiya (1983); Fukushima, Kharzeev, Warringa (2008), ...

Chiral vortical effect

渦度 $\omega \equiv \frac{1}{2} \nabla \times \mathbf{v}$ スピン 運動量





右巻き $j_R = \left(\frac{\mu_R^2}{4\pi^2} + \frac{T^2}{12} \right) \omega$

左巻き $j_L = - \left(\frac{\mu_L^2}{4\pi^2} + \frac{T^2}{12} \right) \omega$

Vilenkin (1979); Erdmenger et al. (2009); Banerjee et al. (2011);
Son, Surowka (2009); Landsteiner et al. (2011)

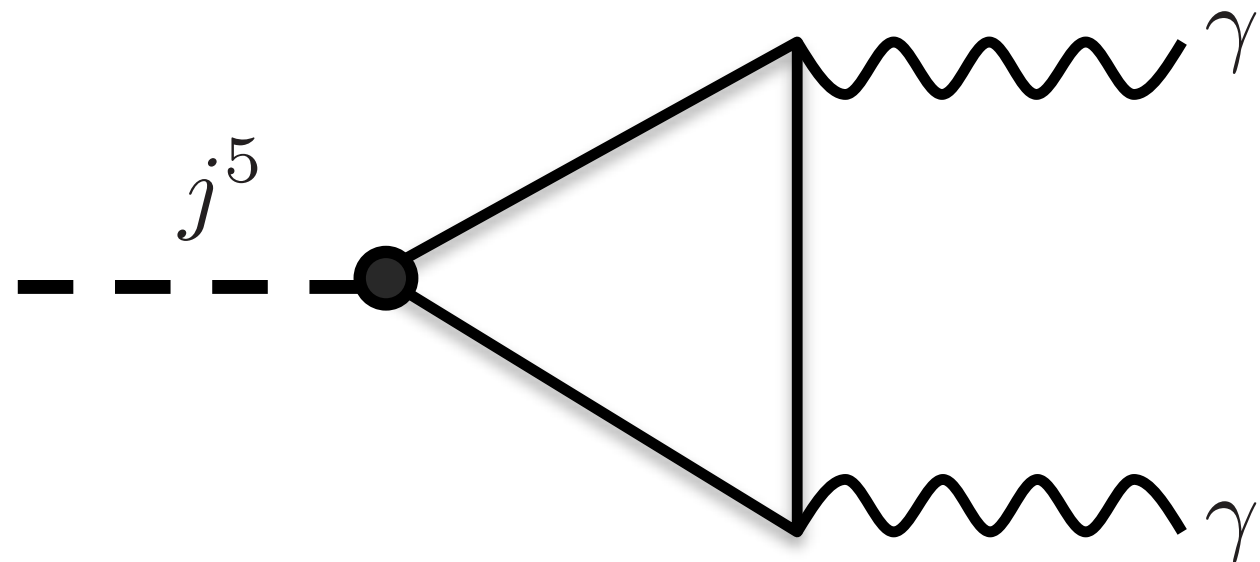
※ 歴史的には、超弦理論に端を発する 「ゲージ重力対応」 が重要な役割を果たした

カイラル量子異常

量子異常（アノマリー）

- 古典的な対称性が量子効果によって破れる現象
- トポロジーと深い関係（スケールに依らない）
- 低エネルギーの物理に重要な帰結
 - 中性 π (湯川中間子) の寿命 Adler, Bell, Jackiw (1969)
 - 輸送現象：量子ホール効果、Chiral Magnetic Effect, etc.

カイラル量子異常

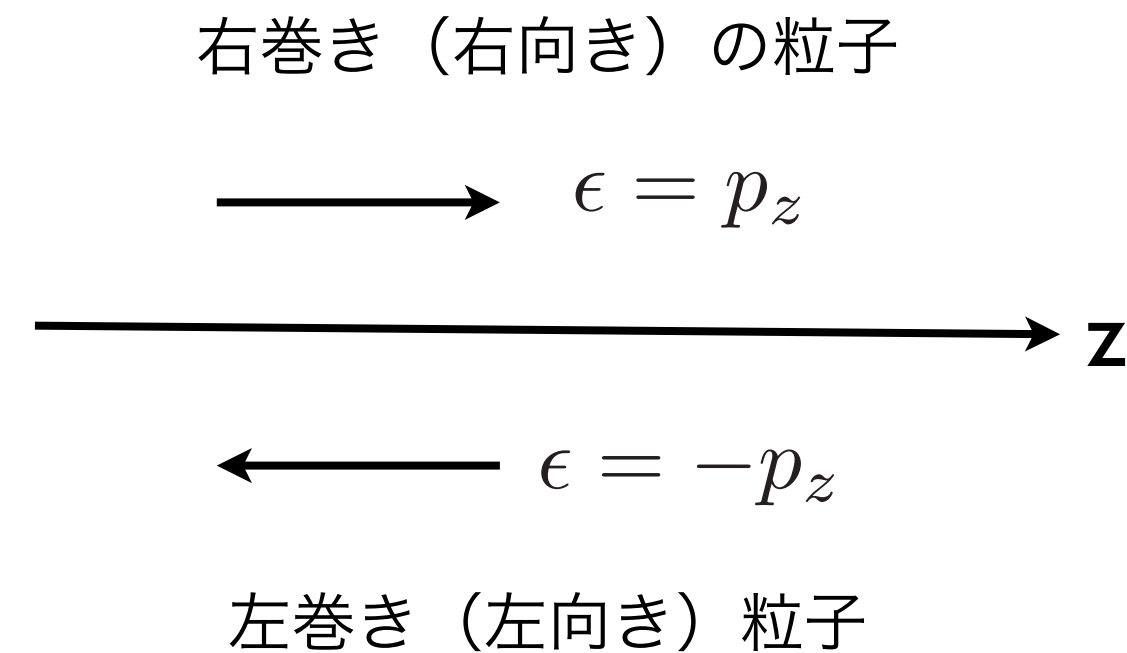


$$\partial_\mu j^{\mu 5} = \frac{1}{2\pi^2} \mathbf{E} \cdot \mathbf{B}$$

$$j^{\mu 5} \equiv j_R^\mu - j_L^\mu$$

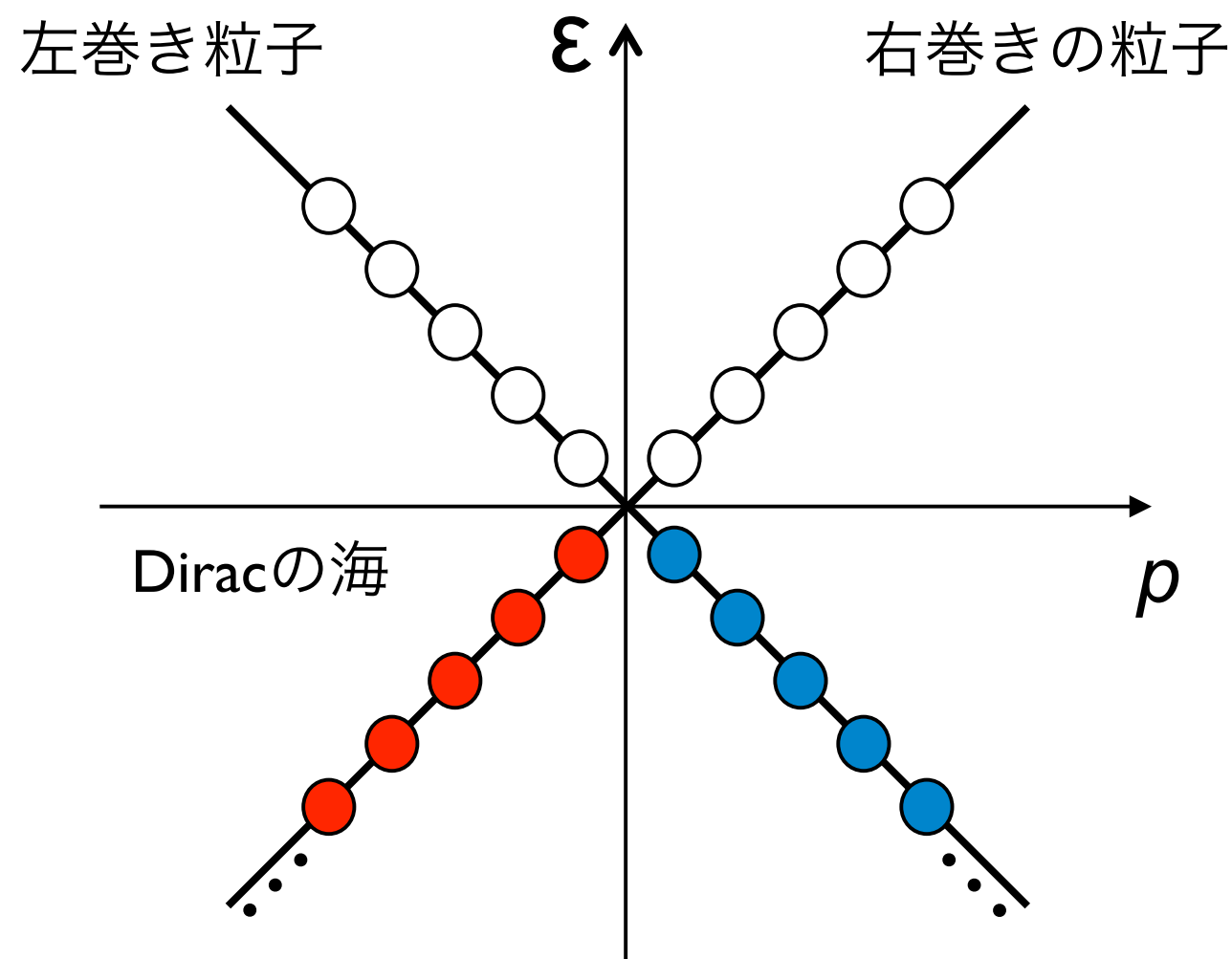
e.g., Peskin & Schroeder “An Introduction to Quantum Field Theory”
Chapter 19

$|+|$ 次元の相対論的な系

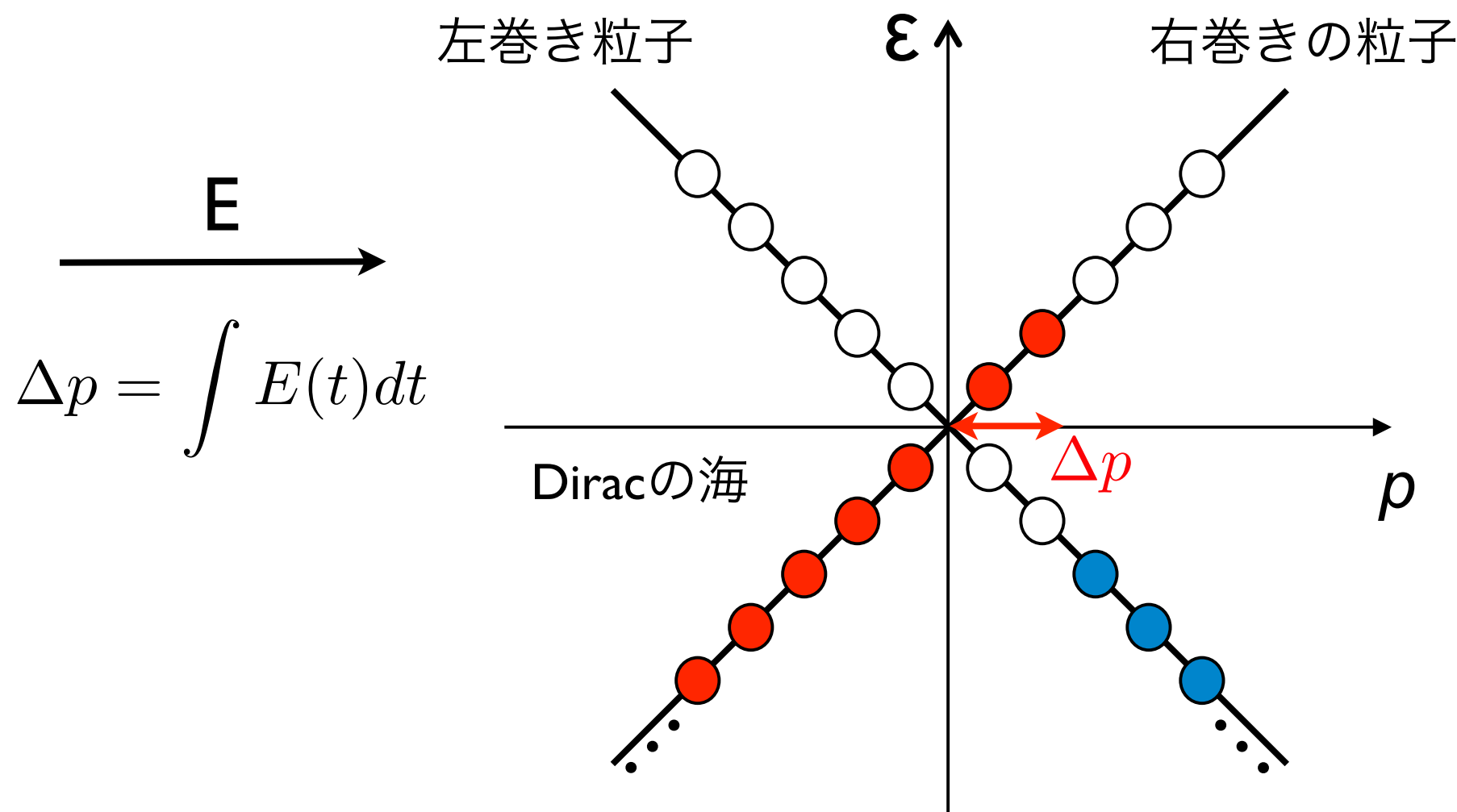


- 古典的には、右巻き・左巻き粒子数はそれぞれ保存
- 量子的には、必ずしもそうではない：カイラル量子異常

$| + |$ 次元のカイラル量子異常

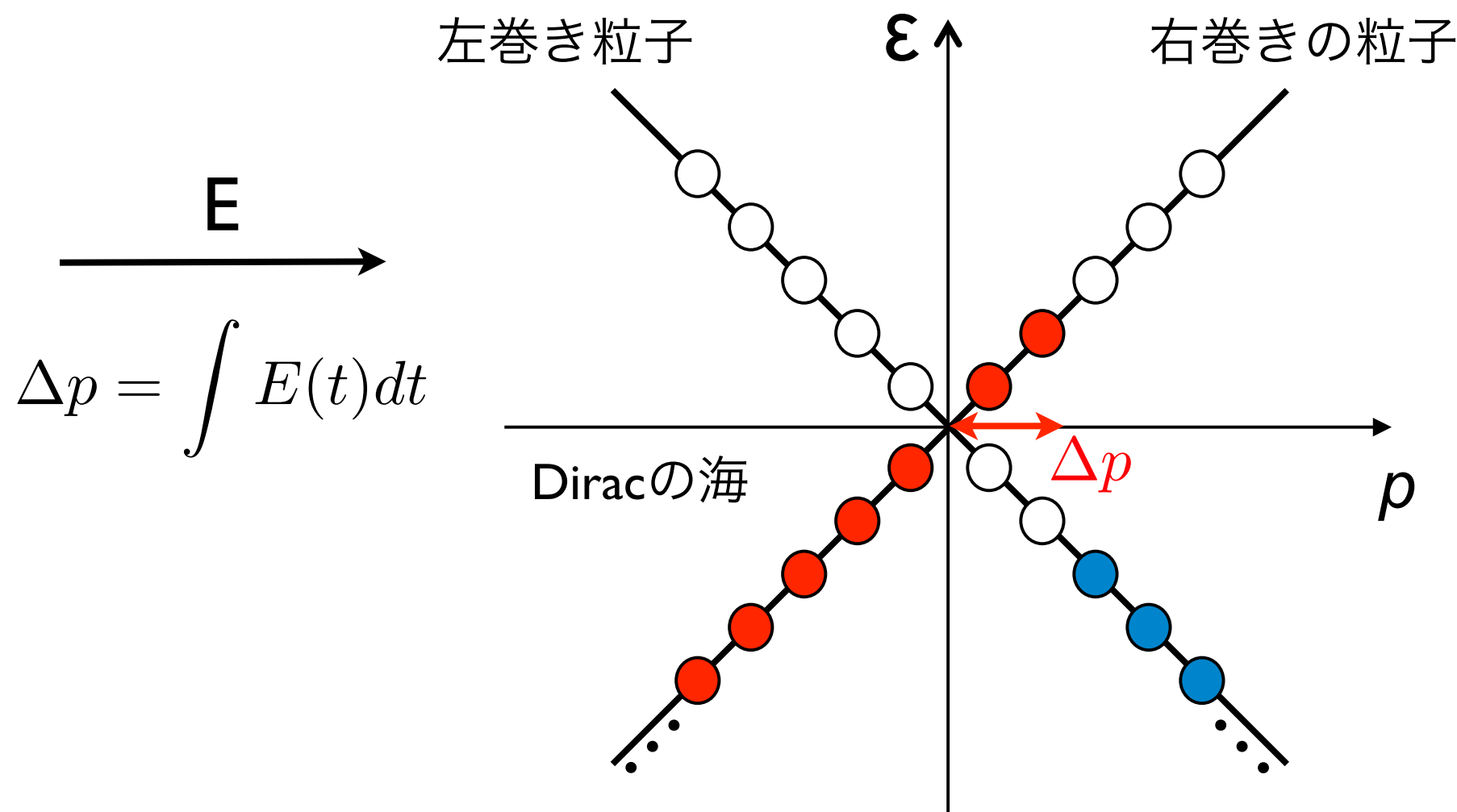


| + | 次元のカイラル量子異常



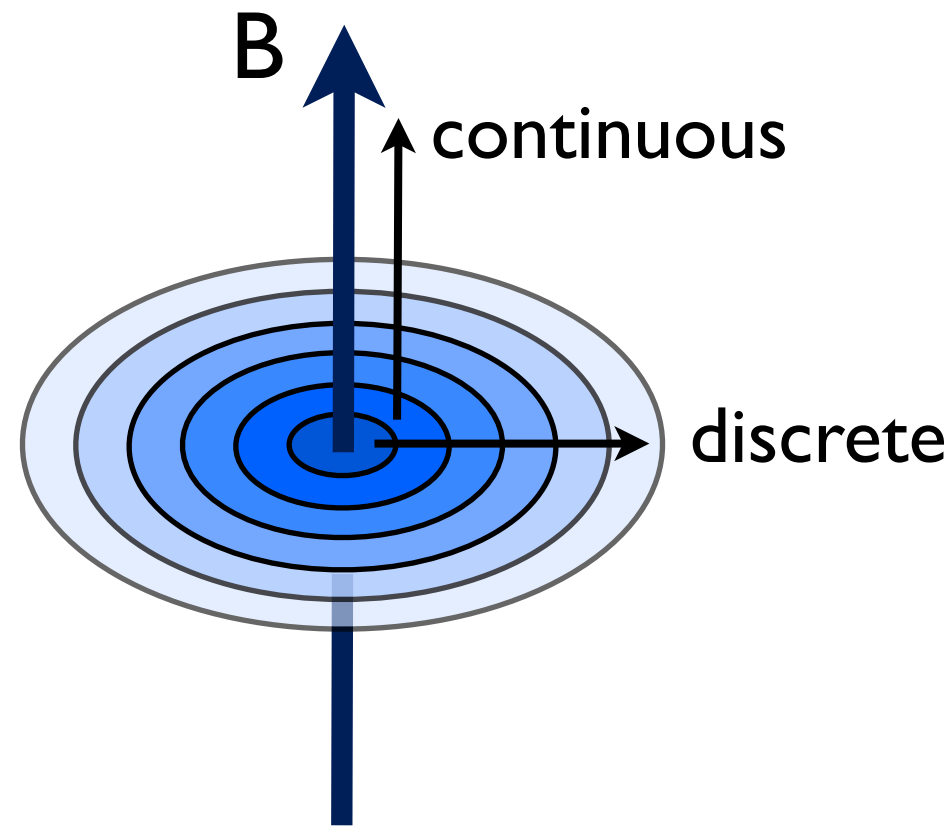
$$\Delta Q \equiv \Delta Q_R + \Delta Q_L = 0$$

| + | 次元のカイラル量子異常



$$\Delta Q_5 \equiv Q_R - Q_L = \frac{1}{\pi} \int E(t) dt dz \quad \text{相対論的量子効果}$$

3+1次元のカイラル量子異常



- 磁場によってLandau準位ができる
$$E_n^2 = p_z^2 + (2n + 1)B \pm B$$

Zeeman効果
- 最低Landau準位：1+1次元のカイラル粒子

演習問題 1

一様な外部磁場 B 中の massless Dirac方程式から、以下の分散関係を導出せよ。

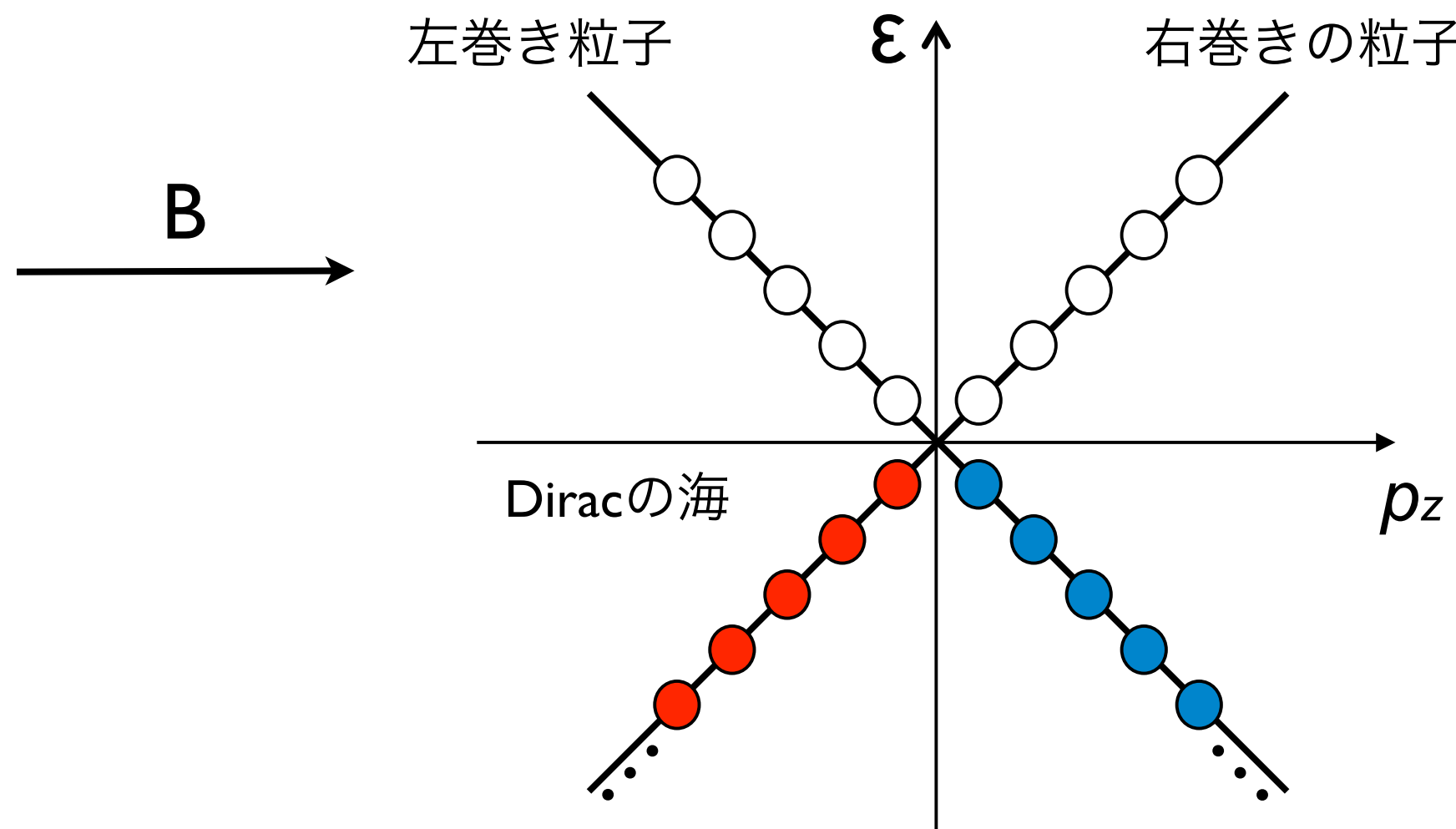
$$E_n^2 = p_z^2 + (2n + 1)B - B\sigma_z \quad (n = 0, 1, 2, \dots)$$

(参考) 磁場中の非相対論的粒子の分散関係

$$E_n = \hbar\omega_c \left(n + \frac{1}{2} \right) - \mu B \sigma_z, \quad \omega_c \equiv \frac{B}{m}$$

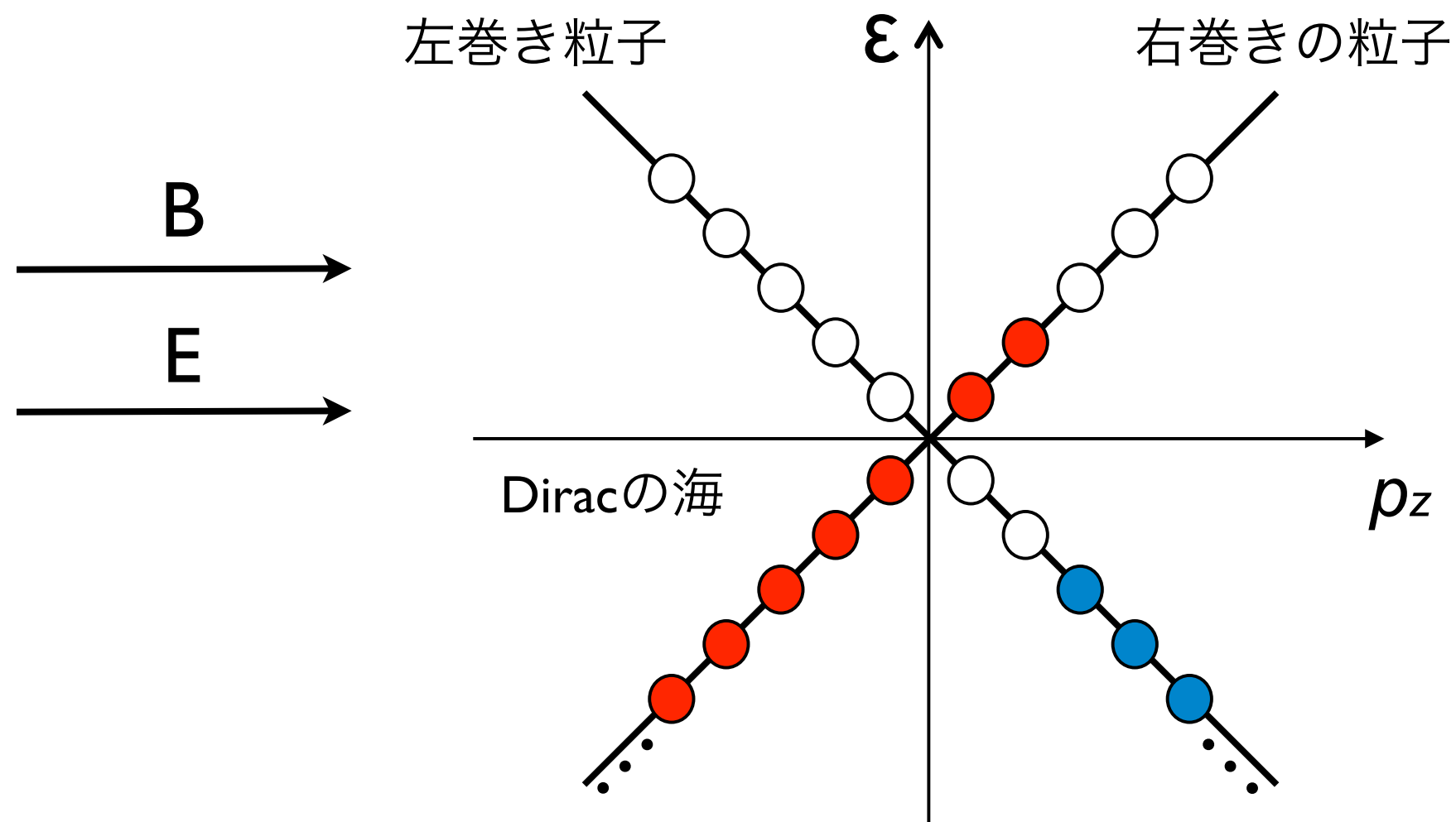
↑
磁気モーメント

3+1次元のカイラル量子異常



最低Landau準位のカイラル粒子

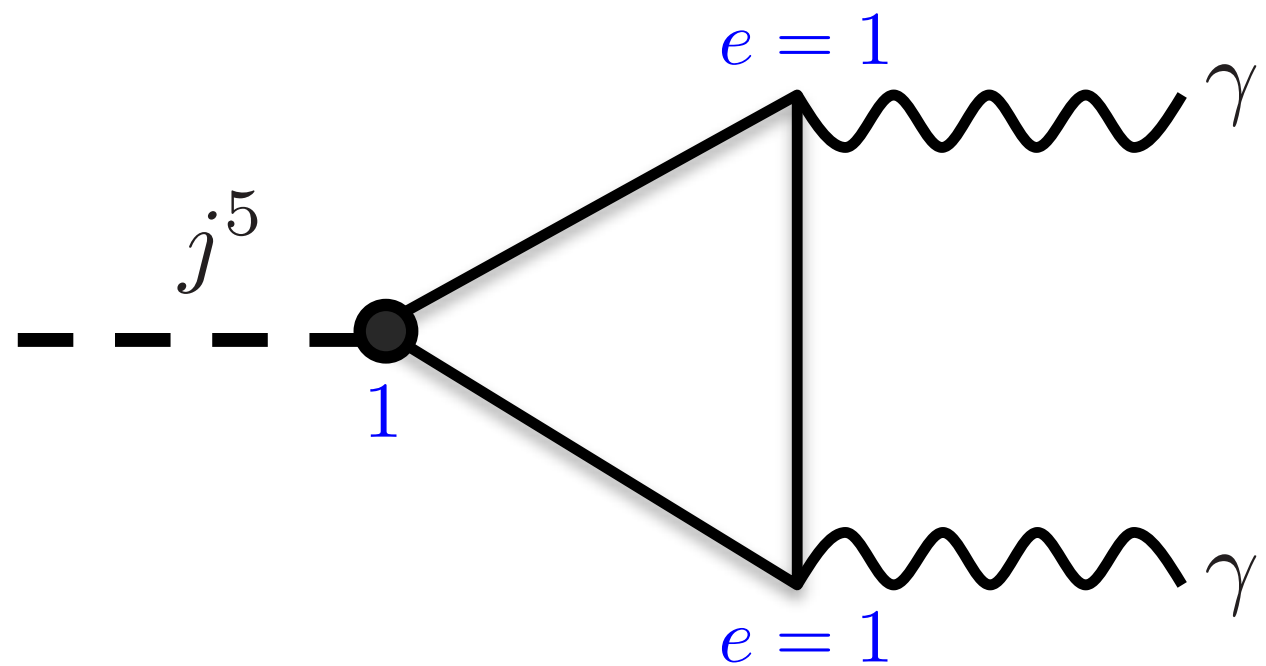
3+1次元のカイラル量子異常



$$\Delta Q_5 = \int \frac{E}{\pi} dt dz \int \frac{B}{2\pi} dx dy = \frac{1}{2\pi^2} \int d^4x EB$$

Landau縮重度

カイラル量子異常



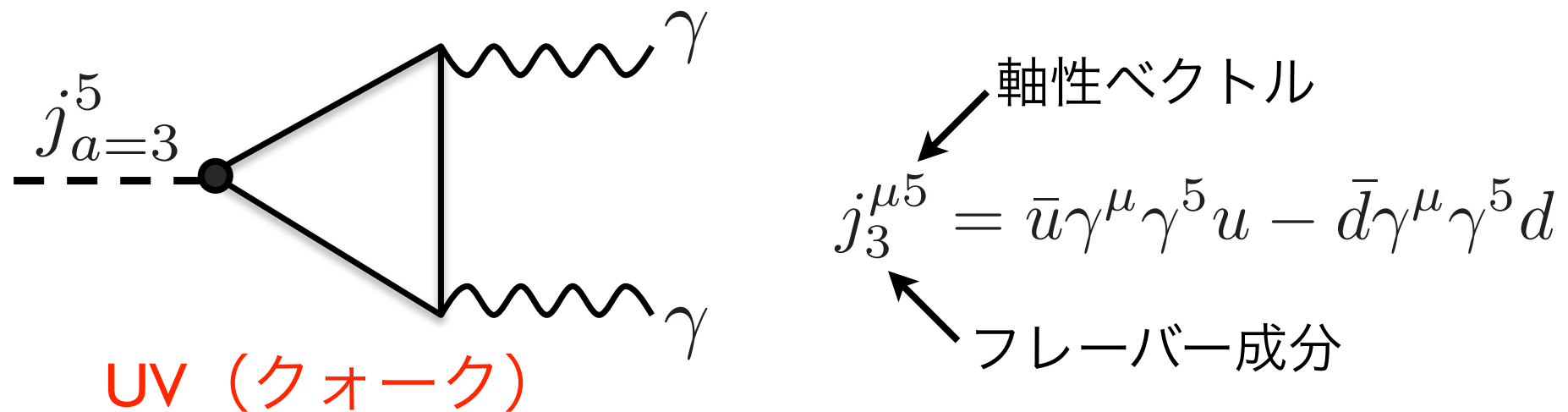
$$\partial_\mu j^{\mu 5} = \frac{1}{2\pi^2} E \cdot B$$

$$j^{\mu 5} \equiv j_R^\mu - j_L^\mu$$

e.g., Peskin & Schroeder “An Introduction to Quantum Field Theory”
Chapter 19

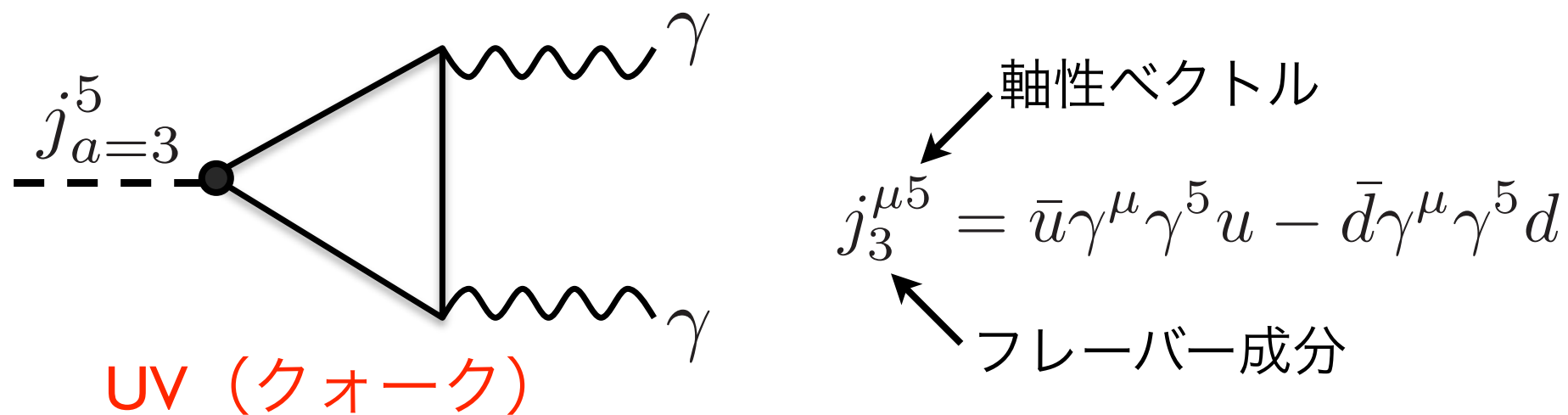
QCDと量子異常

- 量子異常はエネルギー・スケールに依らない (anomaly matching)



QCDと量子異常

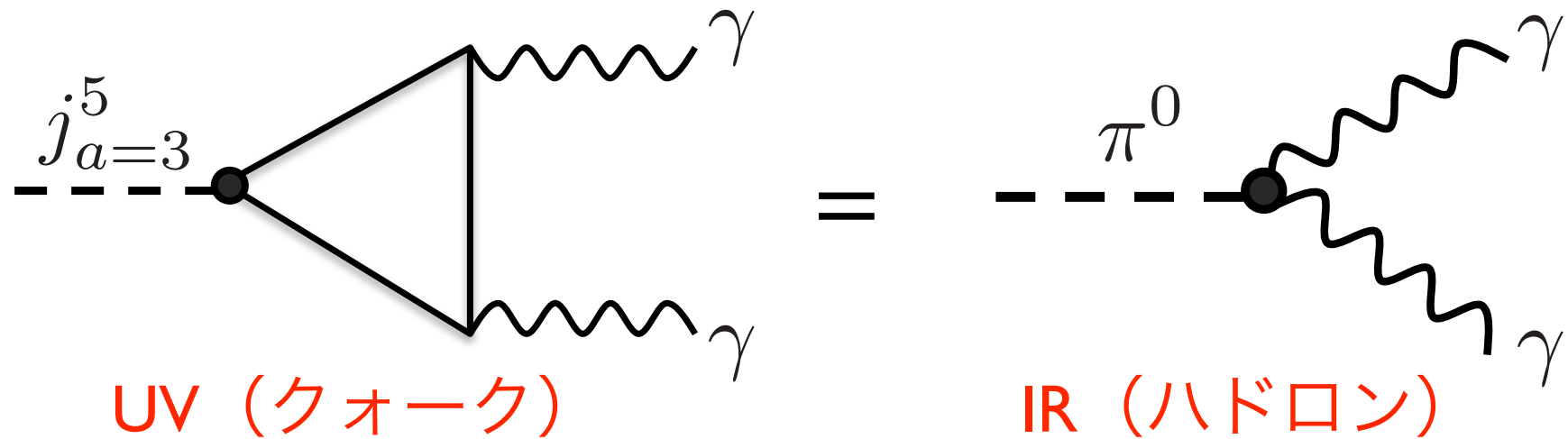
- 量子異常はエネルギー・スケールに依らない (anomaly matching)



$$\begin{aligned}\partial_\mu j_3^{\mu 5} &= N_c \left[\left(\frac{2}{3} \right)^2 - \left(-\frac{1}{3} \right)^2 \right] \frac{1}{2\pi^2} E \cdot B \\ &= \frac{N_c}{6\pi^2} E \cdot B\end{aligned}$$

QCDと量子異常

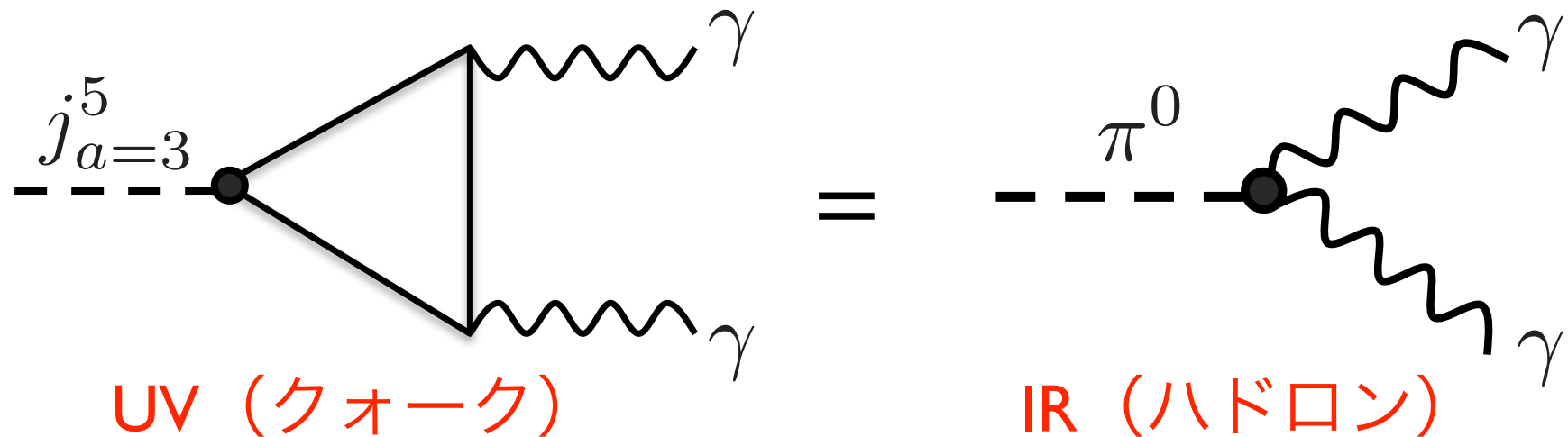
- 量子異常はエネルギー・スケールに依らない (anomaly matching)



$$\mathcal{L}_{\pi_0 \gamma \gamma} = C \pi^0 E \cdot B, \quad C = \frac{N_c}{12\pi^2}$$

QCDと量子異常

- 量子異常はエネルギー・スケールに依らない (anomaly matching)



$$\mathcal{L}_{\pi_0 \gamma \gamma} = C \pi^0 E \cdot B, \quad C = \frac{N_c}{12\pi^2}$$

- π^0 の寿命 (QCDが $N_c=3$ である証拠の1つ)

$$\Gamma_{\text{th}} = \frac{N_c^2 m_\pi^3}{9216 \pi^5 f_\pi^2} \simeq 7.6 \text{ eV}, \quad \Gamma_{\text{exp}} = 7.48 \pm 0.32 \text{ eV}$$

量子異常とヘリシティ

- 古典的には $\partial_t n_5 + \nabla \cdot j_5 = 0$

量子異常とヘリシティ

- 量子的には $\partial_t n_5 + \nabla \cdot j_5 = \frac{1}{2\pi^2} \mathbf{E} \cdot \mathbf{B}$

量子異常とヘリシティ

- 量子的には $\partial_t n_5 + \nabla \cdot j_5 = \frac{1}{2\pi^2} E \cdot B = \frac{1}{8\pi^2} \epsilon^{\mu\nu\alpha\beta} \partial_\mu (A_\nu F_{\alpha\beta})$

量子異常とヘリシティ

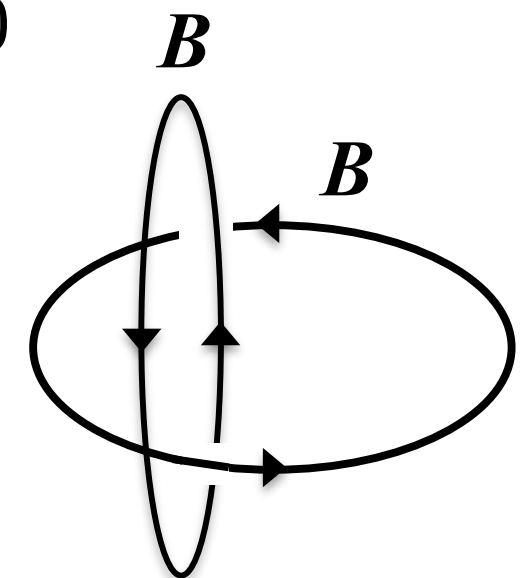
- 量子的には $\partial_t n_5 + \nabla \cdot j_5 = \frac{1}{2\pi^2} E \cdot B = \frac{1}{8\pi^2} \epsilon^{\mu\nu\alpha\beta} \partial_\mu (A_\nu F_{\alpha\beta})$

$$\rightarrow \frac{d}{dt} \left(\int d^3x \ n_5 + \frac{1}{4\pi^2} \int d^3x \ A \cdot B \right) = 0$$

カイラル電荷

磁気ヘリシティ

ヘリシティ保存則



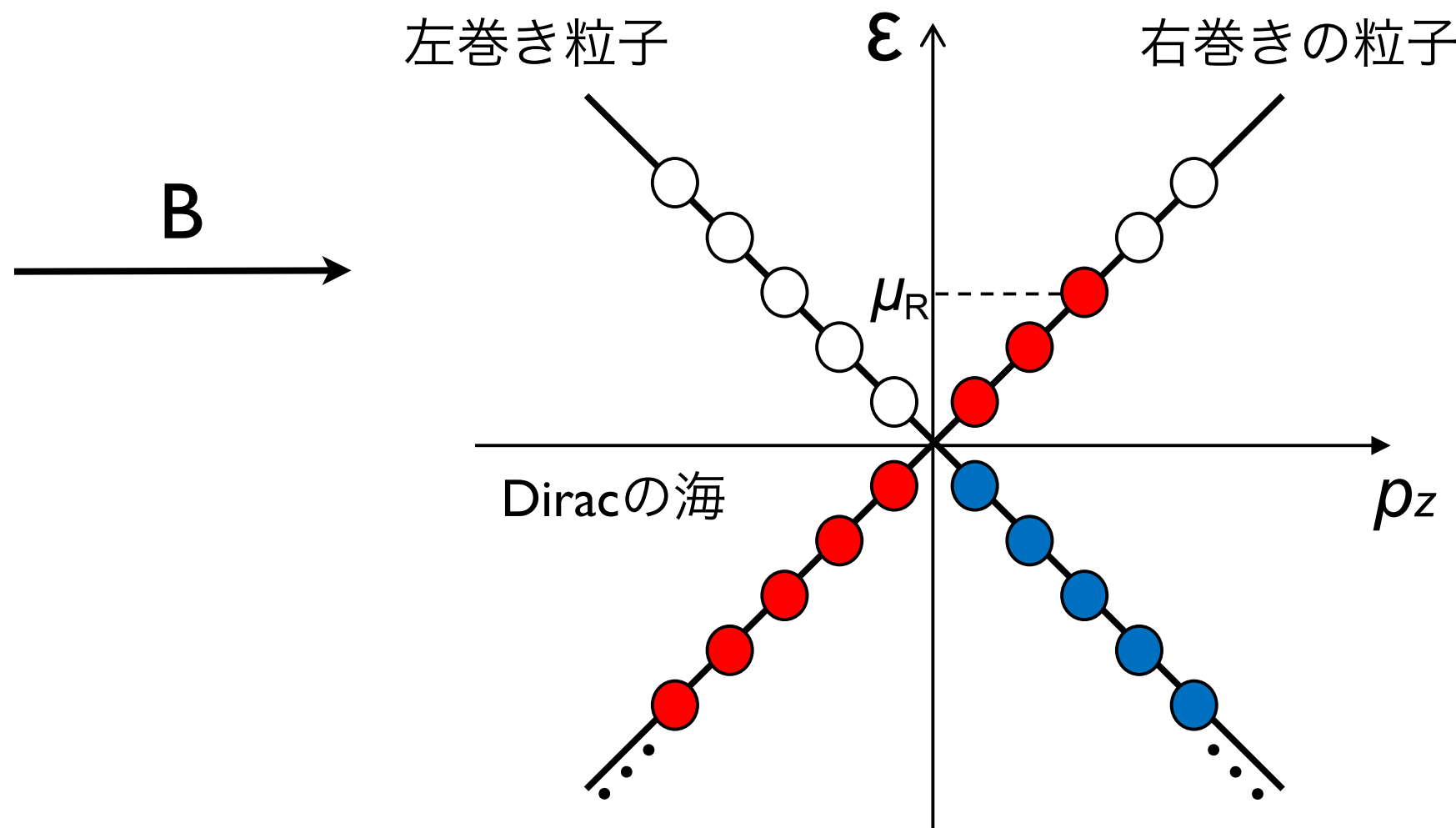
- 流体ヘリシティを含む場合にも拡張可能

Yamamoto (2016); see also Avdoshkin et al. (2016)

カイラル輸送現象

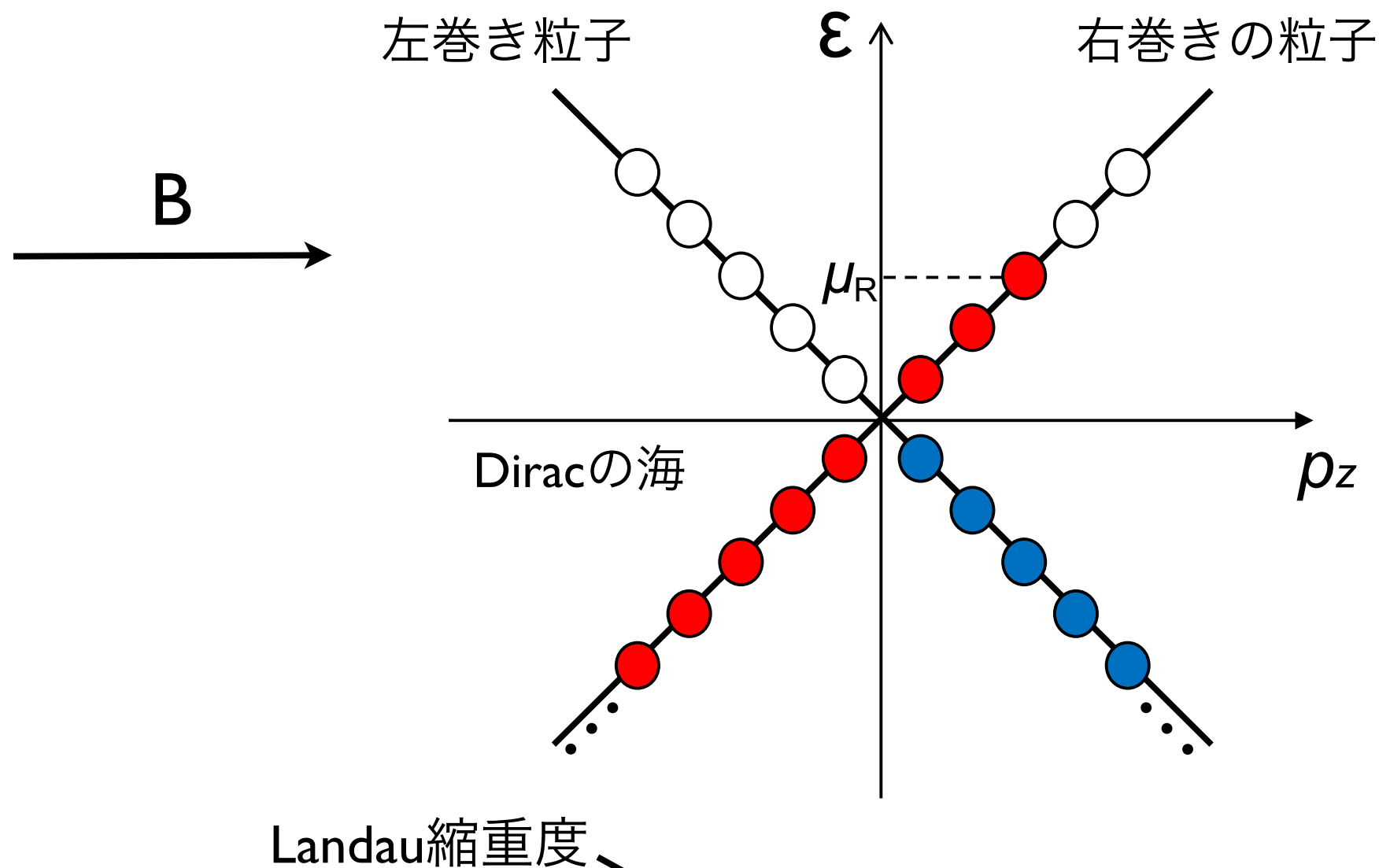
例として、右巻きフェルミオンを考える

Chiral Magnetic Effect ($T=0$)



最低Landau準位のカイラル粒子

Chiral Magnetic Effect ($T=0$)



Landau縮重度

$$j_R^z = \frac{B}{2\pi} \int_0^{\mu_R} \frac{dp_z}{2\pi} = \frac{\mu_R}{4\pi^2} B$$

Chiral Magnetic Effect ($T \neq 0$)

$$j_R^z = \frac{B}{2\pi} \int_0^\infty \frac{dp_z}{2\pi} [n_p(\mu_R) - n_p(-\mu_R)] = \frac{\mu_R}{4\pi^2} B$$

粒子の寄与 反粒子の寄与



$$\text{Fermi 分布: } n_p(\mu_R) = \frac{1}{e^{(p-\mu_R)/T} + 1}$$

- 少なくとも 1 粒子描像で、CME は 温度 T に 依存しない
- 輸送係数は カイラル量子異常と 関係 (トポロジカルに 量子化)

とても有用な公式

$$\int_0^\infty \frac{dp}{2\pi} \left(\frac{p}{2\pi}\right)^n [n_p(\mu) - (-1)^n n_p(-\mu)] = \frac{(\mathrm{i}T)^{n+1}}{n+1} B_{n+1} \left(\frac{1}{2} + \frac{\mu}{2\pi\mathrm{i}T}\right)$$

Loganayagam, Surowka (2012)

$B_n(x)$ は $\frac{te^{xt}}{e^t - 1} = \sum_{n=0}^{\infty} \frac{t^n}{n!} B_n(x)$ で定義される Bernoulli 多項式

$$B_0(x) = 1, \quad B_1(x) = x - \frac{1}{2}, \quad B_2(x) = x^2 - x + \frac{1}{6}$$

磁場・回転対応

- 磁場中の Lorentz 力: $F = \mathbf{v} \times \mathbf{B}$
- 非相対論粒子の回転系の Coriolis 力: $F = 2m\mathbf{v} \times \boldsymbol{\omega}$
- 相対論的粒子では $m \rightarrow E = p$
- 相対論での磁場と回転の対応（反粒子は逆符号）:

$$\mathbf{B} \leftrightarrow 2p\boldsymbol{\omega}$$

Chiral Vortical Effect ($T \neq 0$)

$$j_R^z = \frac{\omega}{2\pi} \int_0^\infty \frac{dp}{2\pi} 2p [n_p(\mu_R) + n_p(-\mu_R)] = \left(\frac{\mu_R^2}{4\pi^2} + \frac{T^2}{12} \right) \omega$$

↓
粒子の寄与 反粒子の寄与

$$\text{Fermi 分布: } n_p(\mu_R) = \frac{1}{e^{(p-\mu_R)/T} + 1}$$

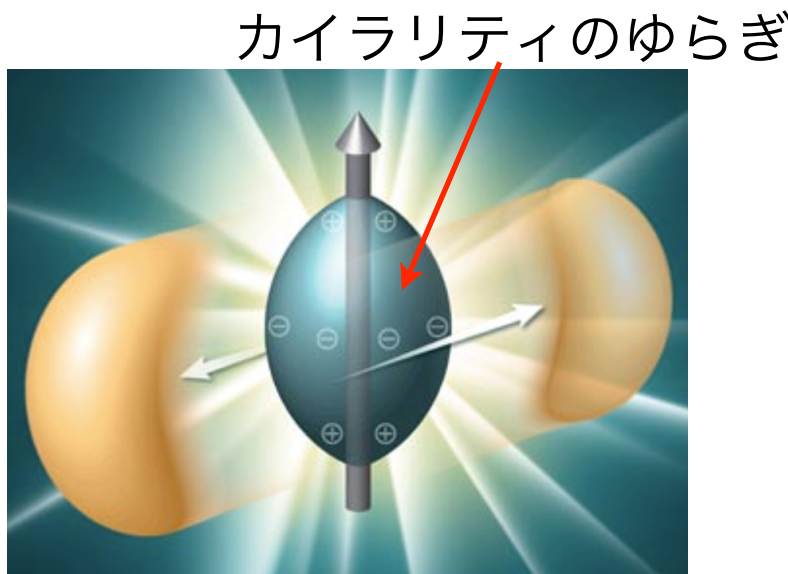
see, e.g., Landsteiner, arXiv:1610.04413

演習問題 2

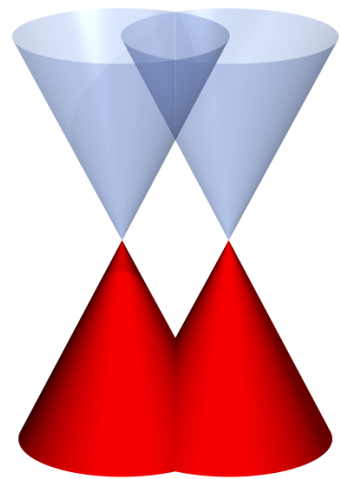
- 有限温度 T , 有限化学ポテンシャル μ における左巻きカイラルフェルミオンの CME, CVE の式を確認せよ。
- 最低 Landau 準位以外の準位が CME, CVE に寄与しないことを確認せよ。

カイラル物質

- 初期宇宙における電弱プラズマ Joyce, Shaposhnikov (1997), ...
- 重イオン衝突実験におけるQGP Fukushima, Kharzeev, Warringa (2008), ...
- Weyl 半金属 (“3D graphene”) Nielsen, Ninomiya (1983), ...
- 超新星におけるニュートリノ物質 Yamamoto (2016), ...



Quark-Gluon Plasma



Weyl 半金属



超新星爆発

量子異常と有効理論

量子異常はエネルギー・スケールに依らない (anomaly matching)

ミクロ

場の量子論

(QED, QCD, ...)

カイラル量子異常

カイラル輸送現象

量子異常と有効理論

量子異常はエネルギー・スケールに依らない (anomaly matching)

ミクロ

マクロ

場の量子論 → 運動論 → 流体力学
(QED, QCD, ...) (Boltzmann方程式)

カイラル量子異常 カイラル輸送現象

量子異常と有効理論

量子異常はエネルギー・スケールに依らない (anomaly matching)

ミクロ

マクロ

```
graph LR; A["場の量子論  
(QED, QCD, ...)"] --> B["運動論  
(Boltzmann方程式)"]; B --> C["流体力学"]; C --> D["カイラル量子異常  
カイラル輸送現象"]; C --> E["カイラル量子異常?  
カイラル輸送現象?"]
```

場の量子論 → 運動論 → 流体力学

(QED, QCD, ...) (Boltzmann方程式)

カイラル量子異常
カイラル輸送現象

カイラル量子異常?
カイラル輸送現象?

カイラル運動論 (Chiral kinetic theory)

Kinetic theory

- Kinetic theory は、系の平衡・非平衡状態における統計的な発展を記述（流体力学よりミクロ）

$$\frac{\partial n_p}{\partial t} + \mathbf{v} \cdot \frac{\partial n_p}{\partial \mathbf{x}} + (\mathbf{E} + \mathbf{v} \times \mathbf{B}) \cdot \frac{\partial n_p}{\partial \mathbf{p}} = c[n_p]$$



Ludwig Boltzmann

Boltzmann方程式

- 分布関数 $n_{\mathbf{p}}(t, \mathbf{x})$ を使って定式化
- 衝突を無視すると、Liouvilleの定理により

$$\frac{dn_{\mathbf{p}}}{dt} = \frac{\partial n_{\mathbf{p}}}{\partial t} + \dot{\mathbf{x}} \cdot \cancel{\frac{\partial n_{\mathbf{p}}}{\partial \mathbf{x}}} + \dot{\mathbf{p}} \cdot \cancel{\frac{\partial n_{\mathbf{p}}}{\partial \mathbf{p}}} = 0$$

Boltzmann方程式

- 分布関数 $n_{\mathbf{p}}(t, \mathbf{x})$ を使って定式化
- 衝突を無視すると、Liouvilleの定理により

$$\frac{dn_{\mathbf{p}}}{dt} = \frac{\partial n_{\mathbf{p}}}{\partial t} + \mathbf{v} \cdot \frac{\partial n_{\mathbf{p}}}{\partial \mathbf{x}} + (\mathbf{E} + \mathbf{v} \times \mathbf{B}) \cdot \frac{\partial n_{\mathbf{p}}}{\partial \mathbf{p}} = 0$$

Lorentz力

Boltzmann方程式

- 分布関数 $n_{\mathbf{p}}(t, \mathbf{x})$ を使って定式化
- 衝突を入れると

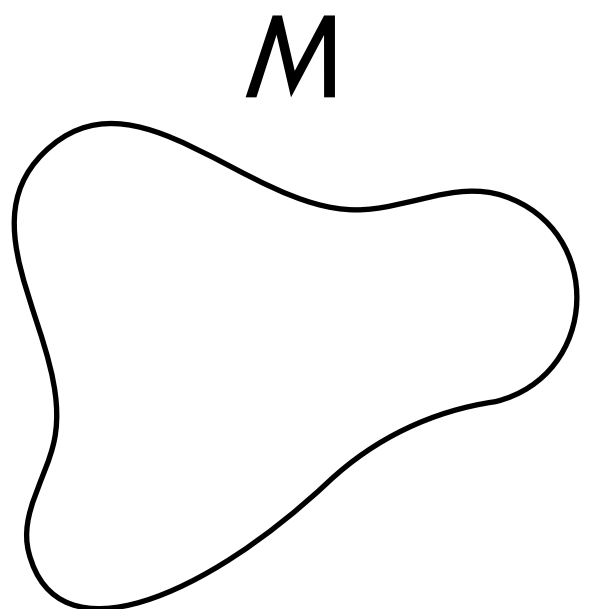
$$\frac{\partial n_{\mathbf{p}}}{\partial t} + \mathbf{v} \cdot \frac{\partial n_{\mathbf{p}}}{\partial \mathbf{x}} + (\mathbf{E} + \mathbf{v} \times \mathbf{B}) \cdot \frac{\partial n_{\mathbf{p}}}{\partial \mathbf{p}} = c[n_{\mathbf{p}}]$$

- Ohmの法則：

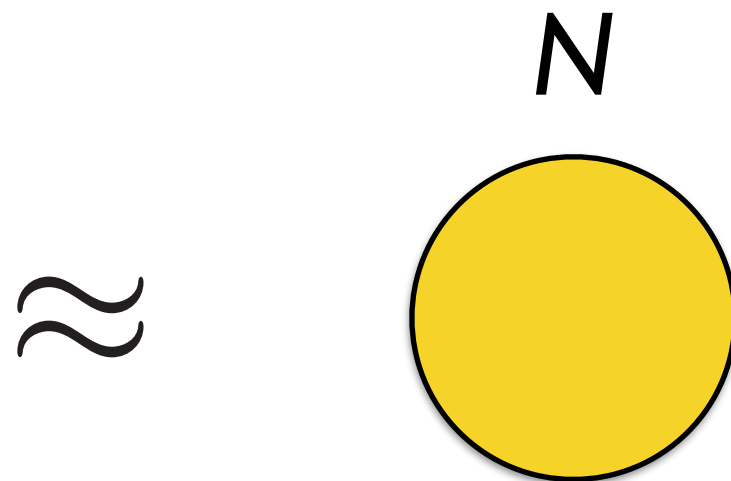
$$j_{\text{noneq}} = \int d\mathbf{p} \, \mathbf{v} \delta n_{\mathbf{p}} = \sigma \mathbf{E}$$

- カイラル磁気効果？ 量子異常？ 左右の区別？

Topology



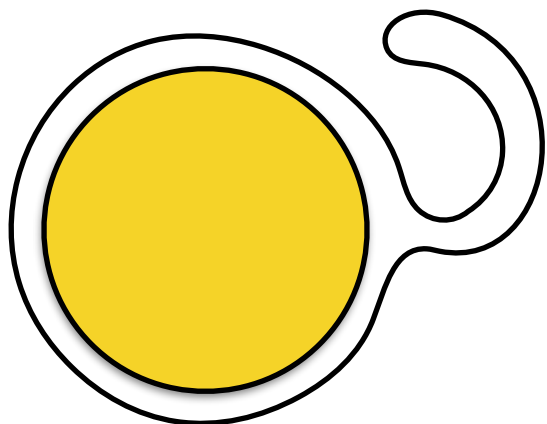
輪ゴム



上から見た棒の表面

M と N はトポロジー的に同じ : S^1

トポロジカル不变量

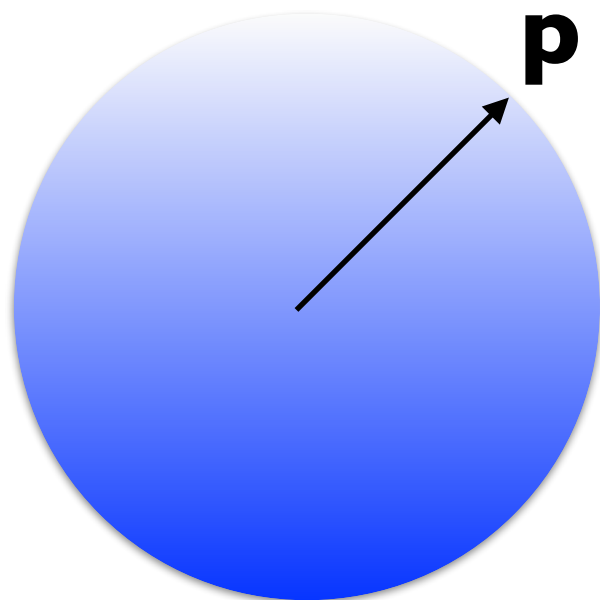


輪ゴム S^1 から棒 S^1 への写像 : 巻き数 n

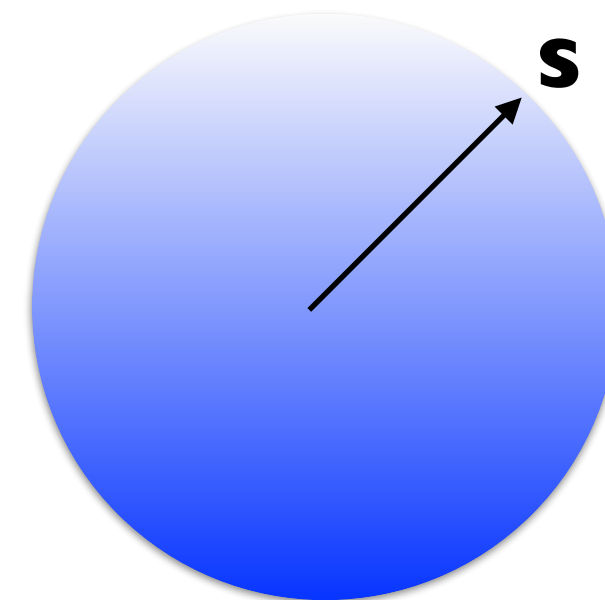
$$\pi_1(S^1) = \mathbb{Z}$$

カイラリティとトポロジー

右巻きフェルミオン



運動量空間

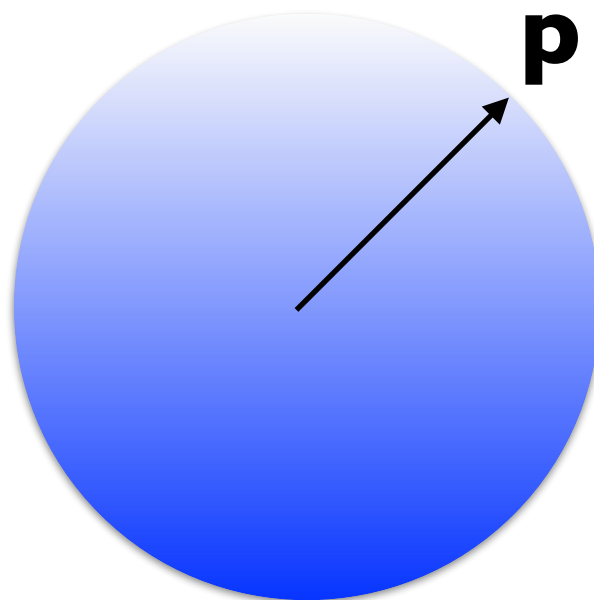


スピン空間

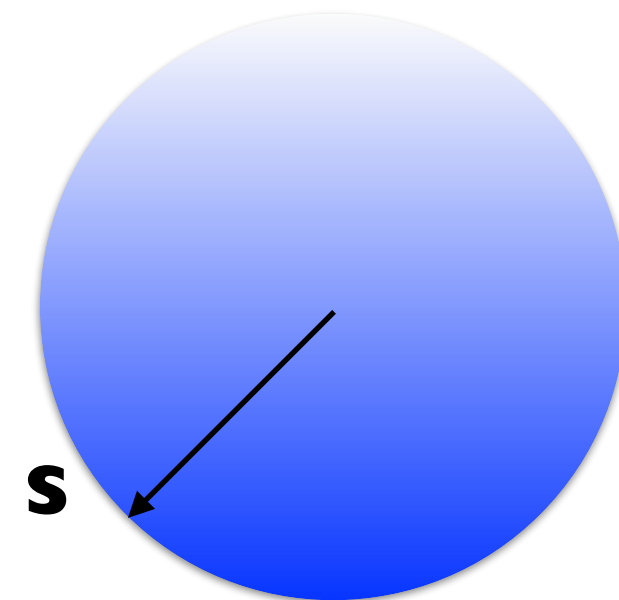
S^2 (運動量空間) から S^2 (スピン空間) への mapping : **巻き数 + 1**

カイラリティとトポロジー

左巻きフェルミオン



運動量空間



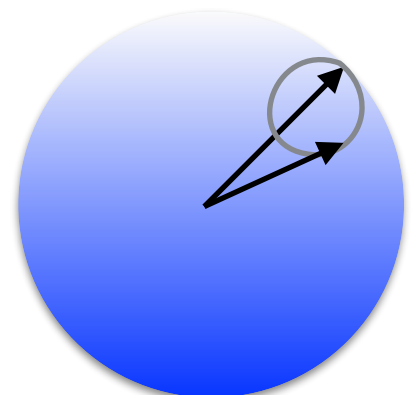
スピン空間

S^2 (運動量空間) から S^2 (スピン空間) への mapping : **巻き数 -1**

素粒子のカイラリティ = トポロジカル不变量

ChiralityとBerry曲率

- $\pi_2(S^2) = \pm 1 \rightarrow \mathbf{p}=\mathbf{0}$ でのモノポール
- モノポール“磁場” = Berry曲率 $\Omega_p = \pm \frac{\mathbf{p}}{2|\mathbf{p}|^3}$



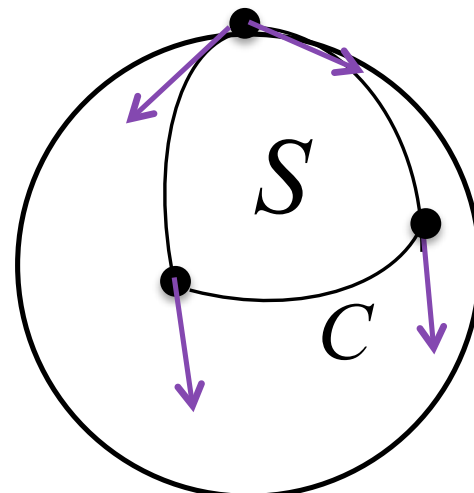
$$k = \frac{1}{4\pi} \int \Omega_p \cdot dS = \pm \frac{1}{2}$$

↗ モノポール電荷 ↗ ヘリシティ

Berry位相

Berry (1984)

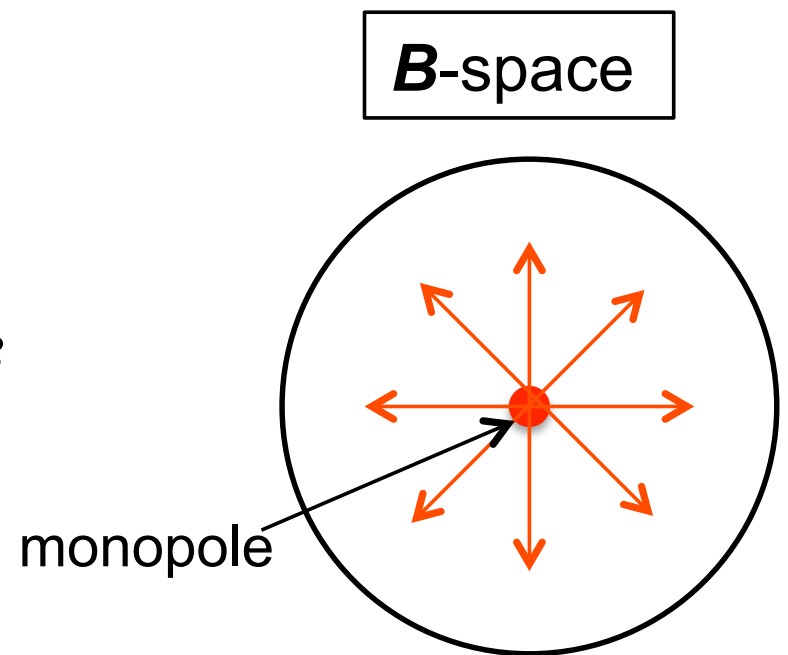
- 粒子の運動をあるパラメータ空間の超曲面に制限
- Berry接続 (“ゲージ場”): $a(\mathbf{n}) = i\langle u(\mathbf{n}) | \nabla | u(\mathbf{n}) \rangle$
- Berry曲率 (“磁場”): $b(\mathbf{n}) = \nabla \times a(\mathbf{n})$
- Berry位相 (“磁束”): $\alpha = \int_C \mathbf{a} \cdot d\mathbf{n} = \int_S \mathbf{b} \cdot d\mathbf{S}$



例：磁場中のスピン

Berry (1984)

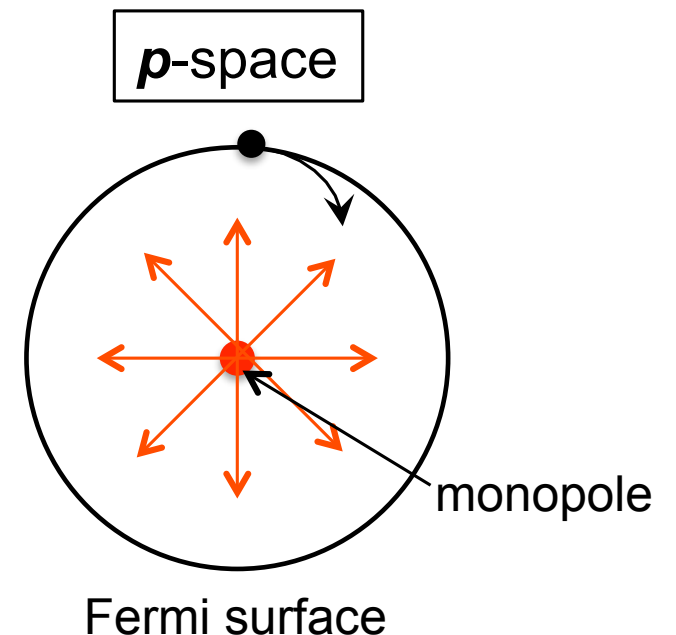
- ハミルトニアン： $H(\mathbf{B}) = \boldsymbol{\sigma} \cdot \mathbf{B}$
- 固有値方程式： $H(\mathbf{B})\mathbf{u}_B = \pm|\mathbf{B}|\mathbf{u}_B$
- Berry曲率： $b_B = \frac{\mathbf{B}}{2|\mathbf{B}|^3}$



演習問題3：これを確認せよ。

カイラル粒子の運動方程式

- ハミルトニアン： $H = \pm \boldsymbol{\sigma} \cdot \mathbf{p}$
- \mathbf{p} -空間のBerry曲率： $\Omega_p = \nabla_{\mathbf{p}} \times \mathbf{a}_p = \pm \frac{\mathbf{p}}{2|\mathbf{p}|^3}$



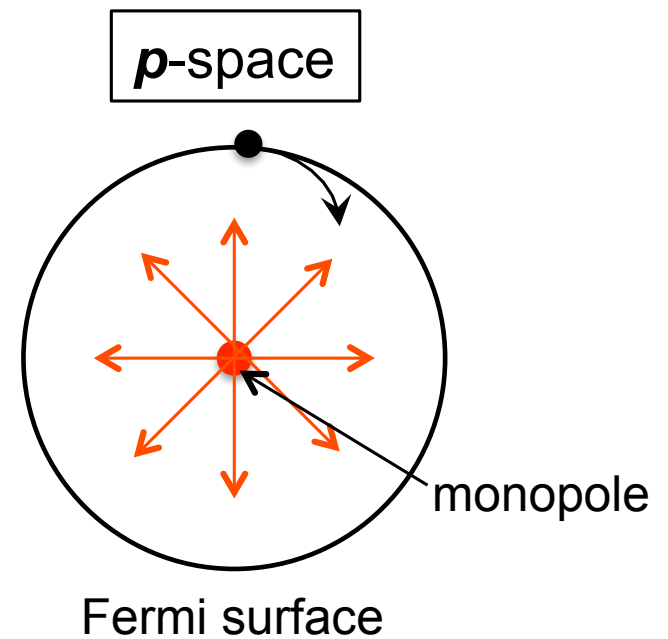
カイラル粒子の運動方程式

- ハミルトニアン: $H = \pm \boldsymbol{\sigma} \cdot \mathbf{p}$
- \mathbf{p} -空間のBerry曲率: $\Omega_p = \nabla_{\mathbf{p}} \times \mathbf{a}_p = \pm \frac{\mathbf{p}}{2|\mathbf{p}|^3}$
- 運動方程式:

$$\dot{x} = \hat{p}$$

$$\dot{p} = E + \dot{x} \times B$$

← **x**-空間でのLorentz力



カイラル粒子の運動方程式

- ハミルトニアン: $H = \pm \boldsymbol{\sigma} \cdot \mathbf{p}$
- \mathbf{p} -空間のBerry曲率: $\Omega_p = \nabla_{\mathbf{p}} \times \mathbf{a}_p = \pm \frac{\mathbf{p}}{2|\mathbf{p}|^3}$

- 運動方程式:

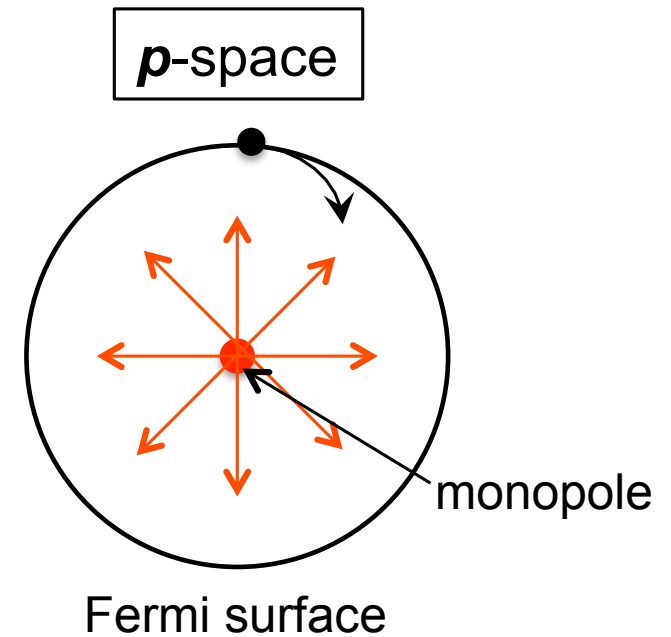
\mathbf{p} -空間での“Lorentz力”

$$\dot{\mathbf{x}} = \hat{\mathbf{p}} + \dot{\mathbf{p}} \times \Omega_p$$

$$\dot{\mathbf{p}} = \mathbf{E} + \dot{\mathbf{x}} \times \mathbf{B}$$

\mathbf{x} -空間でのLorentz力

Sundaram, Niu (1999)



カイラル粒子の運動方程式

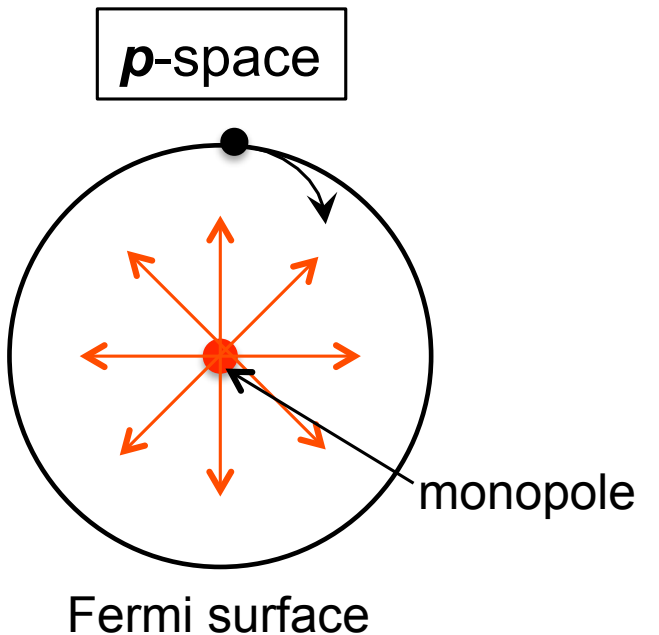
- ハミルトニアン: $H = \pm \boldsymbol{\sigma} \cdot \mathbf{p}$

- \mathbf{p} -空間のBerry曲率: $\Omega_p = \nabla_{\mathbf{p}} \times \mathbf{a}_p = \pm \frac{\mathbf{p}}{2|\mathbf{p}|^3}$

- 運動方程式:

$$\dot{x} = \hat{\mathbf{p}} + \dot{\mathbf{p}} \times \boldsymbol{\Omega}_{\mathbf{p}} = \sqrt{\omega}^{-1} [\hat{\mathbf{p}} + \mathbf{E} \times \boldsymbol{\Omega}_{\mathbf{p}} + (\hat{\mathbf{p}} \cdot \boldsymbol{\Omega}_{\mathbf{p}}) \mathbf{B}]$$

$$\dot{\mathbf{p}} = \mathbf{E} + \dot{\mathbf{x}} \times \mathbf{B} = \sqrt{\omega}^{-1} [\mathbf{E} + \hat{\mathbf{p}} \times \mathbf{B} + (\mathbf{E} \cdot \mathbf{B}) \boldsymbol{\Omega}_{\mathbf{p}}]$$



$$\sqrt{\omega} = 1 + \mathbf{B} \cdot \boldsymbol{\Omega}_{\mathbf{p}}$$

カイラル粒子の運動方程式

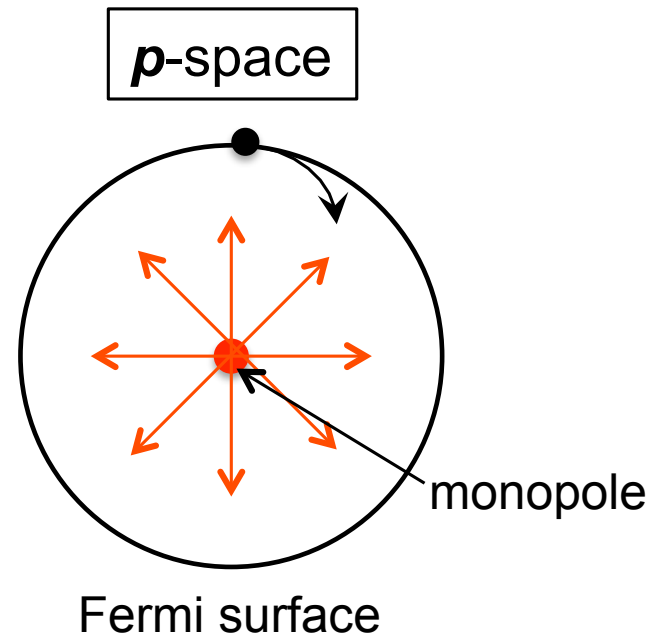
- ハミルトニアン: $H = \pm \boldsymbol{\sigma} \cdot \mathbf{p}$

- \mathbf{p} -空間のBerry曲率: $\Omega_p = \nabla_{\mathbf{p}} \times \mathbf{a}_p = \pm \frac{\mathbf{p}}{2|\mathbf{p}|^3}$

- 運動方程式:

$$\dot{x} = \hat{\mathbf{p}} + \dot{\mathbf{p}} \times \boldsymbol{\Omega}_{\mathbf{p}} = \sqrt{\omega}^{-1} [\hat{\mathbf{p}} + \mathbf{E} \times \boldsymbol{\Omega}_{\mathbf{p}} + (\hat{\mathbf{p}} \cdot \boldsymbol{\Omega}_{\mathbf{p}}) \mathbf{B}]$$

$$\dot{\mathbf{p}} = \mathbf{E} + \dot{\mathbf{x}} \times \mathbf{B} = \sqrt{\omega}^{-1} [\mathbf{E} + \hat{\mathbf{p}} \times \mathbf{B} + (\mathbf{E} \cdot \mathbf{B}) \boldsymbol{\Omega}_{\mathbf{p}}]$$



- Boltzmann方程式:

$$\frac{dn_{\mathbf{p}}}{dt} = \frac{\partial n_{\mathbf{p}}}{\partial t} + \underline{\dot{\mathbf{x}}} \cdot \frac{\partial n_{\mathbf{p}}}{\partial \mathbf{x}} + \underline{\dot{\mathbf{p}}} \cdot \frac{\partial n_{\mathbf{p}}}{\partial \mathbf{p}} = c[n_{\mathbf{p}}]$$

$$\sqrt{\omega} = 1 + \mathbf{B} \cdot \boldsymbol{\Omega}_{\mathbf{p}}$$

Chiral kinetic theory

$$(1 + \mathbf{B} \cdot \boldsymbol{\Omega}) \frac{\partial n_{\mathbf{p}}}{\partial t} + [\mathbf{v} + \mathbf{E} \times \boldsymbol{\Omega} + (\mathbf{v} \cdot \boldsymbol{\Omega}) \mathbf{B}] \cdot \frac{\partial n_{\mathbf{p}}}{\partial \mathbf{x}} \\ + [\mathbf{E} + \mathbf{v} \times \mathbf{B} + (\mathbf{E} \cdot \mathbf{B}) \boldsymbol{\Omega}] \cdot \frac{\partial n_{\mathbf{p}}}{\partial \mathbf{p}} = c[n_{\mathbf{p}}]$$

Son, Yamamoto (2012); Stephanov, Yin (2012); Chen et al. (2013).

Chiral kinetic theory

$$(1 + \mathbf{B} \cdot \boldsymbol{\Omega}) \frac{\partial n_{\mathbf{p}}}{\partial t} + [\mathbf{v} + \mathbf{E} \times \boldsymbol{\Omega} + (\mathbf{v} \cdot \boldsymbol{\Omega}) \mathbf{B}] \cdot \frac{\partial n_{\mathbf{p}}}{\partial \mathbf{x}} \\ + [\mathbf{E} + \mathbf{v} \times \mathbf{B} + (\mathbf{E} \cdot \mathbf{B}) \boldsymbol{\Omega}] \cdot \frac{\partial n_{\mathbf{p}}}{\partial \mathbf{p}} = c[n_{\mathbf{p}}]$$

Son, Yamamoto (2012); Stephanov, Yin (2012); Chen et al. (2013).

$$j \equiv \int_{\mathbf{p}} \sqrt{\omega} \dot{x} n_{\mathbf{p}} = \int_{\mathbf{p}} [\hat{\mathbf{p}} + \mathbf{E} \times \boldsymbol{\Omega} + (\hat{\mathbf{p}} \cdot \boldsymbol{\Omega}) \mathbf{B}] n_{\mathbf{p}}$$

Chiral kinetic theory

$$(1 + \mathbf{B} \cdot \boldsymbol{\Omega}) \frac{\partial n_{\mathbf{p}}}{\partial t} + [\mathbf{v} + \mathbf{E} \times \boldsymbol{\Omega} + (\mathbf{v} \cdot \boldsymbol{\Omega}) \mathbf{B}] \cdot \frac{\partial n_{\mathbf{p}}}{\partial \mathbf{x}} \\ + [\mathbf{E} + \mathbf{v} \times \mathbf{B} + (\mathbf{E} \cdot \mathbf{B}) \boldsymbol{\Omega}] \cdot \frac{\partial n_{\mathbf{p}}}{\partial \mathbf{p}} = c[n_{\mathbf{p}}]$$

Son, Yamamoto (2012); Stephanov, Yin (2012); Chen et al. (2013).

$$j \equiv \int_{\mathbf{p}} \sqrt{\omega} \dot{\mathbf{x}} n_{\mathbf{p}} = \int_{\mathbf{p}} [\hat{\mathbf{p}} + \mathbf{E} \times \cancel{\boldsymbol{\Omega}} + (\hat{\mathbf{p}} \cdot \boldsymbol{\Omega}) \mathbf{B}] n_{\mathbf{p}}$$

球対称の Fermi 分布 : $n_{\mathbf{p}} = \theta(\mu - |\mathbf{p}|)$

Chiral kinetic theory

$$(1 + \mathbf{B} \cdot \boldsymbol{\Omega}) \frac{\partial n_{\mathbf{p}}}{\partial t} + [\mathbf{v} + \mathbf{E} \times \boldsymbol{\Omega} + (\mathbf{v} \cdot \boldsymbol{\Omega}) \mathbf{B}] \cdot \frac{\partial n_{\mathbf{p}}}{\partial \mathbf{x}} \\ + [\mathbf{E} + \mathbf{v} \times \mathbf{B} + (\mathbf{E} \cdot \mathbf{B}) \boldsymbol{\Omega}] \cdot \frac{\partial n_{\mathbf{p}}}{\partial \mathbf{p}} = c[n_{\mathbf{p}}]$$

Son, Yamamoto (2012); Stephanov, Yin (2012); Chen et al. (2013).

$$j \equiv \int_{\mathbf{p}} \sqrt{\omega} \dot{x} n_{\mathbf{p}} = \int_{\mathbf{p}} [\hat{\mathbf{p}} + \mathbf{E} \times \cancel{\boldsymbol{\Omega}} + (\hat{\mathbf{p}} \cdot \boldsymbol{\Omega}) \mathbf{B}] n_{\mathbf{p}} = \pm \frac{\mu}{4\pi^2} \mathbf{B}$$

球対称の Fermi 分布 : $n_{\mathbf{p}} = \theta(\mu - |\mathbf{p}|)$

Chiral kinetic theory

$$(1 + \mathbf{B} \cdot \boldsymbol{\Omega}) \frac{\partial n_{\mathbf{p}}}{\partial t} + [\mathbf{v} + \mathbf{E} \times \boldsymbol{\Omega} + (\mathbf{v} \cdot \boldsymbol{\Omega}) \mathbf{B}] \cdot \frac{\partial n_{\mathbf{p}}}{\partial \mathbf{x}} \\ + [\mathbf{E} + \mathbf{v} \times \mathbf{B} + (\mathbf{E} \cdot \mathbf{B}) \boldsymbol{\Omega}] \cdot \frac{\partial n_{\mathbf{p}}}{\partial \mathbf{p}} = c[n_{\mathbf{p}}]$$

Son, Yamamoto (2012); Stephanov, Yin (2012); Chen et al. (2013).

$$j \equiv \int_{\mathbf{p}} \sqrt{\omega} \dot{x} n_{\mathbf{p}} = \int_{\mathbf{p}} [\hat{\mathbf{p}} + \mathbf{E} \times \cancel{\boldsymbol{\Omega}} + (\hat{\mathbf{p}} \cdot \boldsymbol{\Omega}) \mathbf{B}] n_{\mathbf{p}} = \pm \frac{\mu}{4\pi^2} \mathbf{B}$$

$$\partial_t n + \nabla \cdot j = -(\mathbf{E} \cdot \mathbf{B}) \int_{\mathbf{p}} \left(\boldsymbol{\Omega} \cdot \frac{\partial n_{\mathbf{p}}}{\partial \mathbf{p}} \right) = \pm \frac{1}{4\pi^2} \mathbf{E} \cdot \mathbf{B}$$

Full chiral kinetic theory

$$(1 + \mathbf{B} \cdot \boldsymbol{\Omega}) \frac{\partial n_{\mathbf{p}}}{\partial t} + \left[\tilde{\mathbf{v}} + \tilde{\mathbf{E}} \times \boldsymbol{\Omega} + (\tilde{\mathbf{v}} \cdot \boldsymbol{\Omega}) \mathbf{B} \right] \cdot \frac{\partial n_{\mathbf{p}}}{\partial \mathbf{x}} \\ + \left[\tilde{\mathbf{E}} + \tilde{\mathbf{v}} \times \mathbf{B} + (\tilde{\mathbf{E}} \cdot \mathbf{B}) \boldsymbol{\Omega} \right] \cdot \frac{\partial n_{\mathbf{p}}}{\partial \mathbf{p}} = c[n_{\mathbf{p}}]$$

$$\epsilon_{\mathbf{p}} = |\mathbf{p}|(1 - \mathbf{B} \cdot \boldsymbol{\Omega}), \quad \tilde{\mathbf{v}} \equiv \frac{\partial \epsilon_{\mathbf{p}}}{\partial \mathbf{p}}, \quad \tilde{\mathbf{E}} \equiv \mathbf{E} - \frac{\partial \epsilon_{\mathbf{p}}}{\partial \mathbf{x}}$$

磁気モーメントによる補正

Son, Yamamoto (2013); Manuel, Torres-Rincon (2014); Chen, Son, Stephanov, Yee, Yin (2014)

演習問題 4

Chiral kinetic theoryにおいて、以下の Fermi 分布を代入すると、 $j \propto v \times E$ という電流の寄与が得られることを示せ。これを異常 Hall 効果と呼ぶ。

これは、Joule 熱を伴わないことに注意せよ。

$$n_p = \frac{1}{e^{(p_\mu u^\mu - \mu_R)/T} + 1}, \quad u^\mu \approx (1, v)$$

カイラル流体力学

(Chiral hydrodynamics)

流体力学

- 水や空気など、構成要素の詳細に依らず、方程式は同じ形
= Navier-Stokes 方程式

$$\frac{\partial \mathbf{v}}{\partial t} + (\mathbf{v} \cdot \nabla) \mathbf{v} = -\frac{1}{\rho} \nabla p + \nu \nabla^2 \mathbf{v}$$

- 長距離・長時間における有効場の理論 (Effective Field Theory)
 $\ell \gg \ell_{\text{mfp}}, \quad t \gg t_{\text{mft}}$
- 系の対称性と低エネルギーの自由度に基づいて分類できる

(参考) 数理科学 2017年 8月号 「相対論的流体力学」

対称性と低エネルギー自由度

- 水や空気：流速場
 - = 非相対論的流体力学 (Navier-Stokes 方程式)
- 電磁プラズマ： $U(1)_{EM}$ ゲージ対称性 → フォトン
 - = 磁気流体力学 (Magneto hydrodynamics)
- 超流動体：大域的 $U(1)$ 対称性の破れ → 超流動フォノン
 - = 超流動流体力学

相對論的流体力学

エネルギー・運動量保存則： $\partial_\mu T^{\mu\nu} = 0$

粒子数保存則： $\partial_\mu j^\mu = 0$

$$T^{\mu\nu} = (\epsilon + P)u^\mu u^\nu - Pg^{\mu\nu} + \text{(dissipation)}$$

$$j^\mu = n u^\mu + \text{(dissipation)}$$

Landau & Lifshitz “Fluid Mechanics” (volume 6)

エネルギー運動量テンソル

局所静止系 $\bar{u}^\mu \equiv (1, \mathbf{0}) : \bar{T}^{\mu\nu} = \text{diag}(\epsilon, P, P, P)$

Landau & Lifshitz “Fluid Mechanics” (volume 6)

エネルギー運動量テンソル

局所静止系 $\bar{u}^\mu \equiv (1, \mathbf{0}) : \bar{T}^{\mu\nu} = \text{diag}(\epsilon, P, P, P)$

一般の系 $u^\mu \equiv \gamma(1, \mathbf{v}) = \Lambda_\nu^\mu \bar{u}^\nu :$

$$T^{\mu\nu} = \Lambda_\rho^\mu \Lambda_\sigma^\nu \bar{T}^{\rho\sigma} = (\epsilon + P) u^\mu u^\nu - P g^{\mu\nu}$$

Landau & Lifshitz “Fluid Mechanics” (volume 6)

電磁場中の相対論的流体力学

エネルギー・運動量保存則： $\partial_\mu T^{\mu\nu} = F^{\nu\lambda} j_\lambda$

粒子数保存則： $\partial_\mu j^\mu = 0$

$$T^{\mu\nu} = (\epsilon + P)u^\mu u^\nu - Pg^{\mu\nu} + \text{(dissipation)}$$

$$j^\mu = n u^\mu + \text{(dissipation)}$$

カイラル流体力学（右巻き）

エネルギー・運動量保存則： $\partial_\mu T^{\mu\nu} = F^{\nu\lambda} j_\lambda$

量子異常： $\partial_\mu j^\mu = \frac{1}{4\pi^2} E^\mu B_\mu$

$$T^{\mu\nu} = (\epsilon + P)u^\mu u^\nu - Pg^{\mu\nu} + (\text{dissipation}) \\ + \#(u^\mu B^\nu + B^\nu u^\mu) + \#(u^\mu \omega^\nu + \omega^\nu u^\mu)$$

$$j^\mu = n u^\mu + \frac{\mu}{4\pi^2} B^\mu + \left(\frac{\mu^2}{4\pi^2} + \frac{T^2}{12} \right) \omega^\mu + (\text{dissipation})$$

$$E^\mu = F^{\mu\nu} u_\nu, \quad B^\mu = \frac{1}{2} \epsilon^{\mu\nu\alpha\beta} u_\nu F_{\alpha\beta}, \quad \omega^\mu = \frac{1}{2} \epsilon^{\mu\nu\alpha\beta} u_\nu \partial_\alpha u_\beta$$

Son, Surowka (2009); Sadofyev, Isachenkov (2011); Neiman, Oz (2011)

Chiral Magnetic Energy Current

$$j_R^z = \frac{B}{2\pi} \int_0^\infty \frac{dp_z}{2\pi} [n_p(\mu_R) - n_p(-\mu_R)] = \frac{\mu_R}{4\pi^2} B$$

粒子の寄与  反粒子の寄与 

$$T_R^{0z} = \frac{B}{2\pi} \int_0^\infty \frac{dp}{2\pi} [\cancel{pn}_p(\mu_R) - \cancel{(-p)}n_p(-\mu_R)] = \left(\frac{\mu_R^2}{8\pi^2} + \frac{T^2}{24} \right) B$$

Fermi 分布 : $n_p(\mu_R) = \frac{1}{e^{(p-\mu_R)/T} + 1}$

Chiral Vortical Energy Current

$$j_R^z = \frac{\omega}{2\pi} \int_0^\infty \frac{dp}{2\pi} 2p [n_p(\mu_R) + n_p(-\mu_R)] = \left(\frac{\mu_R^2}{4\pi^2} + \frac{T^2}{12} \right) \omega$$

↓
粒子の寄与 反粒子の寄与

$$T_R^{0z} = \frac{\omega}{2\pi} \int_0^\infty \frac{dp}{2\pi} 2p [\cancel{pn}_p(\mu_R) + (-p)n_p(-\mu_R)] = \left(\frac{\mu_R^3}{6\pi^2} + \frac{\mu_R T^2}{6} \right) \omega$$

Fermi 分布 : $n_p(\mu_R) = \frac{1}{e^{(p-\mu_R)/T} + 1}$

カイラル流体力学

エネルギー・運動量保存則: $\partial_\mu T^{\mu\nu} = F^{\nu\lambda} j_\lambda$

量子異常: $\partial_\mu j^\mu = \frac{1}{4\pi^2} E^\mu B_\mu$

$$T^{\mu\nu} = (\epsilon + P)u^\mu u^\nu - Pg^{\mu\nu} + (\text{dissipation})$$

$$+ \left(\frac{\mu^2}{8\pi^2} + \frac{T^2}{24} \right) (u^\mu B^\nu + B^\nu u^\mu) + \left(\frac{\mu^3}{6\pi^2} + \frac{\mu T^2}{6} \right) (u^\mu \omega^\nu + \omega^\nu u^\mu)$$

$$j^\mu = n u^\mu + \frac{\mu}{4\pi^2} B^\mu + \left(\frac{\mu^2}{4\pi^2} + \frac{T^2}{12} \right) \omega^\mu + (\text{dissipation})$$

$$E^\mu = F^{\mu\nu} u_\nu, \quad B^\mu = \frac{1}{2} \epsilon^{\mu\nu\alpha\beta} u_\nu F_{\alpha\beta}, \quad \omega^\mu = \frac{1}{2} \epsilon^{\mu\nu\alpha\beta} u_\nu \partial_\alpha u_\beta$$

Son, Surowka (2009); Sadofyev, Isachenkov (2011); Neiman, Oz (2011)

流速の定義と frame

- 流速場 u^i は何の流れ？

流速の定義と frame

- 流速場 u^i は何の流れ？
- 粒子数の流れ : $u^i \sim j^i$ (**Eckart frame**), or
- エネルギー流 : $u^i \sim T^{0i}$ (**Landau frame**)

流速の定義と frame

- 流速場 u^i は何の流れ？
- 粒子数の流れ : $u^i \sim j^i$ (**Eckart frame**), or
- エネルギー流 : $u^i \sim T^{0i}$ (**Landau frame**)
- 以下の u^i の再定義によって、($T^{\mu\nu}$ に CME/CVE 補正のない)
Landau frame に移行できる：

$$u^\mu \rightarrow u^\mu - \frac{1}{\epsilon + P} \left(\frac{\mu^2}{8\pi^2} + \frac{T^2}{24} \right) B^\mu - \frac{1}{\epsilon + P} \left(\frac{\mu^3}{6\pi^2} + \frac{\mu T^2}{6} \right) \omega^\mu$$

カイラル流体力学

エネルギー・運動量保存則: $\partial_\mu T^{\mu\nu} = F^{\nu\lambda} j_\lambda$

量子異常: $\partial_\mu j^\mu = \frac{1}{4\pi^2} E^\mu B_\mu$

$$T^{\mu\nu} = (\epsilon + P) u^\mu u^\nu - P g^{\mu\nu} + (\text{dissipation})$$

$$j^\mu = n u^\mu + \xi_B B^\mu + \xi_\omega \omega^\mu + (\text{dissipation})$$

$$\xi_B = \frac{1}{4\pi^2} \left(\mu - \frac{1}{2} \frac{n(\mu^2 + \frac{T^2}{12})}{\epsilon + P} \right), \quad \xi_\omega = \frac{\mu^2}{4\pi^2} \left(1 - \frac{2}{3} \frac{n\mu}{\epsilon + P} \right) + \frac{T^2}{12} \left(1 - \frac{2n\mu}{\epsilon + P} \right)$$

Son, Surowka (2009); Sadofyev, Isachenkov (2011); Neiman, Oz (2011)

カイラル波

- Chiral Magnetic Wave
- Chiral Alfvén Wave

「理論」と「波」

- Euler 方程式 (1757) : 音波
- Maxwell 方程式 (1861) : 電磁波
- 一般相対論 (1915) : 重力波
- 超流動流体力学 (1941) : 第 2 音波
- 磁気流体力学 (1942) : Alfvén 波
- Fermi 液体論 (1957) : ゼロ音波
- カイラル流体力学 (2009) : ???

Chiral Magnetic Wave (CMW)

Newman (2006); Kharzeev,Yee (2011)

有限密度・磁場中のカイラルフェルミオン

粒子数保存則: $\partial_t n + \nabla \cdot j = 0$

$$\text{CME: } j_z = \pm \frac{\mu}{4\pi^2} B_z$$

$$\text{感受率: } \chi \equiv \frac{\partial n}{\partial \mu}$$

Chiral Magnetic Wave (CMW)

Newman (2006); Kharzeev,Yee (2011)

有限密度・磁場中のカイラルフェルミオン

粒子数保存則: $\partial_t n + \nabla \cdot j = 0$

CME: $j_z = \pm \frac{\mu}{4\pi^2} B_z \longrightarrow \partial_t n \pm V_L \partial_z n = 0$

感受率: $\chi \equiv \frac{\partial n}{\partial \mu}$ $V_L = \frac{B_z}{4\pi^2 \chi}$ (縦波)

Chiral Alfvén Wave (CAW)

Yamamoto (2015)

有限温度・磁場中のカイラルフェルミオン
(一様・静的な n, ϵ, P)

粒子数保存則: $\nabla \cdot \mathbf{v} = 0$

運動量保存則: $(\epsilon + P) \partial_t \mathbf{v} = \mathbf{j} \times \mathbf{B}$

CVE: $\mathbf{j} = \pm \frac{T^2}{24} \nabla \times \mathbf{v}$

Chiral Alfvén Wave (CAW)

Yamamoto (2015)

有限温度・磁場中のカイラルフェルミオン
(一様・静的な n, ϵ, P)

粒子数保存則: $\nabla \cdot \mathbf{v} = 0$

運動量保存則: $(\epsilon + P)\partial_t \mathbf{v} = \mathbf{j} \times \mathbf{B} \xrightarrow{\mathbf{v} \perp \mathbf{B}} \partial_t \mathbf{v} \pm V_T \partial_z \mathbf{v} = 0$

CVE: $\mathbf{j} = \pm \frac{T^2}{24} \nabla \times \mathbf{v}$

$$V_T = -\frac{1}{24} \frac{T^2}{\epsilon + P} B_z$$

(横波)

カイラルプラズマ不安定性 (Chiral plasma instability)

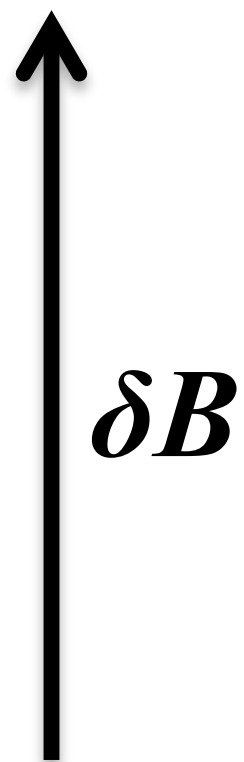
電弱プラズマ Redlich, Wijewardhana (1985); Rubakov (1986); Laine (2005)

初期宇宙 Joyce, Shaposhnikov (1997); Boyarsky et al. (2012); Tashiro et al. (2012), ...

クオーク・グルーオン・プラズマ Akamatsu, Yamamoto (2013), ...

中性子星・マグネター Ohnishi, Yamamoto (2014), ...

Chiral plasma instability



最初に一様な $\mu_5 \equiv (\mu_R - \mu_L)/2$ があると仮定

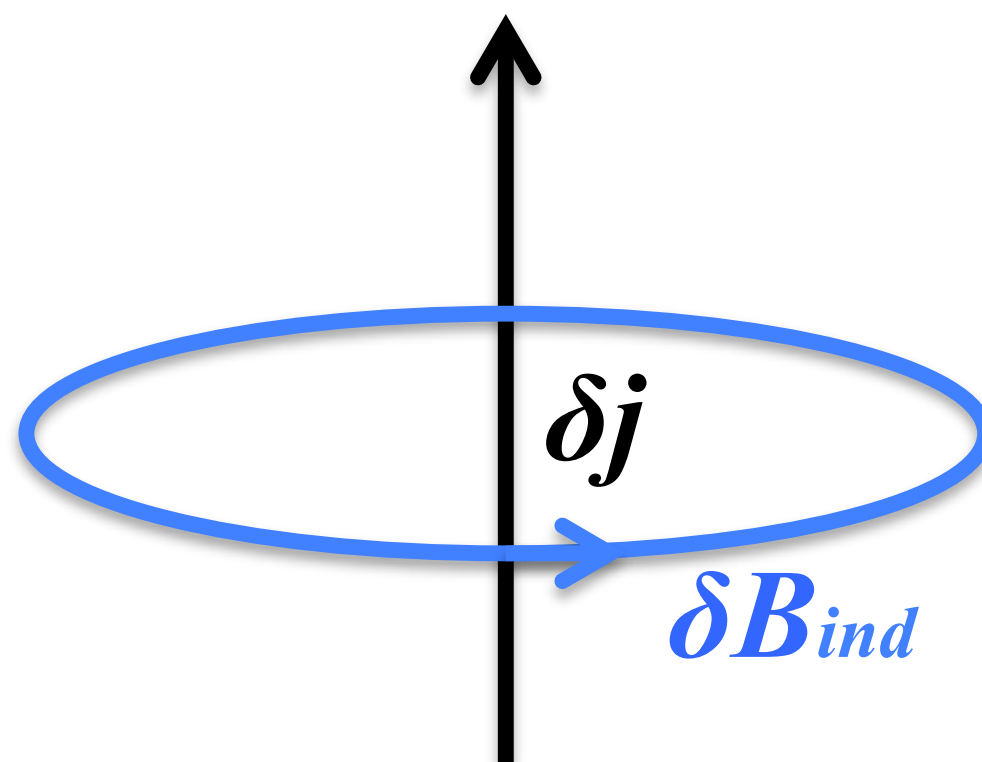
Chiral plasma instability



Chiral magnetic effect

$$\delta j \sim \mu_5 \delta B$$

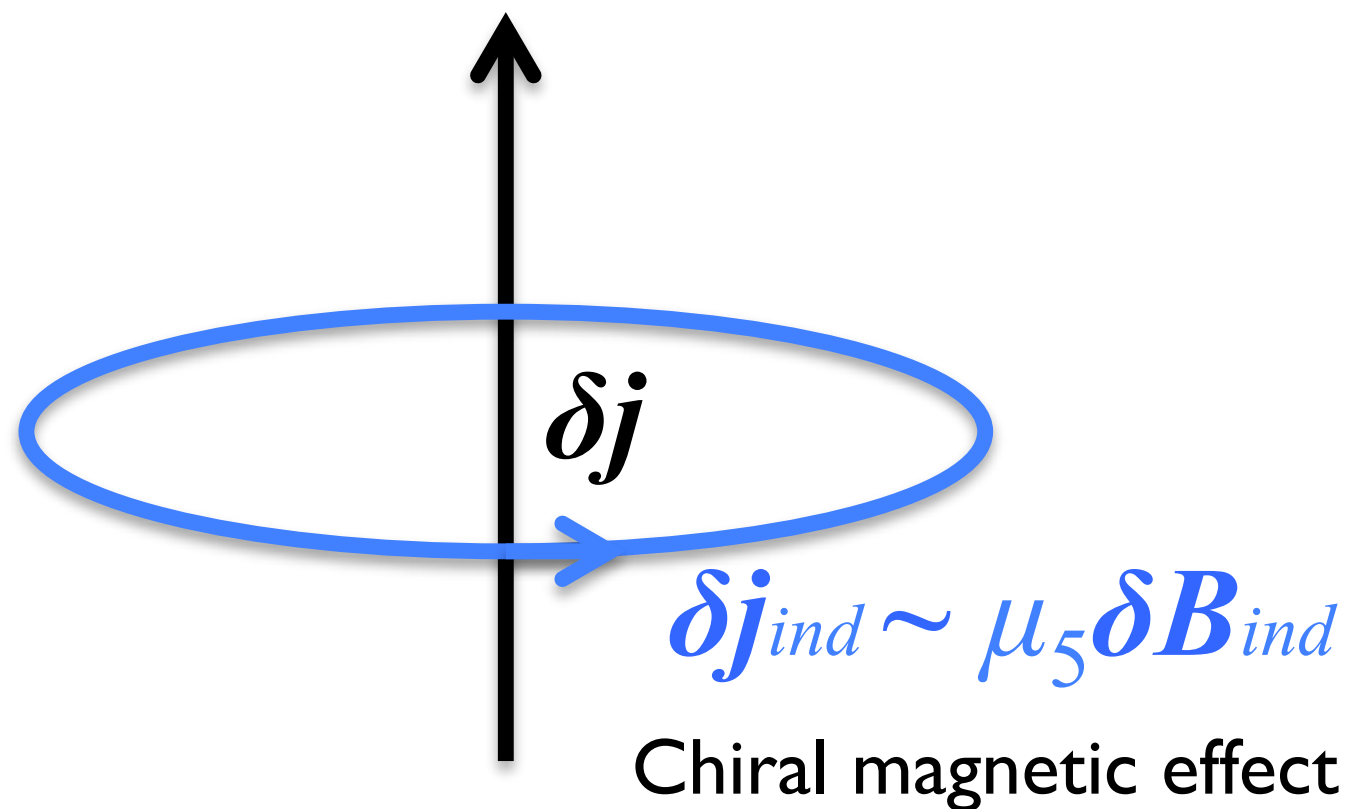
Chiral plasma instability



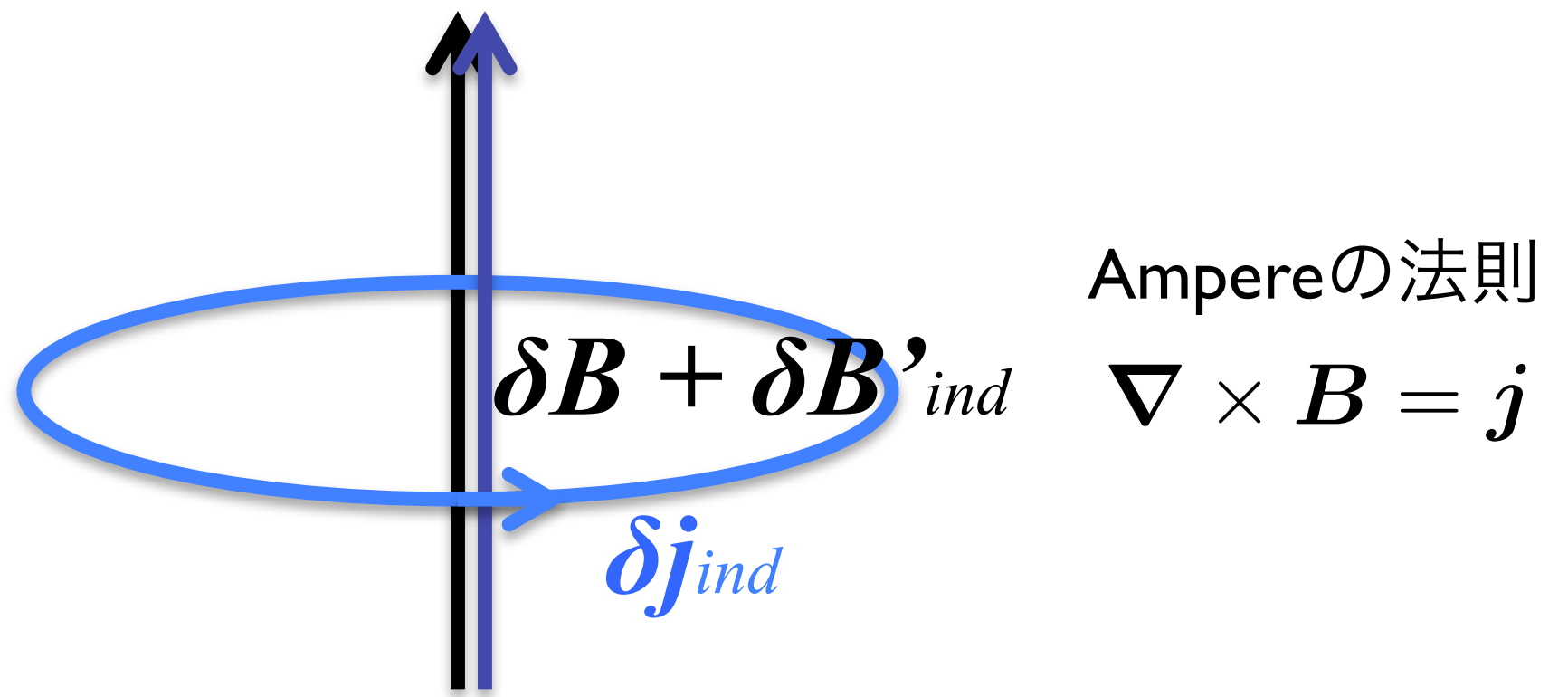
Ampereの法則

$$\nabla \times B = j$$

Chiral plasma instability

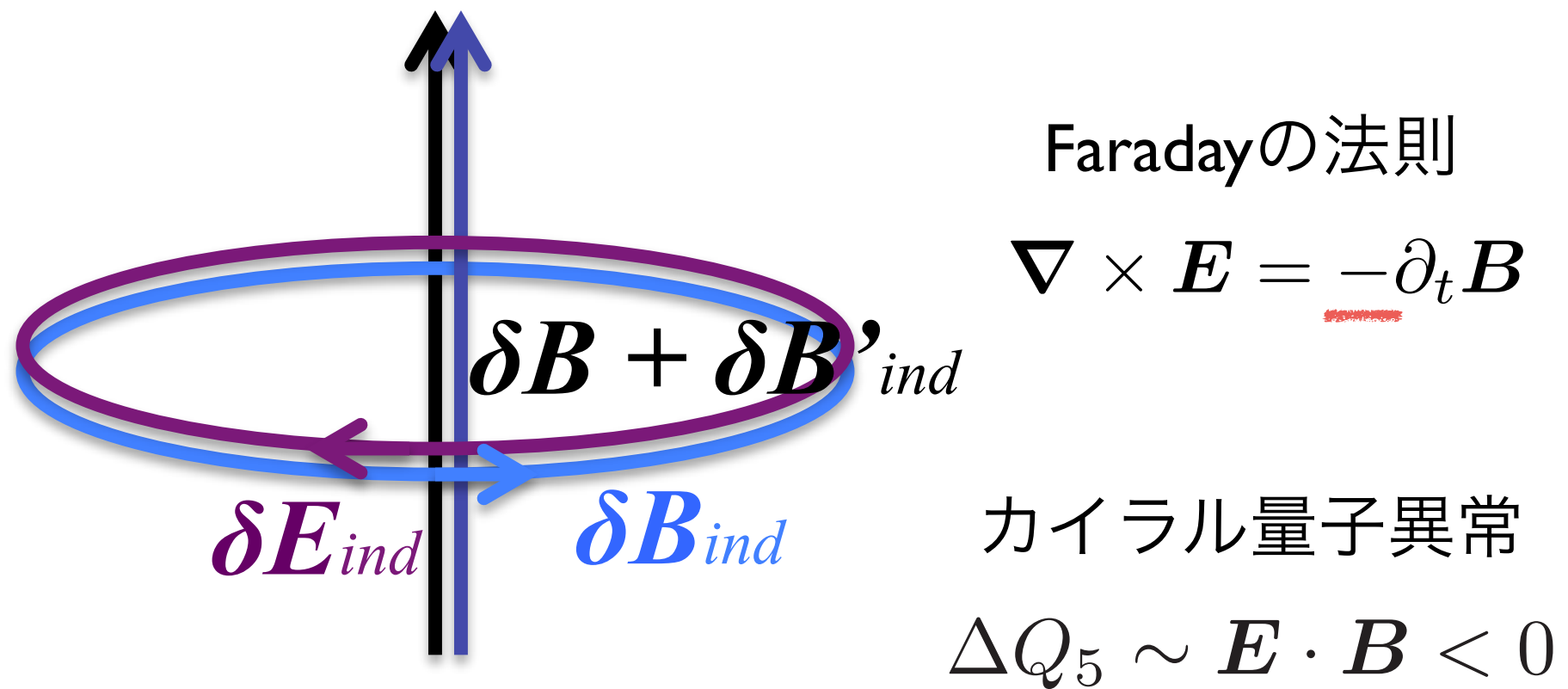


Chiral plasma instability



正のフィードバック：不安定性

Chiral plasma instability



カイラル量子異常は不安定性を緩和
(カイラル電荷 → 磁気ヘリシティ)

演習問題 5

以下のCMEを含むMaxwell方程式から、不安定モードが現れることを示せ。

$$\nabla \times \mathbf{B} = \frac{\partial \mathbf{E}}{\partial t} + \mathbf{j}_{\text{EM}}, \quad \nabla \times \mathbf{E} = -\frac{\partial \mathbf{B}}{\partial t}$$

$$\nabla \cdot \mathbf{B} = 0, \quad \nabla \cdot \mathbf{E} = 0$$

$$\mathbf{j}_{\text{EM}} = \sigma \mathbf{E} + \underline{\sigma_A \mathbf{B}}$$

物性・宇宙・原子核

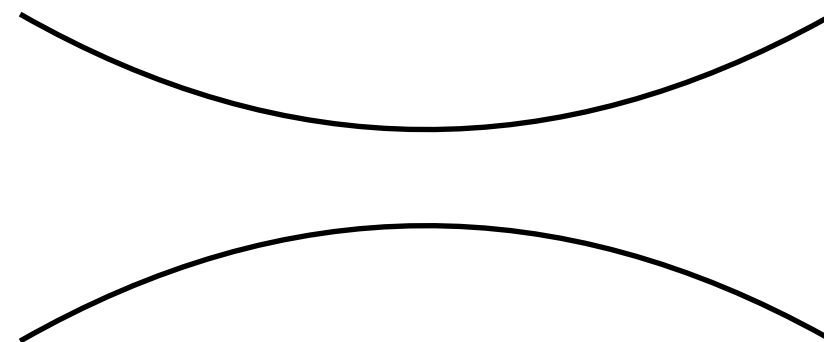
物理への応用

Weyl 半金属

(Weyl semi-metal)

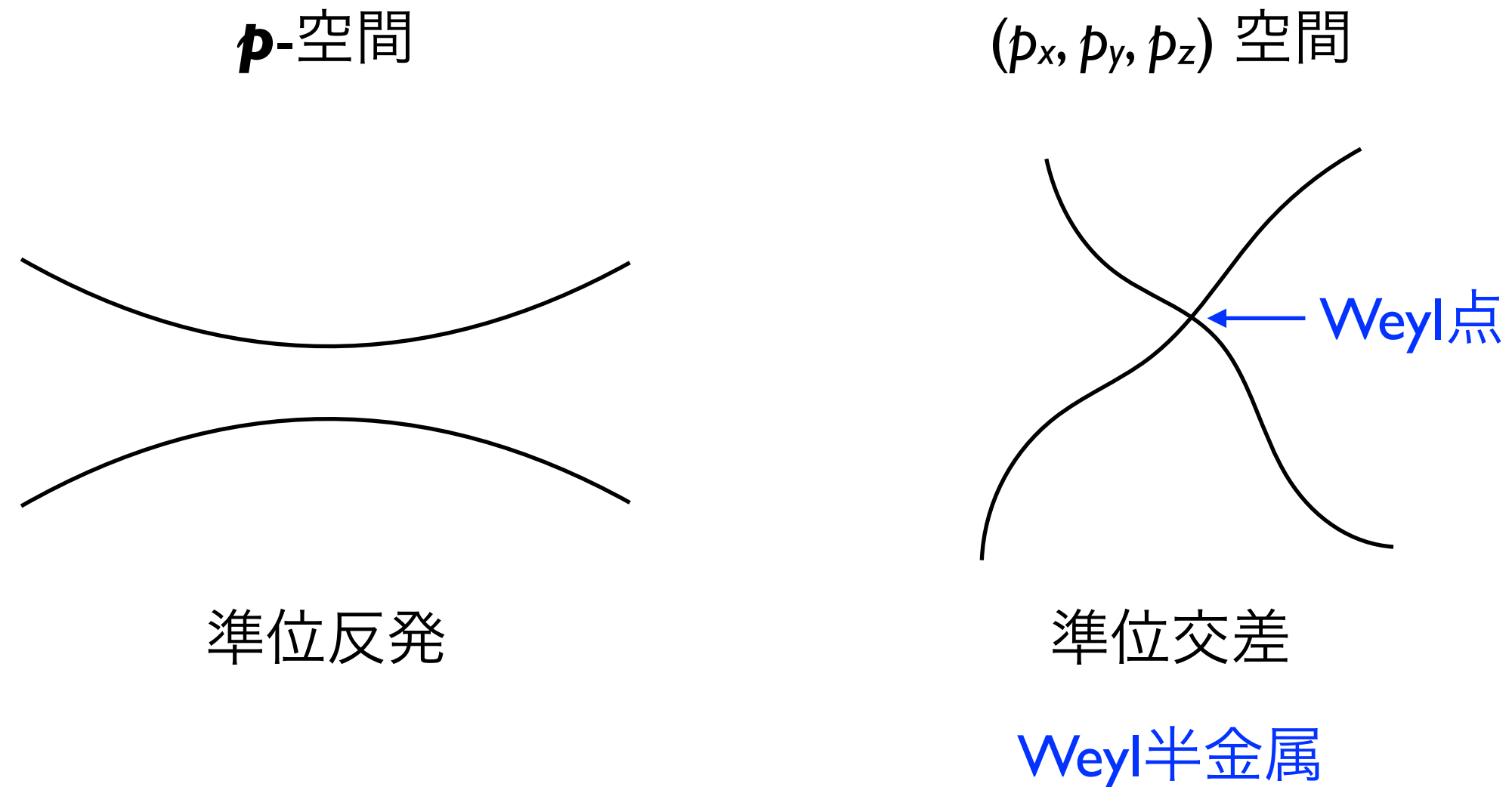
バンド構造とWeyl半金属

p -空間



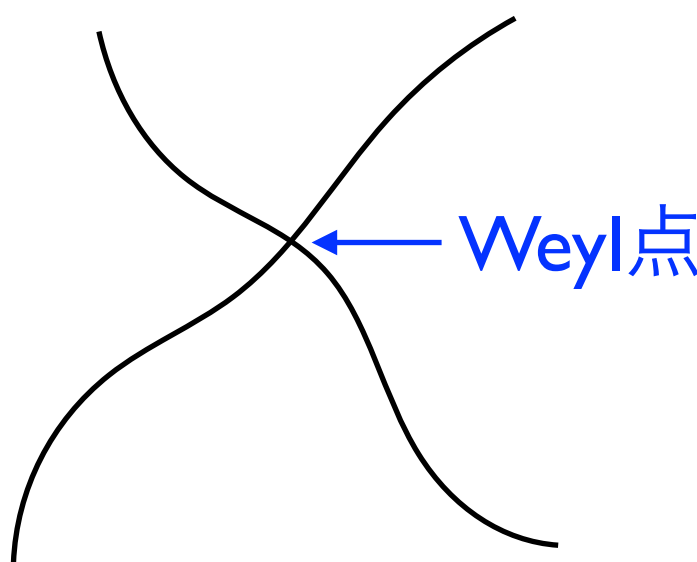
準位反発

バンド構造とWeyl半金属



バンド構造とWeyl半金属

(p_x, p_y, p_z) 空間



準位交差

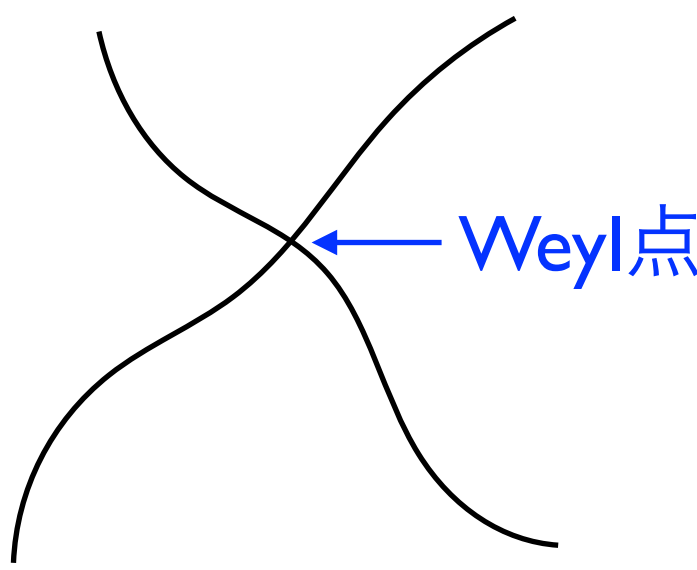
Weyl半金属

- Weyl点近傍では

$$H(\mathbf{p}) = \alpha_0(\mathbf{p})I_{2 \times 2} + \alpha_i(\mathbf{p})\sigma^i$$

バンド構造とWeyl半金属

(p_x, p_y, p_z) 空間



準位交差

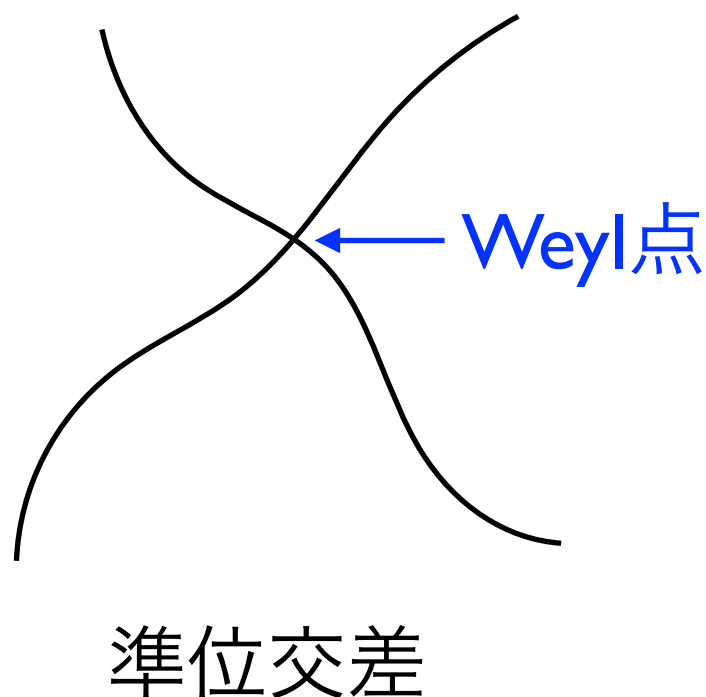
Weyl半金属

- Weyl点近傍では

$$H(\mathbf{p}) = \underbrace{\alpha_0(\mathbf{p}) I_{2 \times 2}}_{E_0 + \mathbf{v}_0 \cdot \mathbf{p}} + \underbrace{\alpha_i(\mathbf{p}) \sigma^i}_{v_{ij} p_j}$$

バンド構造とWeyl半金属

(p_x, p_y, p_z) 空間



Weyl半金属

- Weyl点近傍では

$$H(\mathbf{p}) = \underbrace{\alpha_0(\mathbf{p}) I_{2 \times 2}}_{E_0 + \mathbf{v}_0 \cdot \mathbf{p}} + \underbrace{\alpha_i(\mathbf{p}) \sigma^i}_{v_{ij} p_j}$$

$$\longrightarrow E_0 \pm v_F \boldsymbol{\sigma} \cdot \mathbf{p}$$

$$\mathbf{v}_0 = 0$$

$$v_{ij} = \pm v_F \delta_{ij}$$

Weyl fermion (chiral fermion) が創発

演習問題 6

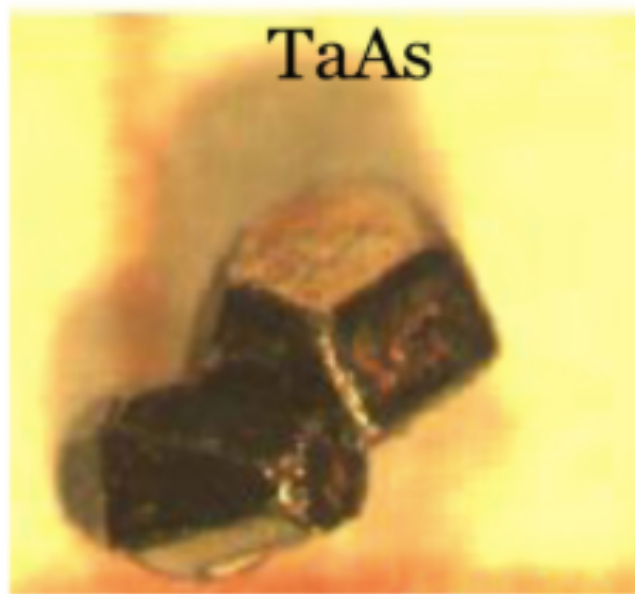
以下の2準位系のハミルトニアンにおいて、準位交差の
起きる条件を A, B, C を用いて表せ。

このことから、運動量空間 1, 2 次元では準位交差はまず
起きないが、3 次元では一般にありうることを示せ。

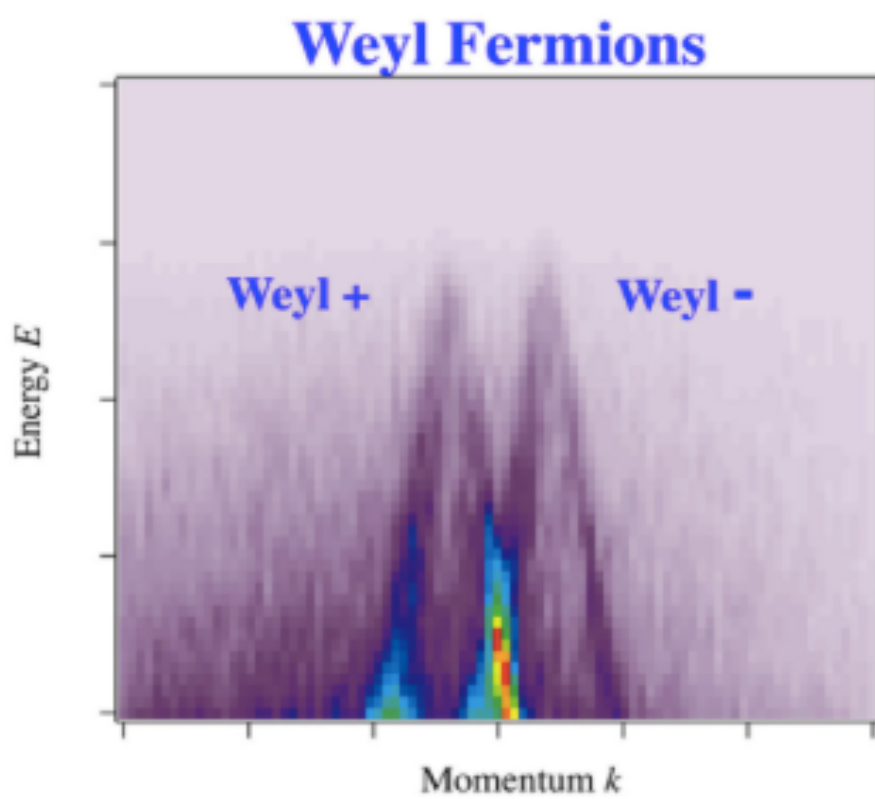
$$H = \begin{pmatrix} A & B \\ B^* & C \end{pmatrix}, \quad (A, C \in \mathbb{R}, B \in \mathbb{C})$$

Herring (1937)

Weyl 半金属



TaAs

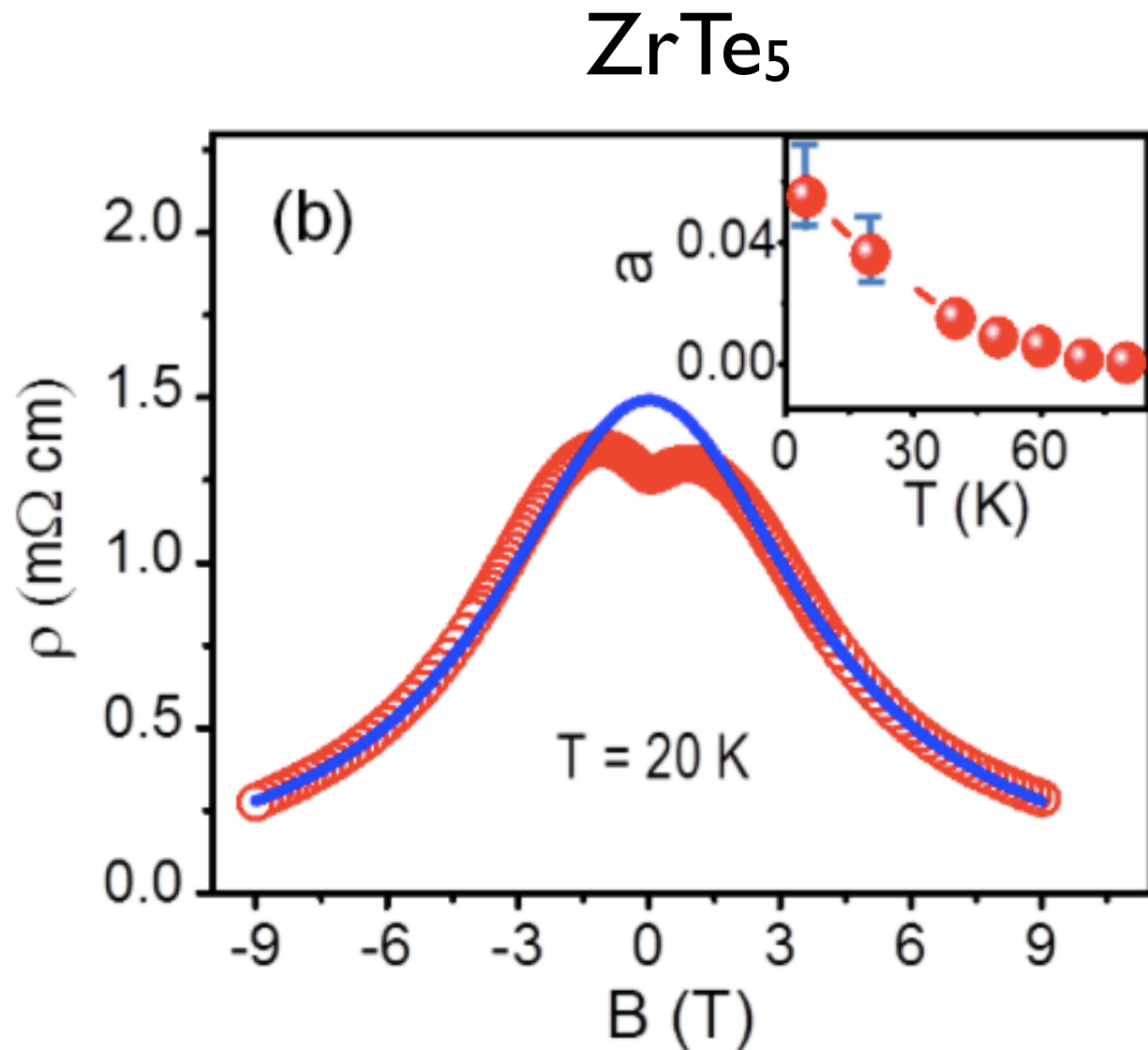


Weyl Fermions

S.-Y. Xu et al., Science (2015)

http://physics.princeton.edu/zahidhasangroup/index_WS.html

Negative magneto-resistance



Q. Li et al. [arXiv:1412.6543];
J. Xiong et al. [arXiv:1503.08179]

$$\frac{\partial n_5}{\partial t} = CE \cdot B - \frac{n_5}{\tau}$$

定常状態 : $n_5 = \tau CE \cdot B$

$$j_{\text{CME}} = C\mu_5 B = \frac{\tau}{\chi} (CB)^2 E$$

$\underline{\chi}$

σ_{CME}

$$\rho = (\sigma_{\text{Ohm}} + \sigma_{\text{CME}})^{-1}$$

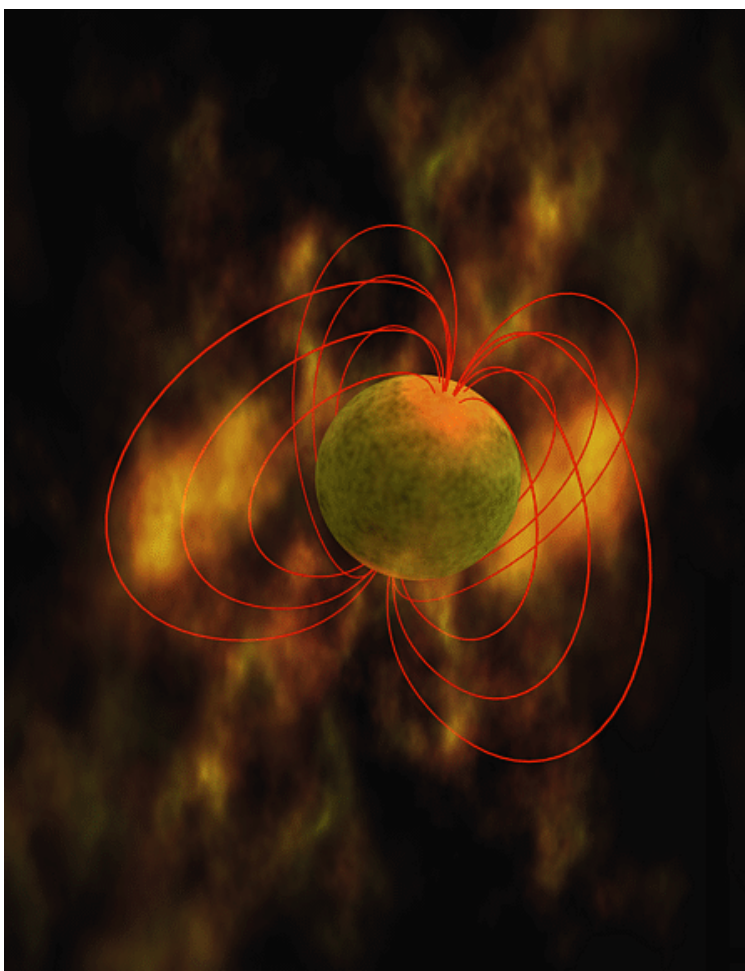
Son, Spivak (2013)

量子異常とCMEの帰結

マグニター

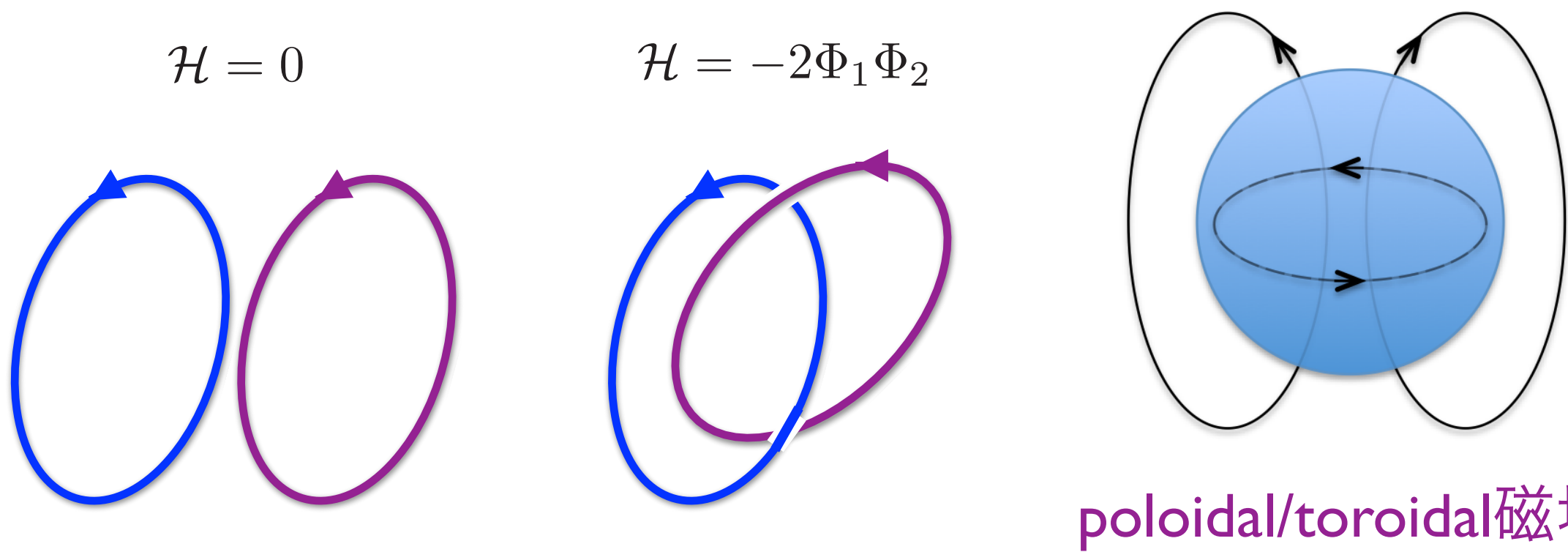
マグネター

- マグネター：「宇宙最強の磁石」
- 表面磁場は最大 10^{15} G 程度
- このような強くて安定な磁場はどのように作られるのか？



磁気ヘリシティ

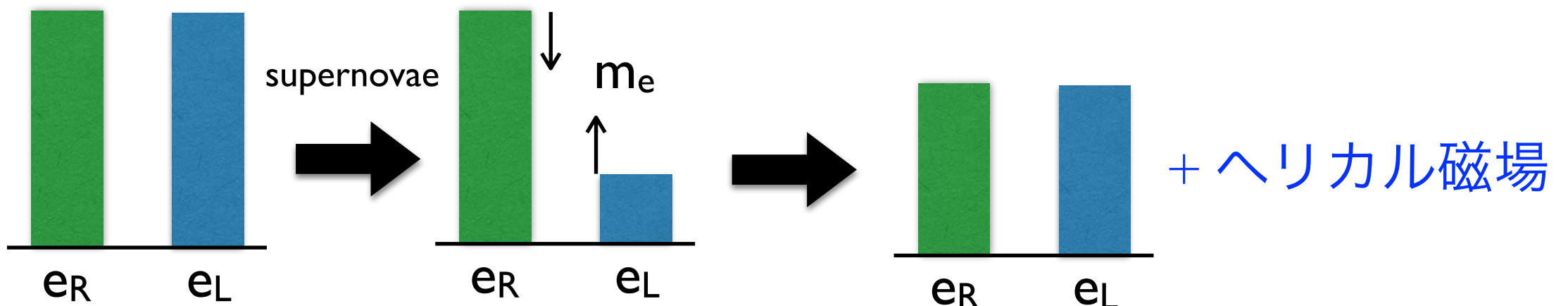
- 磁気ヘリシティ : $\mathcal{H} = \int d^3x A \cdot B$
- Gaussの絡み目数に比例 : トポロジカルな安定性
- 磁気流体力学 (MHD) の初期条件として仮定. その起源は?



CPIによるマグネタ－磁場

Ohnishi, Yamamoto (2014); Grabowska, Kaplan, Reddy (2015); Sigl, Leite (2016), ...

- 超新星における電子捕獲反応: $p + \underline{e^L} \rightarrow n + \underline{\nu_e^L}$
- 右巻き電子が多く残る → CPI により不安定 → 強磁場
- ヘリシティの保存: 電子のヘリシティ → 磁気ヘリシティ



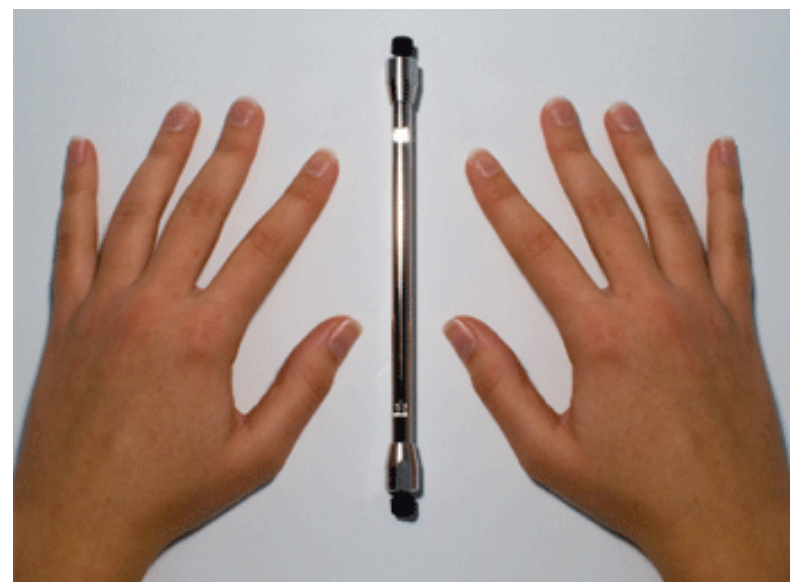
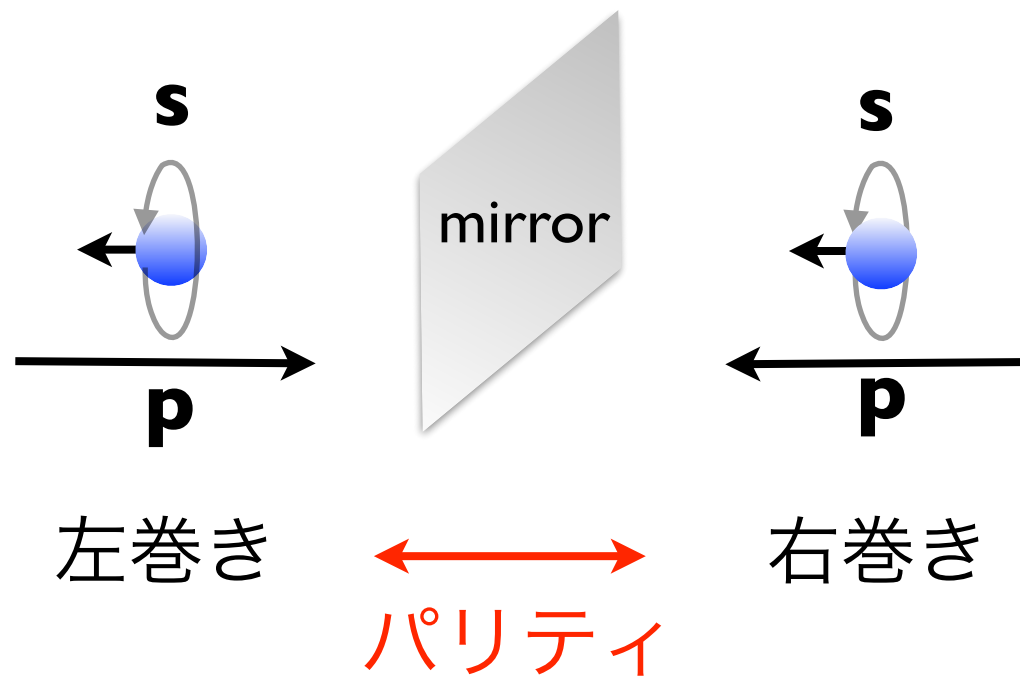
重力崩壊型
超新星爆発

超新星爆発

- 宇宙で最も大きな爆発現象の1つ
- 大質量星の中性子星への転移 & 重元素の起源
- 重力エネルギーの大部分をニュートリノが持ち運ぶ
- 従来のニュートリノ輸送理論では3次元の超新星爆発が困難

宇宙物理学の未解決問題の1つ

カイラリティ



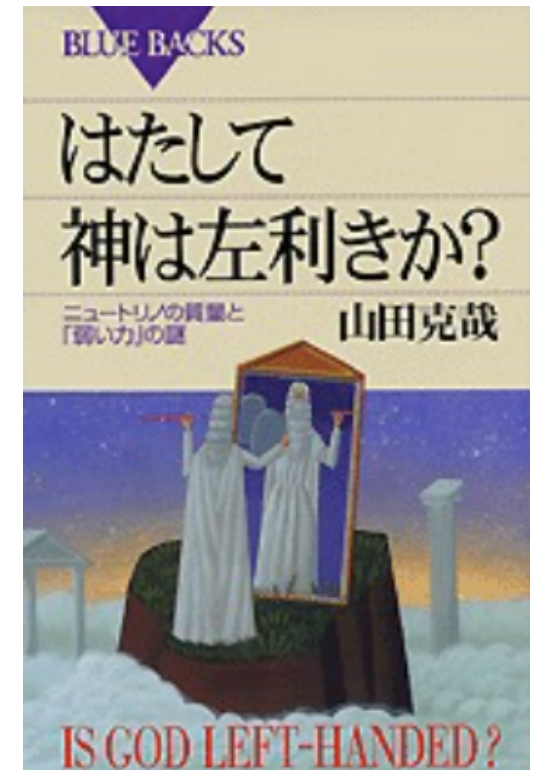
「神」は左利きか？

左巻き粒子のみに働く弱い力を除き、物理法則は左右対称



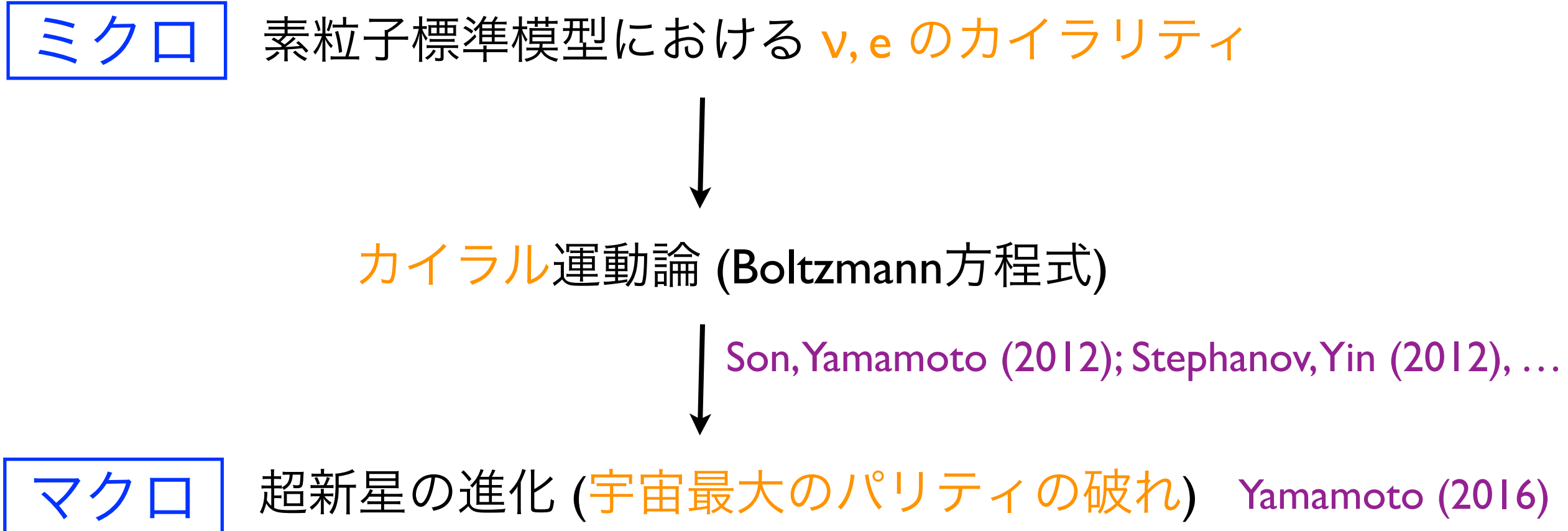
W. Pauli

“God is just a **weak left-hander**.”

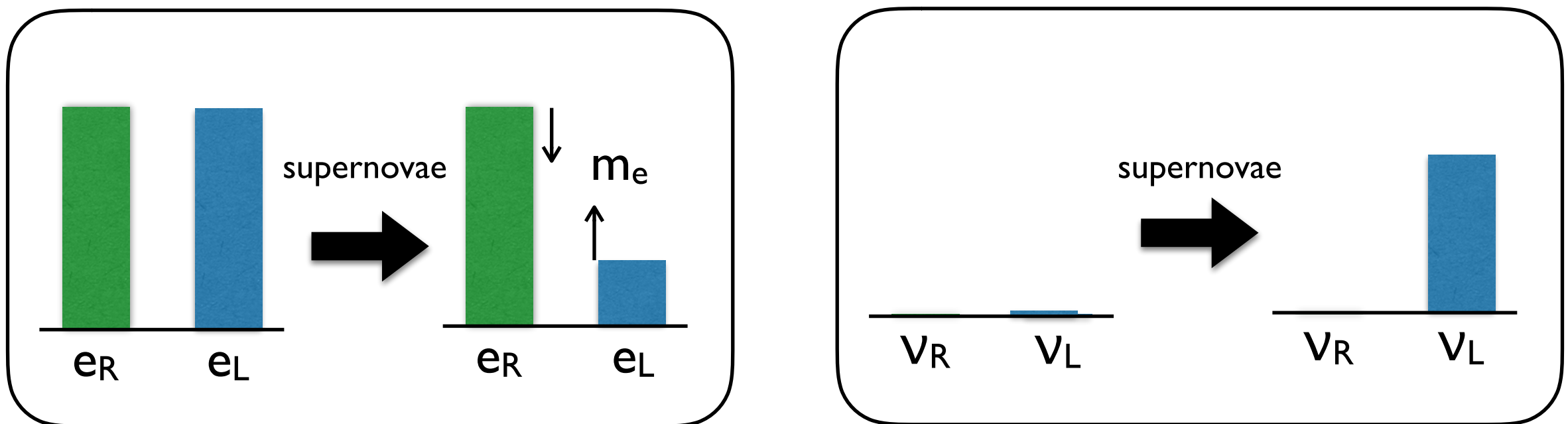
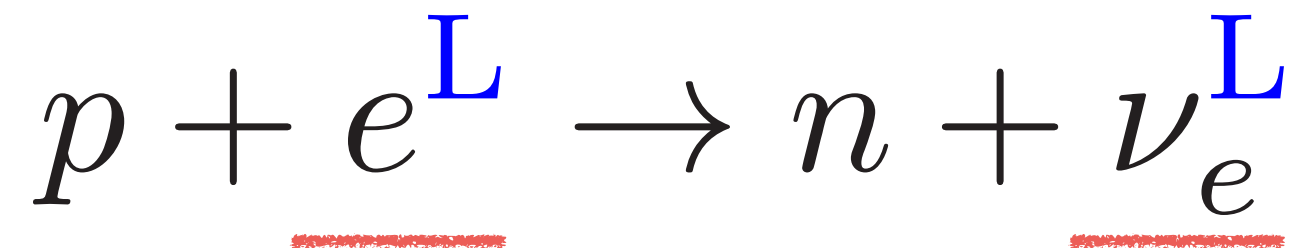


ミクロからマクロへ

ミクロなパリティの破れ → マクロな流体力学的な振舞い



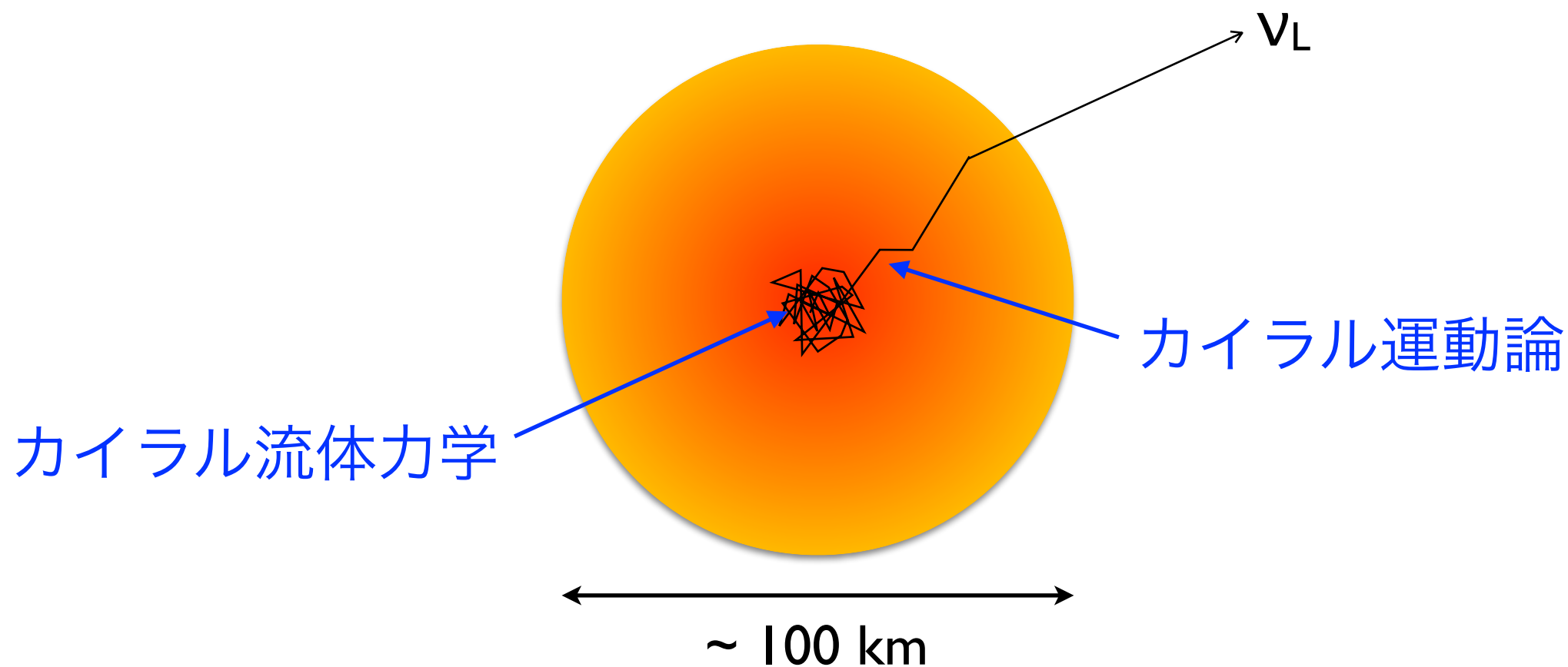
Supernova = Giant Parity Breaker



Ohnishi, Yamamoto (2014); Grabowska, Kaplan, Reddy (2015); Sigl, Leite (2016), ...

超新星のニュートリノ物質

- ニュートリノ平均自由行程 ~ コアで 1 cm ($\rho_N \sim 10^{15} \text{ g/cm}^3$).
- ニュートリノ物質 = カイラル流体 ($\mu_\nu \sim 200 \text{ MeV} \gg T \sim 10 \text{ MeV}$)
= 3次元トポロジカル物質



ニュートリノ平均自由行程

Textbook formula: $l_{\text{mfp}} = (\sigma_A n_A)^{-1}$

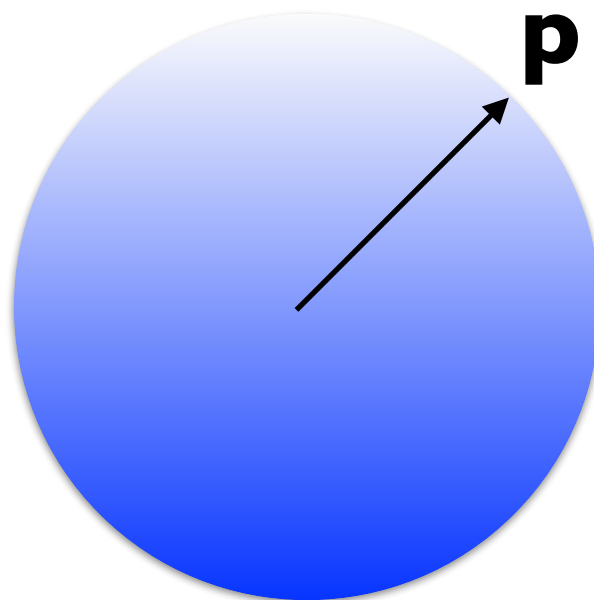
$$\sigma_A \sim G_F^2 E_\nu^2 A^2 \quad n_A = \rho / (A m_N)$$

$$E_\nu \simeq \mu_e = (3\pi^2 \rho Y_e / m_N)^{1/3}$$

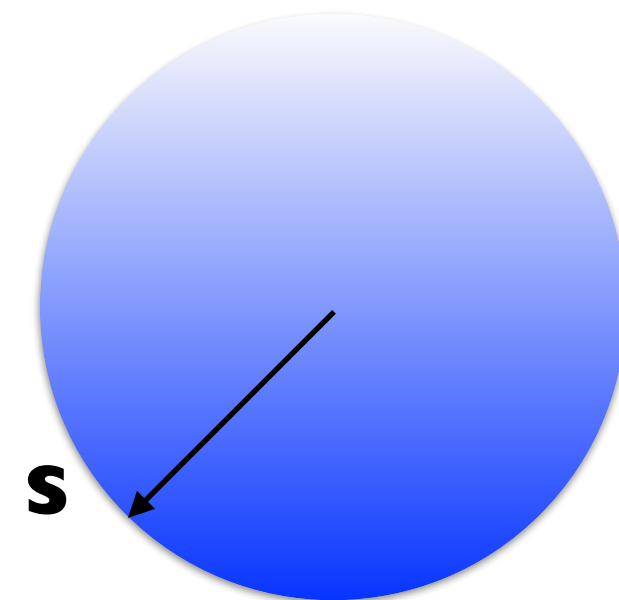
$$l_{\text{mfp}} \sim 10^7 \text{ cm} \left(\frac{\rho}{10^{10} \text{ g/cm}^3} \right)^{-\frac{5}{3}} \left(\frac{A}{56} \right)^{-1} \left(\frac{Y_e}{26/56} \right)^{-\frac{2}{3}}$$

カイラリティとトポロジー

左巻きフェルミオン



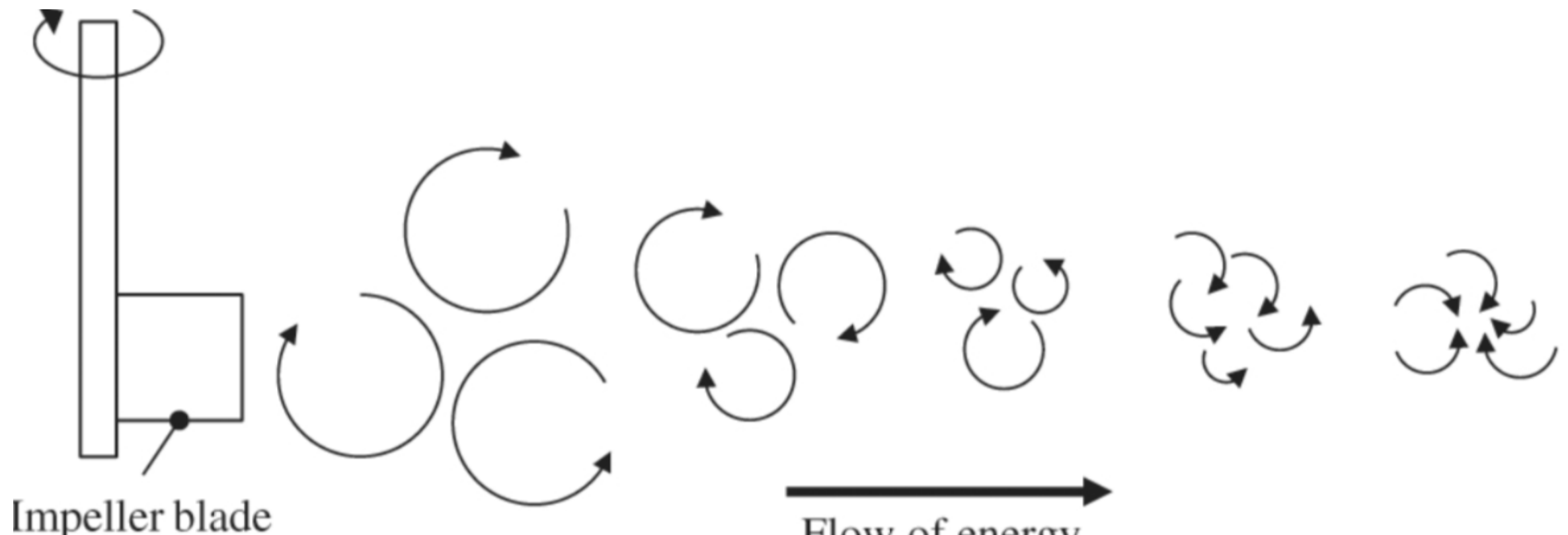
運動量空間



スピン空間

S^2 (運動量空間) から S^2 (スピン空間) へのmapping: **巻き数 -1**
ニュートリノ物質 = 3次元トポジカル物質

通常の乱流現象

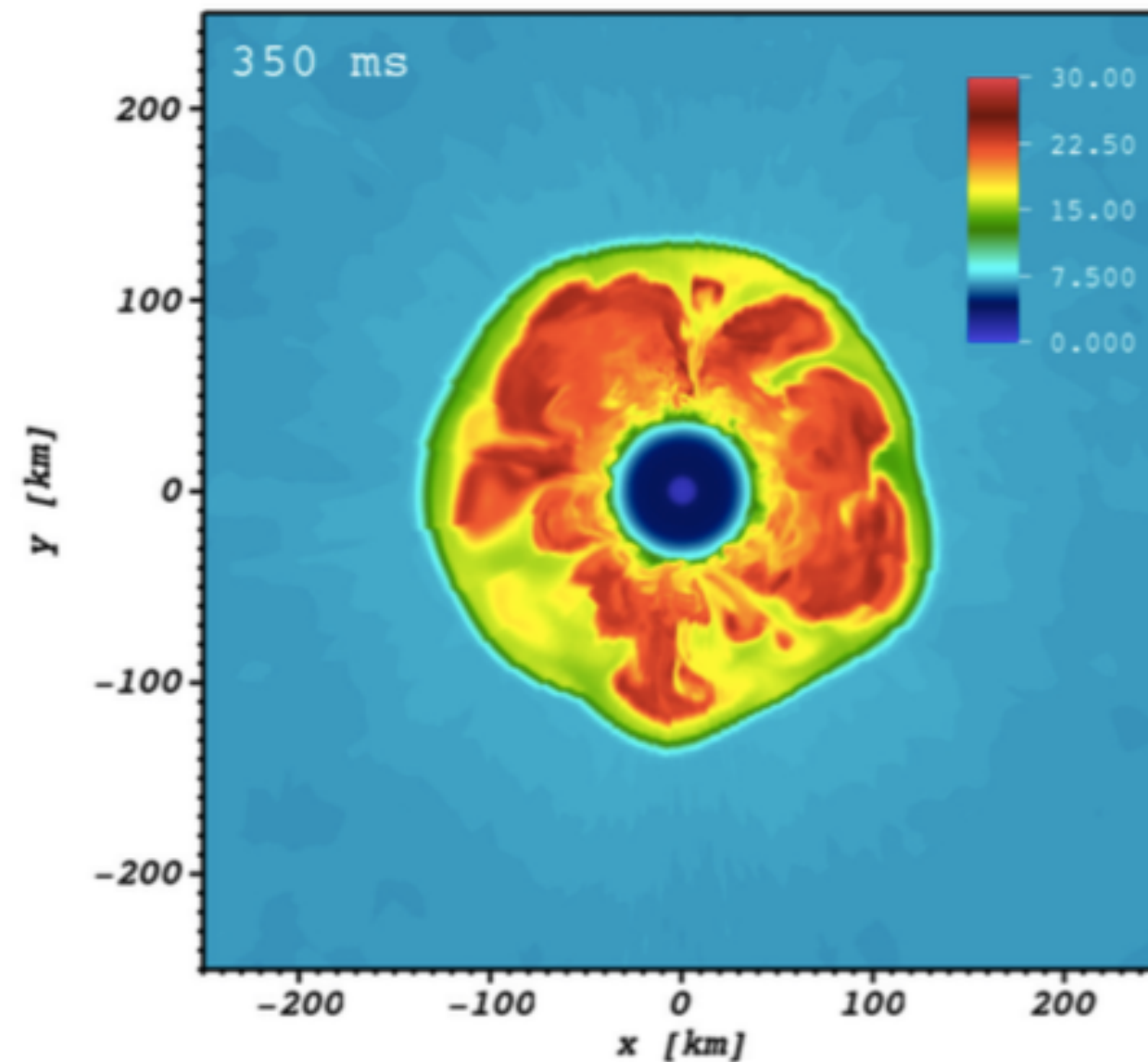


羽根車

<https://doi.org/10.1515/htmp-2016-0043>

- 「構造」は小さくなつて最終的に散逸（順力スケード）
- 電磁流体の磁場・流体の構造についても同様

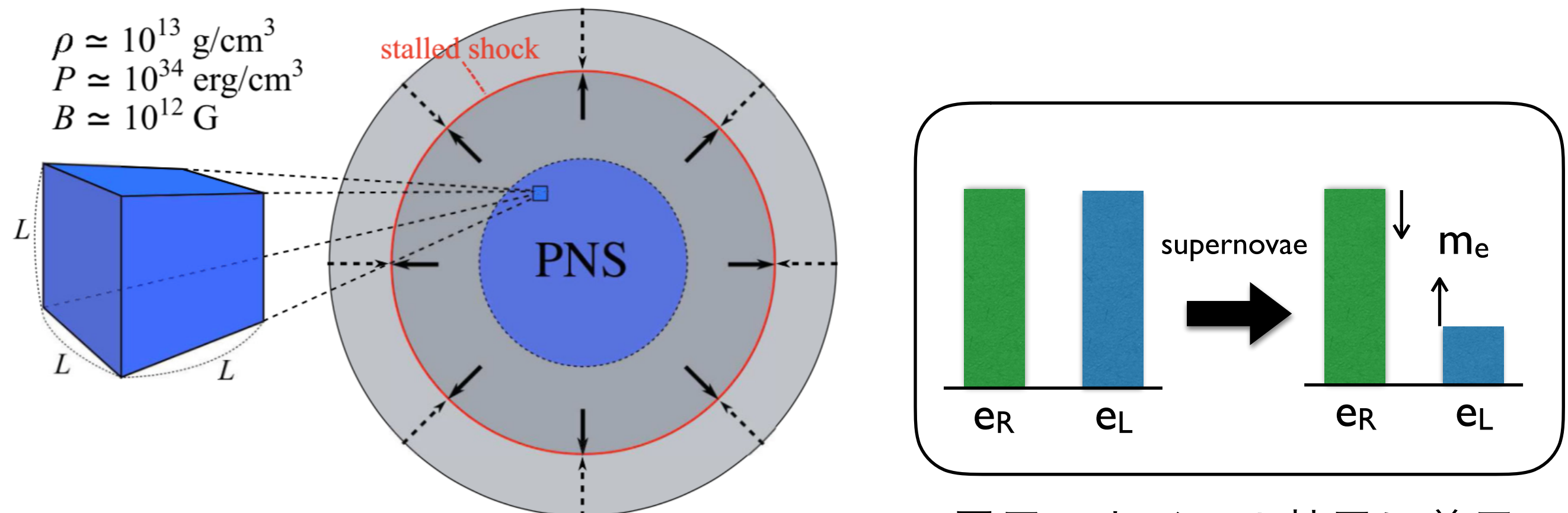
乱流力スケードと爆発



従来の結果：
順力スケード
→ 爆発しにくい

F. Hanke (2014)

原始中性子星



電子のカイラル効果に着目
(ニュートリノは future work)

カイラル磁気流体力学

Masada, Kotake, Takiwaki, Yamamoto, arXiv:1805.10419

- コアにおけるカイラル磁気流体方程式 (p, e_R, e_L):

$$\partial_t \rho + \nabla \cdot (\rho \mathbf{v}) = 0$$

$$\partial_t (\rho \mathbf{v}) + \nabla \cdot (\rho \mathbf{v} \mathbf{v}) = -\nabla P + \mathbf{J} \times \mathbf{B} + \text{(散逸項)}$$

$$\partial_t \mathbf{B} = \nabla \times (\mathbf{v} \times \mathbf{B}) + \eta \nabla^2 \mathbf{B} + \eta \nabla \times \frac{(\xi_B \mathbf{B})}{\text{CME}}$$

$$\partial_t n_5 = \frac{\eta}{2\pi^2} (\nabla \times \mathbf{B} - \xi_B \mathbf{B}) \cdot \mathbf{B}$$

量子異常

- Setup ($100 \text{ MeV} = 1$):

$$\rho_0 = 5.0, P_0 = 1.0, M = 10.0, \xi_{B0} = 4 \times 10^{-3}, \eta = 100$$

(原始中性子星コアを想定)

Movies of 3D simulations are available at:

<http://www.kusastro.kyoto-u.ac.jp/~masada/movie.mp4>

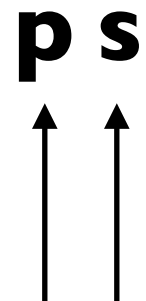
Masada, Kotake, Takiwaki, Yamamoto, arXiv:1805.10419

- カイラル物質では逆力スケード
- ミクロな chirality がマクロな物理現象を変更

さらなる拡張・応用

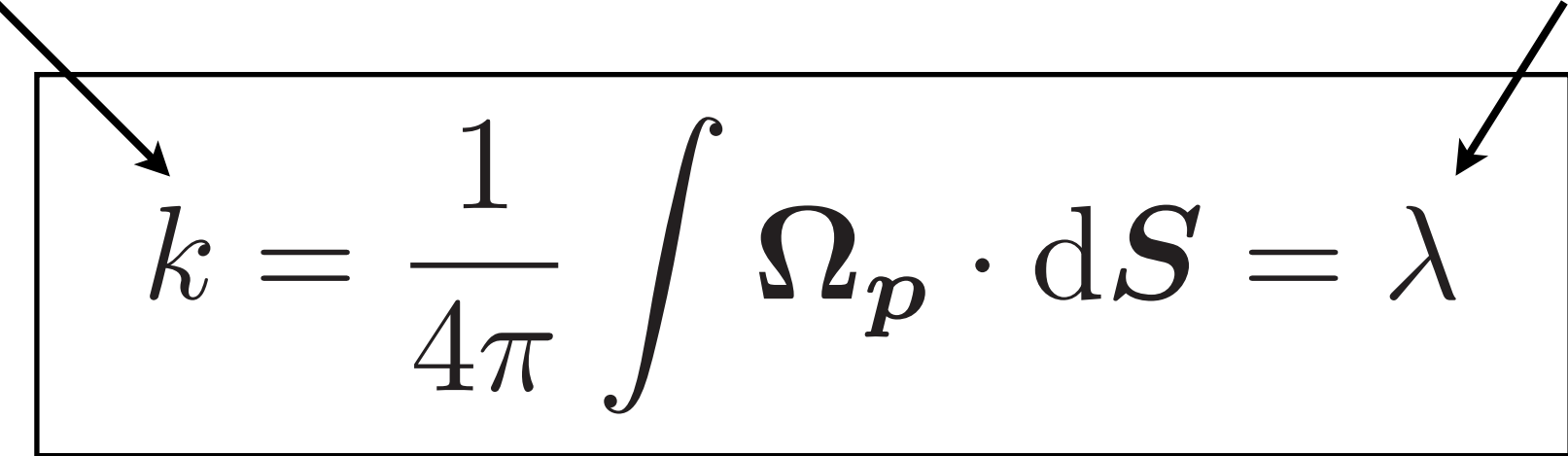
ヘリシティと Berry 曲率

- スピン・運動量方向の固定 \Leftrightarrow ヘリシティ



- カイラルフェルミオン ($\lambda = \pm 1/2$)
- フォトン ($\lambda = \pm 1$)
- グラビトン ($\lambda = \pm 2$)
- Berry 曲率: $\Omega_p = \lambda \frac{\hat{p}}{|p|^2}$

一般公式

モノポール電荷  ヘリシティ

$$k = \frac{1}{4\pi} \int \Omega_p \cdot dS = \lambda$$

フォトンやグラビトンについても成立

運動方程式

- 半古典的作用：

$$S = \int dt (p \cdot \dot{x} - \mathbf{a}_p \cdot \dot{\mathbf{p}} - \epsilon_p), \quad \Omega_p \equiv \nabla_{\mathbf{p}} \times \mathbf{a}_p = \lambda \frac{\hat{\mathbf{p}}}{|\mathbf{p}|^2}$$

- 運動方程式： $\dot{x} = \hat{p} + \dot{\mathbf{p}} \times \Omega_p$

$$\dot{\mathbf{p}} = -\frac{\partial \epsilon_p}{\partial x} + (\text{external fields})$$

→ フォトンやグラビトンのトポロジカル輸送現象

Gravitational Hall Effect

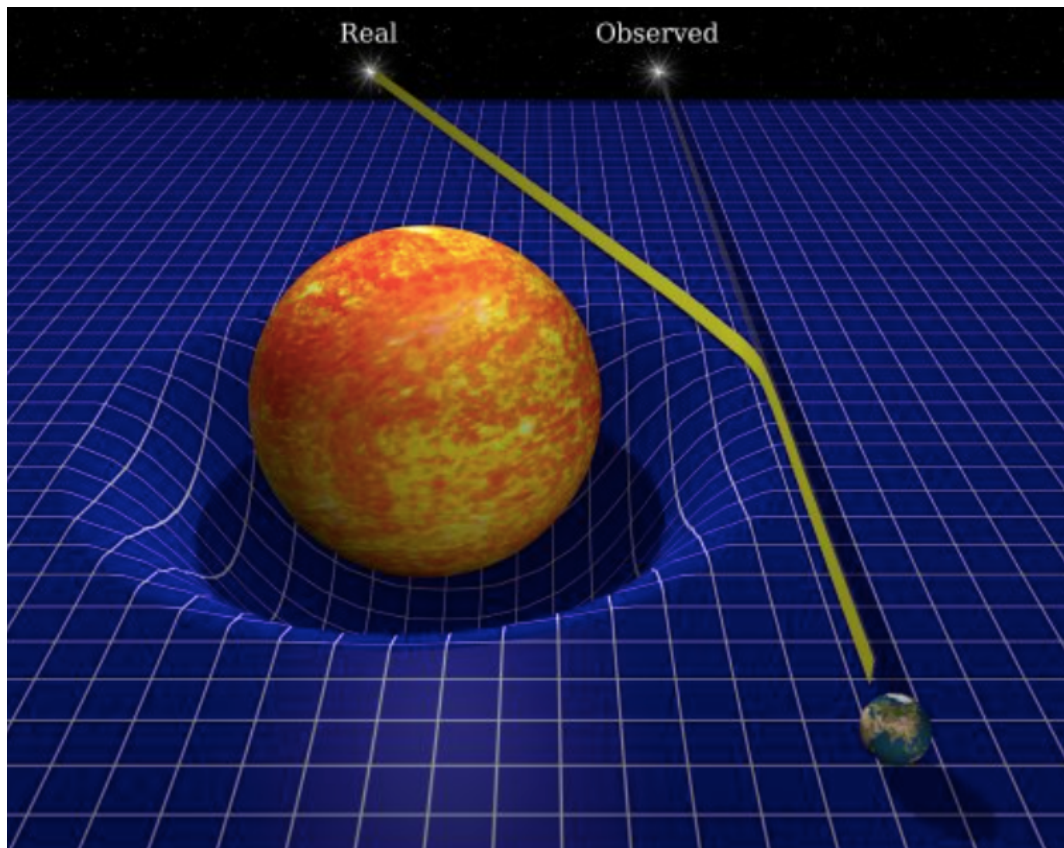
Yamamoto, arXiv:1708.03113

重力レンズ効果

- 弱重力中の計量 : $ds^2 = \left(1 + \frac{2\phi}{c^2}\right) c^2 dt^2 - \left(1 - \frac{2\phi}{c^2}\right) (dx)^2$
- 光の速度 : $c' \equiv \frac{|dx|}{dt} \approx c \left(1 + \frac{2\phi}{c^2}\right)$
- 空間の“屈折率” : $n = \frac{c}{c'} \approx 1 - \frac{2\phi}{c^2}$

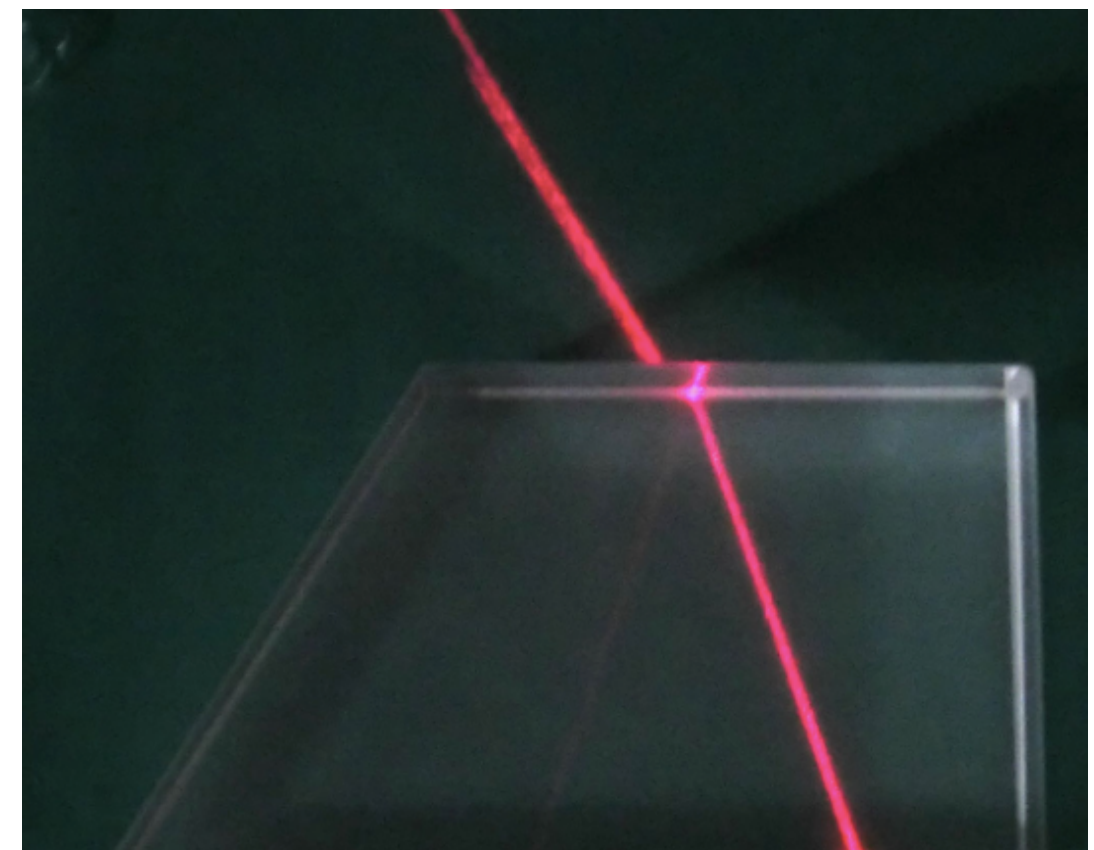
see, e.g., Carroll, “Spacetime and Geometry”

“Gravity/optics correspondence”



<http://davidjarvis.ca/dave/gallery/>

~



[https://blog-imgs-50-origin.fc2.com/t/o/v/
tovu3110/CIMG6471.jpg](https://blog-imgs-50-origin.fc2.com/t/o/v/tovu3110/CIMG6471.jpg)

Gravity ~ Optical medium

幾何光学

- 古典的作用 (屈折率 n) :

$$S = \int dt (p \cdot \dot{x} - \epsilon_p), \quad \epsilon_p = \frac{pc}{n}$$

幾何光学

- 古典的作用 (屈折率 n) :

$$S = \int dt (p \cdot \dot{x} - \epsilon_p), \quad \epsilon_p = \frac{pc}{n}$$

- 運動方程式 :

$$\dot{x} = \frac{c}{n} \hat{p}$$

$$\dot{p} = -\frac{2p}{c} \nabla \phi \quad \text{重力レンズ効果}$$

重力レンズの量子補正

- 半古典的作用：

$$S = \int dt \left(p \cdot \dot{x} - \mathbf{a}_p \cdot \dot{\mathbf{p}} - \epsilon_p \right), \quad \epsilon_p = \frac{pc}{n}$$

重力レンズの量子補正

- 半古典的作用：

$$S = \int dt \left(p \cdot \dot{x} - \mathbf{a}_p \cdot \dot{\mathbf{p}} - \epsilon_p \right), \quad \epsilon_p = \frac{pc}{n}$$

- 運動方程式：

$$\dot{x} = \frac{c}{n} \hat{\mathbf{p}} + \dot{\mathbf{p}} \times \boldsymbol{\Omega}_p$$

$$\dot{\mathbf{p}} = -\frac{2p}{c} \nabla \phi$$

重力レンズの量子補正

- 半古典的作用：

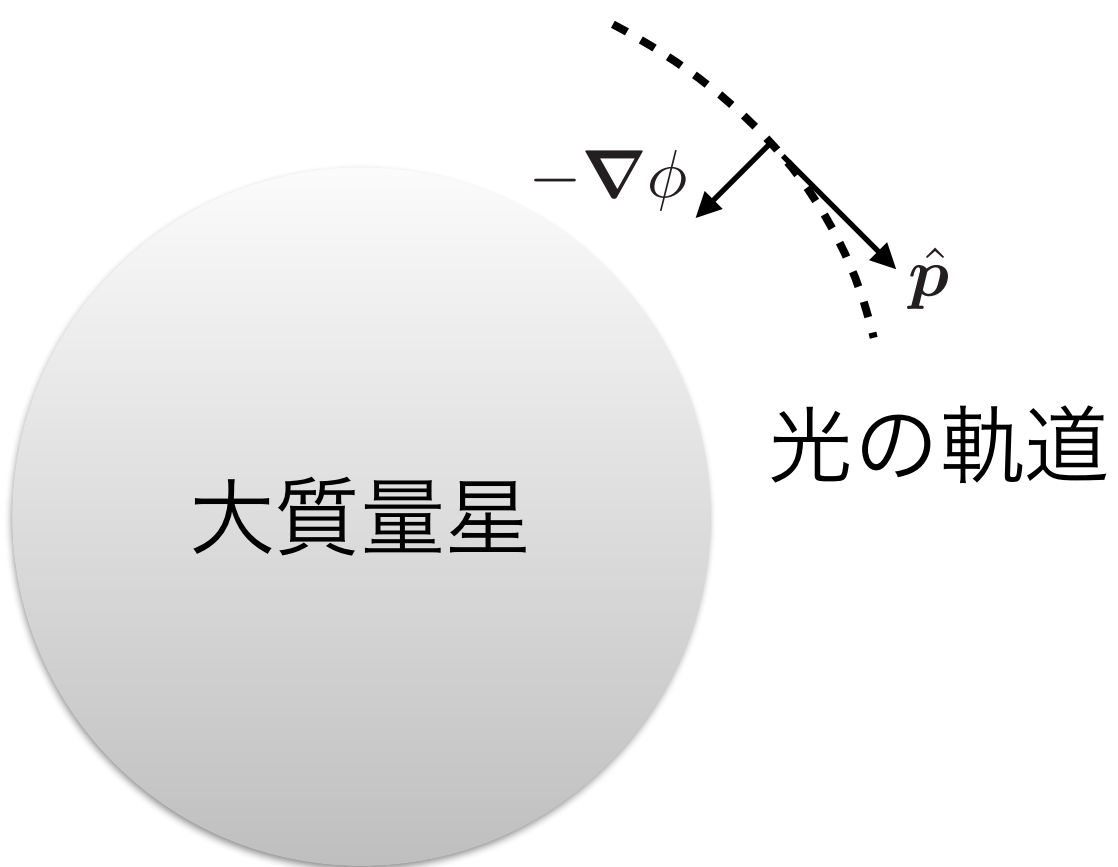
$$S = \int dt (p \cdot \dot{x} - \mathbf{a}_p \cdot \dot{\mathbf{p}} - \epsilon_p), \quad \epsilon_p = \frac{pc}{n}$$

- 運動方程式：

$$\begin{aligned} \dot{x} &= \frac{c}{n} \hat{\mathbf{p}} + \dot{\mathbf{p}} \times \boldsymbol{\Omega}_p \\ \dot{\mathbf{p}} &= -\frac{2p}{c} \nabla \phi \end{aligned} \longrightarrow \dot{x} = \frac{c}{n} \hat{\mathbf{p}} - \frac{2\lambda}{c} \nabla \phi \times \frac{\hat{\mathbf{p}}}{p}$$

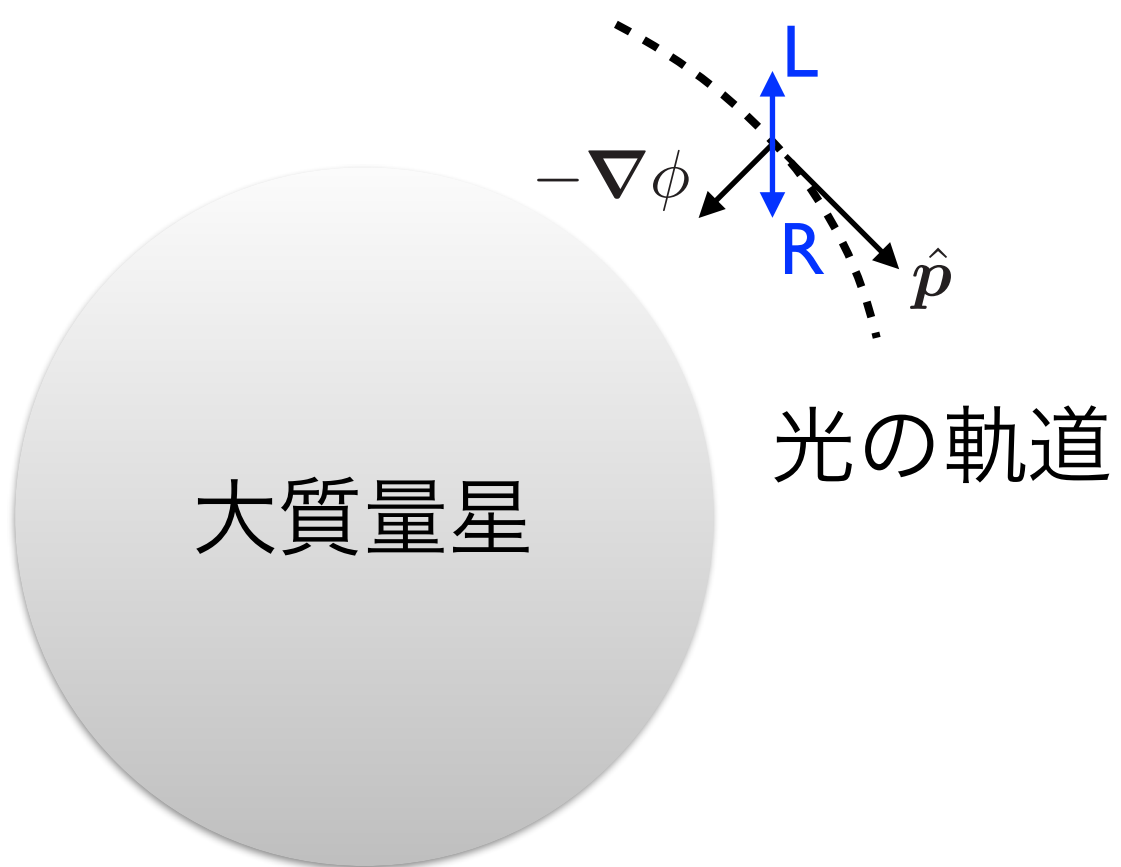
量子効果
重力

Gravitational Hall effect



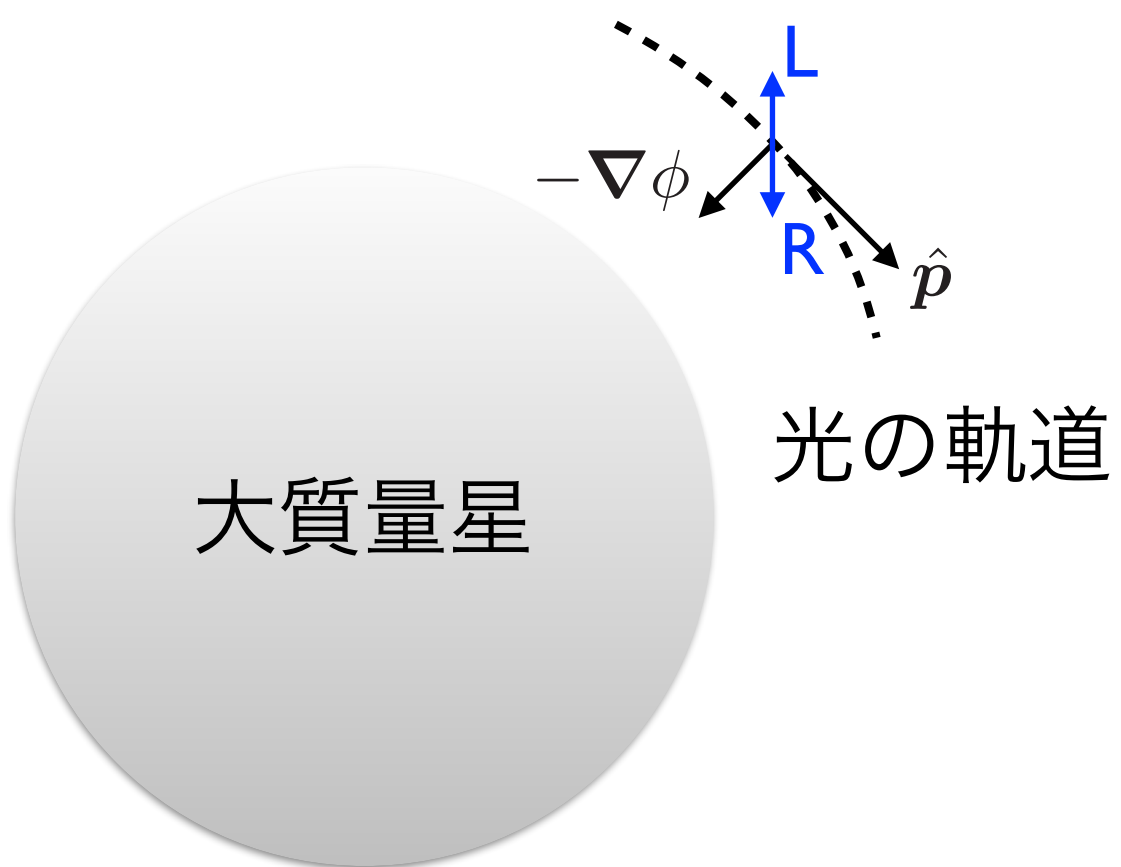
Gravitational Hall effect

$$\dot{x} = \frac{c}{n} \hat{\mathbf{p}} - \frac{2\lambda}{c} \nabla \phi \times \frac{\hat{\mathbf{p}}}{p}$$



Gravitational Hall effect

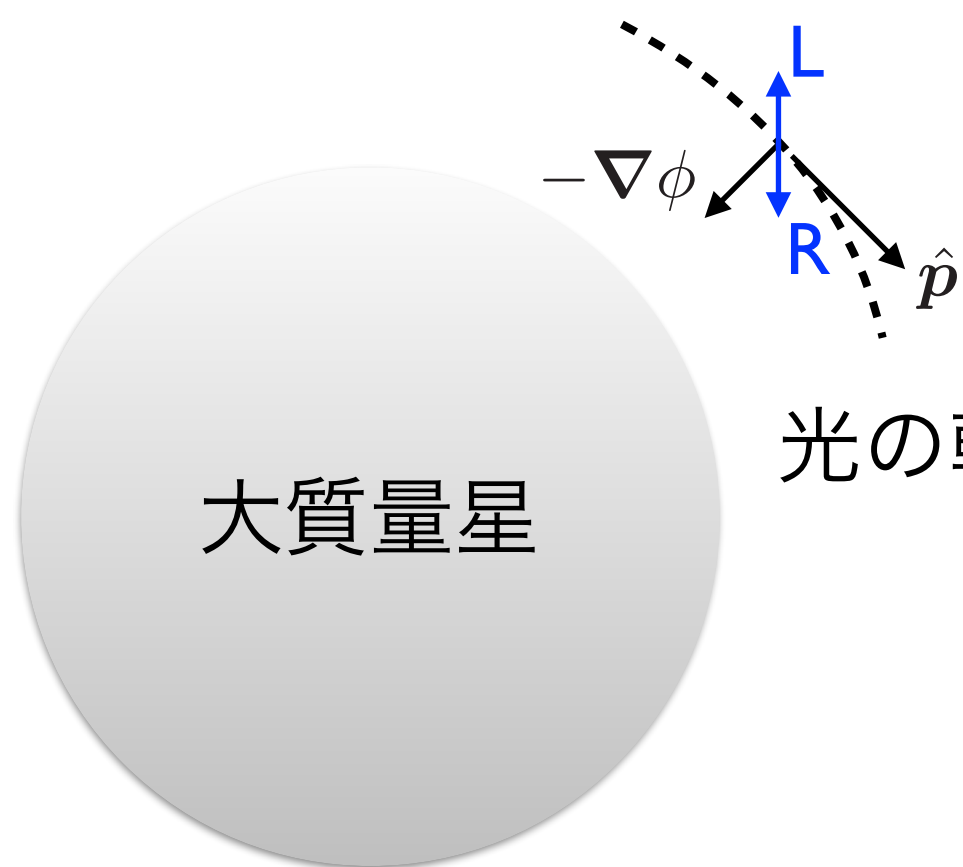
$$\dot{x} = \frac{c}{n} \hat{\mathbf{p}} - \frac{2\lambda}{c} \nabla \phi \times \frac{\hat{\mathbf{p}}}{p}$$



重力波は2倍の大きさ = 重力の量子効果

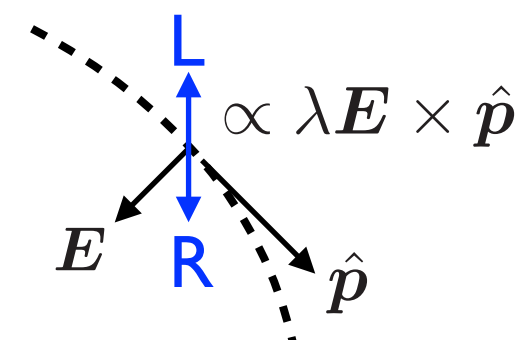
Gravitational Hall effect

$$\dot{x} = \frac{c}{n} \hat{p} - \frac{2\lambda}{c} \nabla \phi \times \frac{\hat{p}}{p}$$



光の軌道

cf) 異常 Hall 効果



電場中の chiral fermion

重力波は2倍の大きさ = 重力の量子効果

Photonic Chiral Vortical Effect

Yamamoto arXiv:1702.08886; see also Avkhadiev, Sadofyev, arXiv:1702.07340

回転するフォトン多体系

- 回転系での運動方程式：

$$\dot{\boldsymbol{x}} = \hat{\boldsymbol{p}} + \dot{\boldsymbol{p}} \times \boldsymbol{\Omega}_p$$

$$\dot{\boldsymbol{p}} = 2|\boldsymbol{p}|\dot{\boldsymbol{x}} \times \boldsymbol{\omega} + O(\boldsymbol{\omega}^2)$$

Coriolis 力

回転するフォトン多体系

- 回転系での運動方程式：

$$\begin{aligned}\dot{x} &= \hat{p} + \dot{\mathbf{p}} \times \boldsymbol{\Omega}_p & \longrightarrow \quad \sqrt{G}\dot{x} &= \hat{p} + 2\omega|\mathbf{p}|(\hat{p} \cdot \boldsymbol{\Omega}_p) \\ \dot{\mathbf{p}} &= 2|\mathbf{p}|\dot{x} \times \boldsymbol{\omega} + O(\omega^2) & G &= (1 + 2|\mathbf{p}|\boldsymbol{\omega} \cdot \boldsymbol{\Omega}_p)^2\end{aligned}$$

Coriolis 力

回転するフォトン多体系

- 回転系での運動方程式：

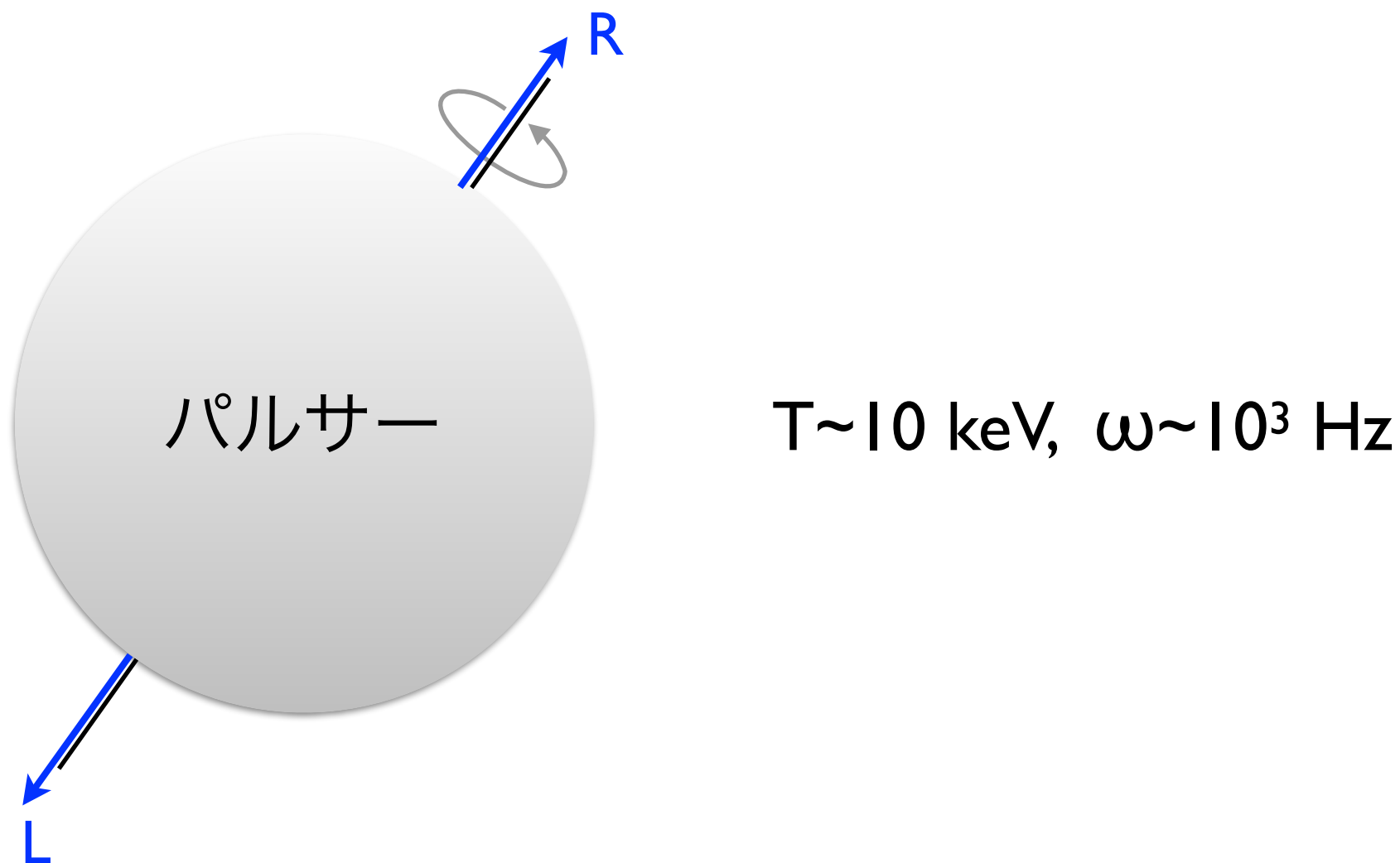
$$\begin{aligned}\dot{x} &= \hat{p} + \dot{\mathbf{p}} \times \boldsymbol{\Omega}_p & \longrightarrow \quad \sqrt{G}\dot{x} &= \hat{p} + 2\omega|\mathbf{p}|(\hat{p} \cdot \boldsymbol{\Omega}_p) \\ \dot{\mathbf{p}} &= 2|\mathbf{p}|\dot{x} \times \boldsymbol{\omega} + O(\omega^2) & G &= (1 + 2|\mathbf{p}|\boldsymbol{\omega} \cdot \boldsymbol{\Omega}_p)^2\end{aligned}$$

Coriolis 力

- Photonic chiral vortical effect:

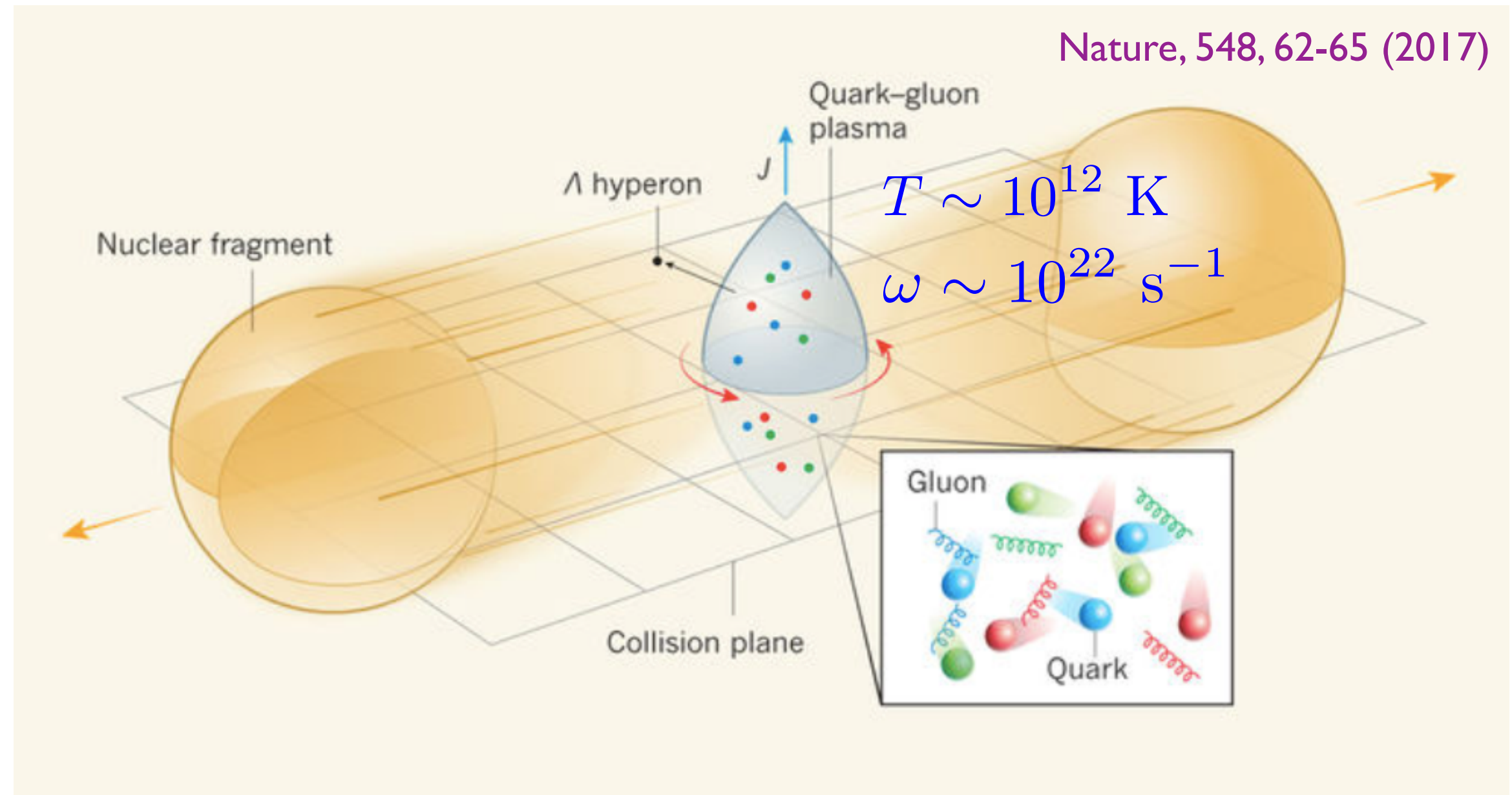
$$j_{\text{CVE}}^{\pm} = 2\omega \int \frac{d^3 p}{(2\pi)^3} |\mathbf{p}| (\hat{p} \cdot \boldsymbol{\Omega}_p) n_{\mathbf{p}}^{\pm} = \pm \frac{T^2}{6} \omega$$

ミリ秒パルサー



回転するブラックホールからのジェット？

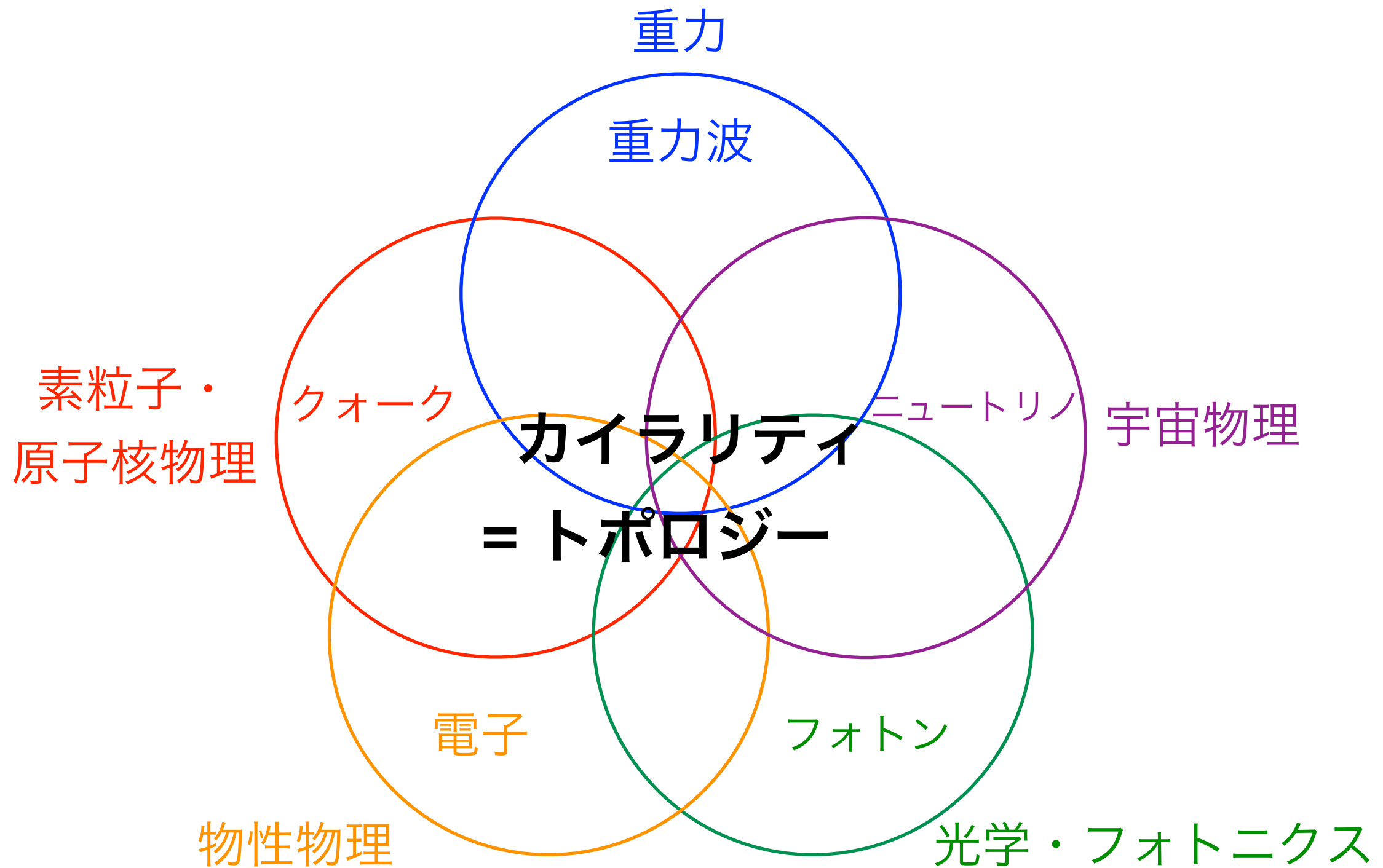
相対論的重イオン衝突実験



<https://www.nature.com/articles/548034a>

超高温かつ超高速の渦 → クオーケ・フォトンのchirality流

まとめ



今後の展望

- 超新星爆発を再現できるか？
- 物質・反物質の非対称性を説明できるか？
e.g., Fujita, Kamada (2016)
- 重力波の量子効果を観測できるか？
- Chiraltronics の応用？